

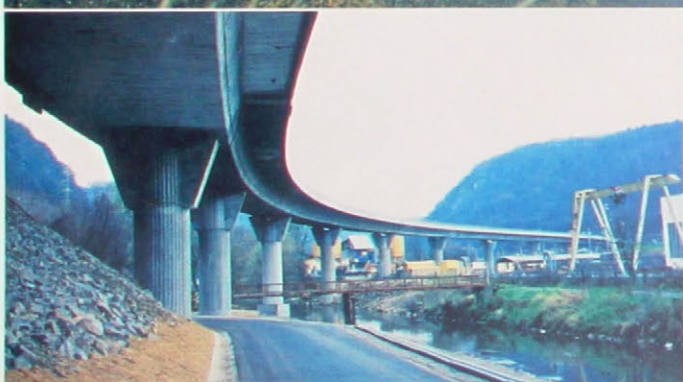
Inžinierske stavby

iS

1-2

ROČNÍK 46
1998

NATIONAL REPORT OF THE SLOVAK REPUBLIC



Dopravný uzol Zvolen
Most Pustý hrad Zvolen
Foto: Dopravoprojekt

1. cenu FIP 1998 – Slovenského národného komitétu

získali v rámci súťaže „Najlepšia konštrukcia z predpätého betónu 1994–1998“
v kategórii MOSTY



doprastav, a. s.[®]

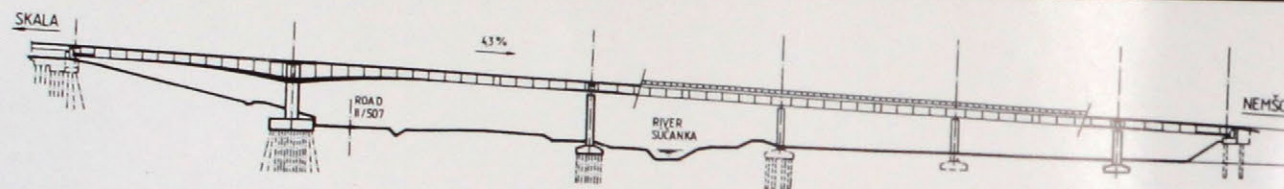
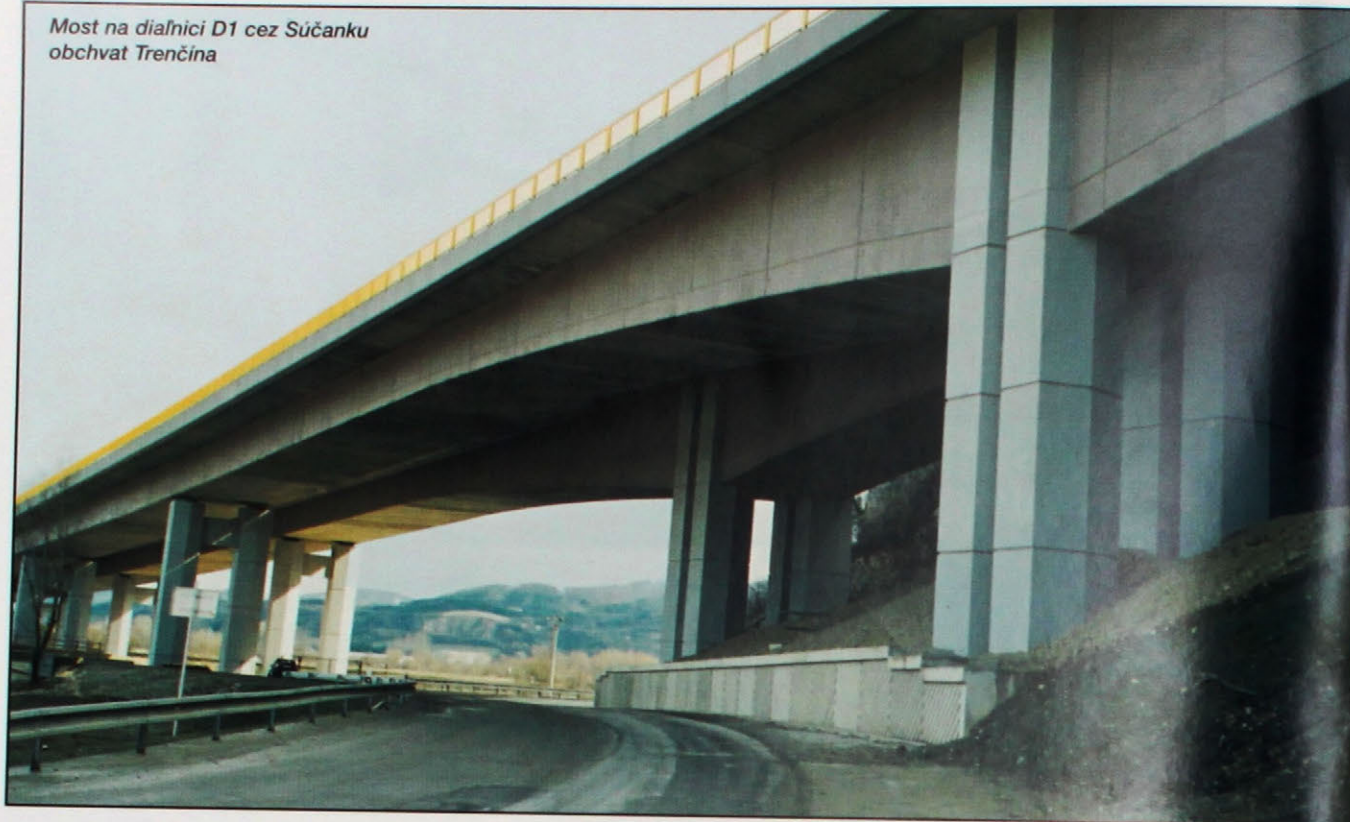
odštepný závod Zvolen



DOPRAVOPROJEKT, a.s.

Bratislava

Most na diaľnici D1 cez Súčanku
obchvat Trenčína



Most D 201 nad ŽSR – Dubná Skala



2. cenu FIP 1998 – Slovenského národného komitétu
získali v rámci súťaže „*Najlepšia konštrukcia z predpätého betónu 1994–1998*“
v kategórii MOSTY

3. cenu FIP 1998 – Slovenského národného komitétu
získali v rámci súťaže „*Najlepšia konštrukcia z predpätého betónu 1994–1998*“
v kategórii MOSTY

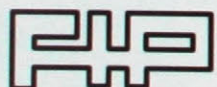
Post-tensioned slabs of multi-storey car park Hospital Petržalka – Bratislava

Renos
BRATISLAVA a.s.

Nitová 3, P. O. BOX 38, 820 07 Bratislava
Tel.: 07/526 94 77
Fax: 07/526 80 22



OUTSTANDING STRUCTURE AWARD OF SNK FIP



FÉDÉRATION INTERNATIONALE DE LA PRÉCONTRAINTE
SLOVENSKÝ NÁRODNÝ KOMITÉT

1. cenu FIP 1998 – Slovenského národného komitétu

získali v rámci súťaže „Najlepšia konštrukcia z predpäteho betónu 1994–1998“
v kategórii KONŠTRUKCIE

RENOS, a. s. Bratislava

PROJSTAR PK, s. r. o. Bratislava

SZSI

**Časopis
Slovenského zväzu stavebných
inžinierov a pracovníkov stavebnictva**

Vydáva:
Vydavateľstvo Inžinierske stavby, s. r. o.
Stromová 13, 830 07 Bratislava
P. O. BOX 49

Redakcia: Mlynské nivy 70
821 05 Bratislava
Tel./Fax: (00421-7-) 5270 154
Adresa vydavateľstva v ČR:
Türkova 1a, 149 00 Praha 4

Šéfredaktor:
Doc. Ing. Milan Chandoga, CSc.
Zastupca šéfredaktora:
Doc. Ing. Jozef Zvara

Redaktorka:
Ing. Edita Kmetonyová
Redakčná rada:

Doc. Ing. Milan Chandoga, CSc.
Doc. Ing. Jozef Zvara
Prof. Ing. Milan Bielek, DrSc.
Prof. Ing. Viera Medešká, DrSc.
Prof. Ing. Jozef Hullá, DrSc.
Prof. Ing. Ivan Baláz, CSc.
Doc. Ing. Štefan Gramblíčka, CSc.
Doc. Ing. Andrej Sokolík, CSc.

Programová rada:

Ing. Viktor Karel – predseda
Ing. Milan Dušička
Prof. Ing. Ludovít Fillo, CSc.
Ing. Marián Krčík
Ing. Rudolf Mládenec
Ing. Ľudovít Molnár
Doc. Ing. Ľudovít Nad, CSc.
Ing. Miloš Nevičký, CSc.
Ing. Milan Nič, CSc.
Ing. Peter Ondroušek
Ing. Miroslav Paštmák
Ing. Vladimír Priechodský, CSc.
Ing. Ján Schmuck
Ing. Štefan Vranovský
Ing. Ondrej Žalondek

Predplatné na r. 1998: 500,- Sk + 6 % DPH
500,- Kč

Cena jednotlivého čísla: 53,- Sk/50,- Kč
Bankové spojenie:

Investičná a rozvojová banka, a. s.,
Bratislava, číslo účtu: 978121/5200

Inzercia: na adrese vydavateľstva

Grafická úprava: POPELKA, Bratislava
Tel.: 526 94 22

Tlač: ETERNAPRESS, s. r. o.
Nezábudková 24, 821 01 Bratislava

Predplatné a distribúcia:

- v SR: L. K. Permanent, s. r. o.
P. O. Box 4, 834 14 Bratislava
tel.: (00421-7-) 525 3711; Fax: 27 33 11
- v ČR: A. L. L. Production, s. r. o.
P. O. Box 732, 111 21 Praha 1
Tel.: 00420-2-2400 92 06-09
Fax: 00420-2-2423 10 03
Adresa redakcie v ČR:
Türkova 1a, 149 00 Praha 4

© Vydavateľstvo Inžinierske stavby,
Bratislava, 1998

Podávanie novinových zásielok povolené
Riaditeľstvom poštovej prepravy pod číslom
329 RPP 1994 zo dňa 22. 6. 1994

Podávanie novinových zásielok bolo povolené
Českou poštou, s. p. OZSeC Ústí nad
Labem dne 19. 1. 1998, j. zn. P-297/98

ISSN 1335-0846

Inžinierske stavby 1-2 ROČNÍK 46 1998

OBSAH

VEDA, VÝVOJ, VÝSKUM

4 Sanácia predpäťia na viadukte Podtureň – meranie napäťostí predpínacích kábel a teploty nosnej konštrukcie
M. Chandoga, A. Jaroševič

8 Vysokohodnotný betón pre prax
L. Nad, M. Uhrin, V. Šimko

11 Súdržnosť výstuže zo sklenených vláken (GFRP) v betóne
L. Nad, M. Muruts

MATERIÁLY, TECHNOLÓGIE

13 Posuvná skruž U-40 na moste D 211 diaľnice D1 Hybe-Važec
M. Štadler, H. Užovič, J. Ďurda, V. Hanzel

KONŠTRUKCIE POZEMNÝCH STAVIEB

16 Príklady použitia technológie MONOSTRAND v pozemných konštrukciach
M. Chandoga, J. Halvoník

MOSTY, TUNELY

23 Nové prefabrikáty na diaľničných mostoch
T. Ševčík

25 Prefabrikované diaľničné mosty DZ-97 – skúsenosti z realizácie
J. Schmuck

28 Most cez Váh a elektrárenský kanál pri Beckove
M. Šagáth, V. Jančiga

30 Estakáda cez inundačné územie Váhu pri Beckove
J. Greguš

35 Most Pustý hrad vo Zvolene
M. Maťaščík, J. Šoltýs, A. Petříková

38 Most cez Súčanku pri obci Skalka
M. Maťaščík, K. Táborská, L. Hrnčiar

41 Segmentové mosty na Slovensku
L. Bača

45 Rekonštrukcia cesty I/18 Košariská–Dubná skala – mostné objekty
E. Búciová, R. Turanský, D. Purtzová, K. Lesák

48 Most D 211-00 na diaľnici D1 Hybe-Važec cez Beliansky potok
F. Vyletelka, E. Pristačová, M. Maťaščík

50 Obj. 207-00 zakladanie mosta na mikropilótačach a kotvenie stavebných jám
J. Sikora, M. Panek, R. Turanský, T. Komžík

53 Konštrukcie cestných tunelov na diaľničnej sieti na Slovensku
Š. Choma, K. V. Ratkovský

57 Tunel Branisko – prvý diaľničný tunel realizovaný na stavbe diaľnice D1 na Slovensku
P. Hromo

59 Most 207-00 nad diaľnicou D2/D61 Bratislava–štátnej hranice SR/MR a SR/Rakúsko
V. Pukančík, V. Budinský

62 Most D 202-00 na diaľnici D1 Hybe-Važec
K. Bohunický, M. Gašparíková

64 Oblúkový most cez Váh v Považskej Bystrici
V. Piontek

66 Most D 207-00 Jánošíkova studnička
M. Štadler

REKONŠTRUKCIE

67 Diagnostikovanie a oprava nedostatočne zainjektovaných kálových kanálikov predpäťich betónových mostov
J. Kucharík, M. Červeňan

73 Obnova a zosilnenie predpäťia viaduktu Podtureň
L. Búci

Civil Engineering. A monthly Review of Engineered Construction. Published by Inžinierske stavby Publishers. Editor: Milan Chandoga. Editorial office: Bratislava, Stromová 13, Slovakia, Phone/Fax: 00421-7-5270 154

Vol. 46

NO 1-2

1998

46. JAHRGANG

HEFT 1-2

1998

iS

Das Ingenieurbauwesen. Monatliche Fachzeitschrift für Verfahrenstechnik und Bauausführung im Ingenieurbau. Herausgeber Inžinierske stavby Verlag. Chefredakteur: Milan Chandoga. Anschrift von Redaktion: Bratislava, Stromová 13, Slowakei. Tel./Fax: 00421-7-5270 154

CONTENTS

SCIENCE, DEVELOPMENT, RESEARCH

- 4 Redevelopment of prestressing of viaduct Podtureň – measurements of stresses in prestressed tendons and temperature of bearing structure
M. Chandoga, A. Jaroševič
- 8 High quality concrete for practical use
L. Nad, M. Uhrin, V. Šimko
- 11 Bond of glass fiber reinforced plastic (GFRP) bars in concrete
L. Nad, M. Murutis
- MATERIALS, TECHNOLOGIES
- 13 Sliding centering U-40 on the D1 motorway bridge Hybe–Važec
M. Štadler, H. Užovič, J. Ďurda, V. Hanzel
- CONSTRUCTIONS OF CIVIL ENGINEERING
- 16 Examples of MONOSTRAN technology application in buildings
M. Chandoga, J. Halvonič
- BRIDGES, TUNNELS
- 23 New precast units on motorway bridges
T. Sevčík
- 25 Prefabricated highway bridges DZ-97 – implementation experiences
J. Schmuck
- 28 Bridge over the Váh river and the channel near Beckov
M. Šagáth, V. Jančiga
- 30 Bridge over the inundation area of Váh river near town Beckov
J. Greguš
- 35 Bridge Pustý hrad in Zvolen
M. Maťaščík, J. Šoltýs, A. Petriková
- 38 Bridge over Súčanka river at Skalka
M. Maťaščík, K. Táborská, L. Hrnčiar
- 41 Segment bridges in Slovakia
L. Bača
- 45 Reconstruction of the road I/18 Košariská–Dubná skala – bridge constructions
E. Búciová, R. Turanský, D. Purtzová, K. Lesák
- 48 Bridge D 211–00 on the motorway D1 Hybe–Važec across Beliansky potok
F. Vyletelka, E. Pristačová, M. Maťaščík
- 50 207–00 Bridge foundation on micropiles and anchorage of slopes of excavation pits
J. Sikora, M. Panek, R. Turanský, T. Komžík
- 53 Construction of road tunnels on the motorway network in Slovakia
Š. Choma, K. V. Ratkovský
- 57 Tunnel Branisko – the first motorway tunnel realized by the construction of the motorway D1 in Slovakia
P. Hrmo
- 59 Bridge 207–00 over D2/D61 motorway Bratislava–Slovak/Hungarian and Slovak/Austrian border
V. Pukančík, V. Budinský
- 62 Bridge D 202–00 on the motorway D1 Hybe–Važec
K. Bohunický, M. Gašparíková
- 64 Arch bridge over the Váh river in Považská Bystrica
V. Piontek
- 66 Bridge D 207–00 Jánošíkova studnička
M. Štadler
- RECONSTRUCTIONS
- 67 Diagnostics and rehabilitation of incompletely grouted cable ducts in prestressed concrete bridges
J. Kucharík, M. Červeňan
- 73 Rehabilitation and strengthening on the Podtureň viaduct prestress
L. Búci

Subscription: Inžinierske stavby, spol. s r. o. Publishers, Stromová 13, 830 07 Bratislava, P. O. BOX 49, Slovakia and SLOVART – G.T.G. Ltd., Krupinská 4, P. O. BOX 152, 852 99 Bratislava, Slovakia. Sample copies free.

Bestellungen nimmt Verlag Inžinierske stavby, spol. s r. o., Stromová 13, 830 07 Bratislava, P. O. BOX 49, Slowakei und SLOVART – G.T.G. Ltd., Krupinská 4, P. O. BOX 152, 852 99 Bratislava, Slowakei. Für Interessenten stehen Probehefte kostenlos zur Verfügung.

iS

XIII. Svetový kongres FIP 1998 v Amsterdame Príhovor prezidenta Slovenského komitétu FIP

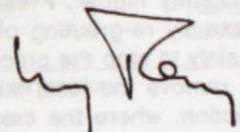
XIIIth FIP 1998 World Congress Address of the President of the Slovak FIP Committee

Je nás viac takých, ktorí sa zdá, že štvorročné obdobia medzi jednotlivými kongresmi FIP sa skracujú. Rýchlosť temto sveta počítačov a sietí dynamizuje náš život. Objavujú sa nám nové javy a nové pojmy a jeden nový jav – globalizácia – nás, ktorí sa zaobrábame betónom, priamo ovplyvňuje. V rámci tendencie odstraňovania hraníc a spájania sa, aj v našom profesnom priestore, sa odohrala významná udalosť – spojenie CEB a FIP do jedného spoločného zoskupenia FIB. Celkom logicky sa nebudem zaobrábať zvlášť predpäťom betónom alebo železobetónom – nás základný materiál bude využívaný betón.

Nádejam sa, že nová organizácia nám pomôže zachovať zdravé a rozumné proporcie medzi výpočtovou technikou a ľudskou invenčiou s novými myšlienkami a zmyslom pre krásu.

Uvedomme si, že betón možno nazvať umelým kameňom a z kameňa sa po stáročia vytvárali sochy a stavby s vysokou úžitkovosťou a umeleckou hodnotou.

S prianím, aby sa ešte viac snúbila krásu, úžitková hodnota a úspornosť, hľadajme na Kongrese FIP '98 nové podnety a nové vzory. Aj my na Slovensku máme čo ukázať – za ostatné štyri roky sa navrhli a postavili pekné aj užitočné stavby z vystuženého betónu. V predkladanej národnej správe podávame svedectvo o dosiahnutých výsledkoch a domnievam sa, že odborná verejnosť ocení výsledky nášho úsilia.



Ing. Gabriel Tevec
prezident Slovenského komitétu FIP

Quite of few of us here have the impression that the four-year intervals between individual FIP congresses are getting shorter and shorter. Rapid pace of the world of computers and networks increases the dynamics of our lives. New phenomena and new concepts keep emerging and one such new phenomenon – globalisation – has a direct bearing for us, people dealing with concrete. The trend towards removing the borders and towards integration has also brought one important event in our professional space – integration of CEB and FIP into one grouping, the FIB. Quite logically, we are not going to deal separately with prestressed concrete and with reinforced concrete – our basic material will be reinforced prestressed concrete.

I hope that the new organisation will help us preserve sound and reasonable proportions between information technology on the one hand and human invention with new ideas and sense of beauty on the other hand.

We should keep in mind that concrete could also be called artificial stone and that it was stone that had been used for centuries to make sculptures and structures with a high utility and artistic value.

Let us strive to achieve an even closer connection between beauty, effective value and economy and let us look for new impulses and new models at this FIP Congress. Also we in Slovakia have the things we could show – attractive and useful structures from reinforced concrete were built here during the last four years. The national report we are submitting given an account of the results we have reached and i hope that the professional community will appreciate the outcome of our efforts.

Ing. Gabriel Tevec
President Slovak Committee of FIP

Slovenský komitét FIP usporiadal začiatkom marca 1998 súťaž „Najlepšia konštrukcia z predpäťného betónu 1994–1998“. Súťaž sa uskutočnila v dvoch kategóriach: MOSTY a KONŠTRUKCIE. Prihlásené objekty sa hodnotili podľa nasledujúcich parametrov:

- projekt – navrhnuté riešenie,
- úspešnosť technologického postupu,
- výsledná kvalita hotového diela.

Výsledky súťaže:

- kategória MOSTY:

1. cena FIP 1998 – Most Pustý hrad Zvolen
(foto na 1. strane obálky)
2. cena FIP 1998 – Most na diaľnici D1 cez Súčanku
(2. strana)
3. cena FIP 1998 – Most D 201 Dubná skala
(3. strana)

- kategória KONŠTRUKCIE:

1. cena FIP 1998 – viacúrovňové parkovisko Nemocnice s poliklinikou v Bratislave-Petržalke
(4. strana)

Slovak committee FIP has organised a competition „Best Prestressed Concrete Structure 1994–1998“. The competition had two categories: BRIDGES and STRUCTURES. Following parameters have been applied in evaluating the competing objects:

- project – proposed solutions for design,
- success of construction technology,
- final quality of constructed object.

The results of competition:

- Category BRIDGES:

1. prize FIP 1998 – Bridge „Pustý hrad Zvolen“
(picture on cover page)
2. prize FIP 1998 – Bridge on Highway D1 across the Súčanka River (page 2)
3. prize FIP 1998 – Bridge D 201 „Dubná skala“
(page 3)

- Category STRUCTURES:

1. prize FIP 1998 – Multilevel Parking in Hospital and Outpatient Clinic in Bratislava-Petržalka
(page 4)

Sanácia predpäťia na viadukte Podtureň – meranie napäťostí predpínacích káblov a teploty nosnej konštrukcie

Redevelopment of prestressing of viaduct Podtureň – measurements of stresses in prestressed tendons and temperature of bearing structure

Milan CHANDOGA – Andrej JAROŠEVIČ

Rekonštrukcia estakády Podtureň je spojená aj s čiastočnou sanáciou predpäťia pomocou kálov umiestnených v komore trámu. Na sanácii sa významne podieľa aj firma PROJSTAR PK, s. r. o. Okrem dodávky kotevných systémov vykonala firma PROJSTAR na moste aj rozsiahle merania napäťostí vonkajších kálov a teploty nosnej konštrukcie mosta. V príspevku sú uvedené niektoré výsledky meraní, ktoré boli realizované pri sanácii mosta A.

Odborný odhad potrebného rozsahu rekonštrukcie predpäťia vychádzal z podrobného monitoringu. Endoskopická metóda, použitá na určenie korozívneho stavu predpínacích prvkov, umožňuje nahliadnuť na predpínače len v pozorovaných miestach. Preto stav predpäťia označený ako dobrý nemusí už platil niekoľko centimetrov od pozorovaného miesta. Ďalším nedostatom metódy je, že je založená len na vizuálnom odhade stupňa korózie. Skutočný úbytok prierezovej plochy predpínačnej výstuže môže byť podstatne väčší. Zakonzervovanie starého predpäťia sa uskutočnilo pomocou reinjektáže kálových kanálikov. Reinjektáž slúži hlavne na zastavenie ďalšej korózie a nedokáže odstrániť lokálne zvýšenie napäťosti kábla v mieste, kde nastal úbytok prierezovej plochy kvôli korózii. Akokoľvek precízne vykonaná reinjektáž nemusí byť zárukou, že niektoré miesta zostanú aj nadalej nezainjektované.

Cieľ merania

Správanie sa nosnej konštrukcie po reinjektáži starého predpäťia a napnutí vonkajších kálov musí byť predmetom dlhodobého zájmu prevádzkovateľa. Prístupnosť vonkajších kálov a jasné podmienky ich statického pôsobenia poskytujú príležitosť posudzovať vlastnosti nosnej konštrukcie podľa zmien napäťosti voľných kálov. Ak počas prevádzky nosnej konštrukcie nastane ďalšia degradácia starého predpínacieho systému, prejaví sa to v zmene napäťosti vonkajších kálov.

Vysoká prácnosť a značné náklady na zhotovenie vonkajších kálov pri rekonštrukciách nútia projektantov navrhovať dlhé káble, ktoré prechádzajú cez viaceré

Doc. Ing. Milan Chandoga, CSc. – Stavebná fakulta STU Bratislava; Doc. RNDr. Andrej Jaroševič, CSc. – Matematicko-fyzikálna fakulta UK Bratislava.

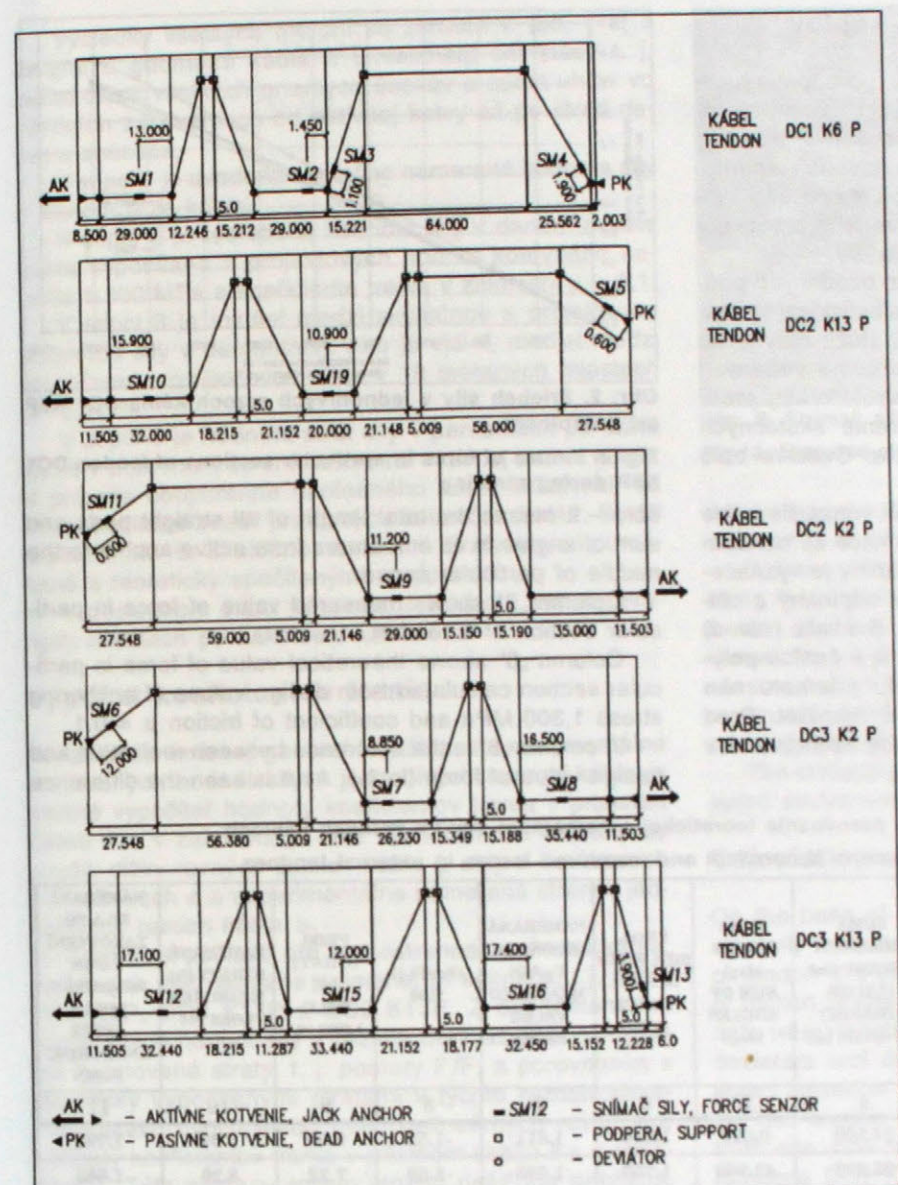
Reconstruction of viaduct Podtureň is connected with partial redevelopment of prestressing with using the tendons inside the box girders. Company PROJSTAR PK, s. r. o. is involved in this project. Besides supplies of anchoring systems company PROJSTAR PK, s. r. o. carried out large measurements of stresses in external tendons and temperature of bearing bridge structure. The contribution presents some of measurement results, which were obtained during redevelopment of bridge A.

Professional assessment of necessary amount of prestressing was based on detailed monitoring. Endoscopic method, that was used to determine the level of corrosion of prestressing, allows to observe prestressed strands only in particular sections selected for observation. Therefore the result „good“ might not be correct few centimeters away of this section. The method is based only on visual assessment of degree of corrosion, which is another imperfection of this method. The real decrease in cross-sectional area of prestressing steel can be significantly higher. Preservation of old prestressing was done by re-grouting of ducts. Re-grouting is supposed mainly to stop the process of corrosion. It is not capable to remove the local increase in stress of tendon in the section, where the cross-sectional area of prestressing steel is reduced due to corrosion. However the re-grouting, though very thoroughly done, can not guarantee that some sections would not be left ungrouted.

The aim of measurements

Behaviour of structure after re-grouting of old prestressing and installing of external tendons should be the subject of long-term interest of owner. The accessibility of external tendons and clear condition of their static function allow to verify the properties of bearing structure according to changes in stresses in external tendons. When further degradation of old prestressing system appears during the service of structure, it will result in change of stresses in external tendons.

High labour consumption and costs of installation of external tendons in reconstruction force engineers to design long tendons that go through more deviators and diaphragms in support cross-sections. It is not always possible to keep recommended radius of curvature and detailing. Problems arise also during tensioning of ten-



Obr. 1. Geometria charakteristických kálov

Fig. 1. Geometry of typical tendons

deviátory a nadpodporové priečinky. Nie vždy je možné dodržať odporúčané polomerky krivosti a konštrukčné riešenia. Nemálo problémov vznikajúcich pri predpínaní kálov. Premiestňovanie fažkých predpínacích zariadení v komorách je zvyčajne obmedzené, ak nie nemožné, a preto sa musí predpínať len z jednej strany, resp. jednolano-vým lisom po jednotlivých lanach. V obidvoch prípadoch je pre projektanta veľmi dôležité, aby si už v štádiu predpínania mohol overiť skutočnú predpínanú silu po dĺžke kábla a porovnať ju s hodnotou, ktorú uvažoval vo výpočte.

Štandardný kontaktný systém merania sily pomocou prstencového tenzometrického dynamometra umožňuje meriť napäťosť kábla iba v jeho kotvení. Zmenu napäťosti voľných kálov v tomto prípade treba meriť podrobnejšie. Už viac ako 10 rokov sa na meranie napäťosti úspešne používa magnetoelastická metóda. Na Slovensku a v Čechách je to už 14 mostných objektov. Všetky významnejšie rekonštrukcie mostov a zosilňovanie pomocou vonkajších kálov sú neodmysliteľne spojené s magnetoelastickým monitorovacím systémom.

dons. Moving of heavy stressing equipments in girder boxes is usually limited if not impossible, therefore stressing can be applied only from one side, or with mono-strand stressing-jack tensioning one strand after another, respectively. In both cases it is very important for an engineer to have a possibility already during time of stressing to verify the real force along the tendon and compare this value with the one, used in calculation.

Standard contact system of force measurement with ring tensometric dynamometer allows to measure stresses in tendon only in anchor. In this case the change in stresses in external tendons must be measured in details. More than 10 years a magneto-elastic method for stress measurement has been successfully used. In Czech and Slovak Republic already 14 bridge structures until now. All important reconstruction of bridges and strengthening with external tendons are necessarily connected with magneto-elastic monitoring system.

Stress measurement of external tendons

External tendons used in reconstruction of bridge „A“ of viaduct Podtureň are created from 10 unbonded strands Monostrand, sheathed in PE duct 110/6.6 mm and grouted after stressing with cement grout. Tendons are anchored with anchorage system PROJSTAR AR CH-10/2S-VK adjusted for possible replacement.

On the request of designer 19 magneto-elastic detection elements (sensors) of force H110 HC were installed on external tendons. These sensors have to serve mainly for long-term monitoring of force changes in external tendons. However they were also used for quality control of prestressing and for verification of real values of prestressing force in particular sections of tendon. Together 8 external tendons were measured.

Fig. 1 shows a scheme of external tendons and positions of sensors along the tendon. Sensors are marked with numbers SM1 to SM20. The procedure of stressing of tendons is shown with bold arrow. The tendon DC3K13P was stressed from both sides, the rest of tendons was tensioned from one side. Sensors (Fig. 3) have rigid structure and are made with part of PE duct of 0.5 m long, which has same diameter as the tendon and is installed on this tendon with two PE collar. Before installation on site all sensors were calibrated in testing stand for full prestressing force.

The results of all measurements are presented on Fig. 1 for one tendon and in Tab. 1 together with information about the tendon geometry and position of sen-

Vysokohodnotný betón pre prax

High quality concrete for practical use

Ludovít NAĎ – Marián UHRÍN – Vladimír ŠIMKO

V intenciach zvýšeného zájmu základného a aplikovaného výskumu, ako aj stavebnej praxe o vysokohodnotný betón – betón vysokých pevností – vo vyspelých európskych štátach a vo svete v poslednom desaťročí, sa u nás touto problematikou zaobrába aj výskumno-objedná spoločnosť BETON VUIS, s. r. o. Bratislava v spolupráci s Inžinierskymi stavbami, a. s. Košice. Betón vysokých pevností, ako kvalitatívne lepší konštrukčný materiál v porovnaní s obyčajným betónom, láka inžinierov využiť ho v praxi, nakoľko ponúka nové možnosti. Využitie vysokopevnostných betónov je však podmieneňné dôkladným oboznámením sa s vlastnosťami a parametrami tohto kvalitatívne nového materiálu a zároveň prijatím potrebných technických noriem a predpisov.

Na pracovisku BETON VUIS je riešenie zamerané na konkrétné podmienky materiálovej základnej východoslovenského regiónu. Výroba betónu vysokých pevností sa overovala v r. 1997 v centrálnej betonárni Inžinierskych stavieb, a. s. v Košiciach.

Pri sledovaní významných charakteristik betónov vysokých pevností vo výskume navrhovania mostných konštrukcií sa zohľadňujú podmienky využitia základných zložiek betónu zo západného Slovenska.

Materiálová báza

Vlastnosti vysokohodnotného betónu sú predurčované už jeho zložkami. Ich výberom, optimálnym návrhom zloženia betónu a vhodnou technológiou spracovania sa získajú požadované vlastnosti čerstvého a zatvrdnutého betónu vysokých pevností.

V príspevku je opísaný vývoj betónu vysokých pevností do 100 MPa pri používaní bežných u nás dostupných základných zložiek betónu. Rámcove sa vychádza z predpokladu, že na výrobu betónu vysokých pevností je potrebné kamenivo s vyhovujúcim granulometrickým zložením, portlandský cement CEM I 52,5, superplastifikátor a kremičitý úlet.

Konkrétné návrhy zloženia betónu uvažovali tieto zložky betónu:

- cement CEM I 52,5, CEM I 52,5 R,
- kamenivo frakcia 0–4 lokality Milhosf a Petřalka, frakcie 4–8 a 8–16 lokality Trebejov a Petřalka,
- voda nezávadná z vodovodnej siete,
- prísada superplastifikátor LIQUIMENT N,
- prímes kremičitý úlet SIOXID z OFZ Istebné.

Riešenie predpokladá uplatnenie tohto betónu pre mostné staviteľstvo v monolitickom alebo prefabrikovanom variante, pri spriahnutých konštrukciách, resp. pri výstavbe výškových budov atď.

Doc. Ing. Ludovít Nad, CSc. – Inžinierske stavby, a. s. Košice; Ing. Marián Uhrín, CSc. – BETON VUIS, s. r. o. Bratislava; Ing. Vladimír Šimko – Inžinierske stavby, a. s. Košice.

In the last decade basic and applied research, as well as building industry practice in developed European countries and other parts of the world indicate a high interest in high quality (i. e. high strength) concrete. Due to this fact, the problem is also dealt with in the research-commercial company BETON VUIS s. r. o. in Bratislava in cooperation with Inžinierske stavby a. s. Košice. Civil engineers are interested in practical use of high strength concrete, as qualitatively enhanced structural material, since it offers new, hitherto unutilized opportunities. However, high strength concrete can be made use of on condition that detailed examination of properties and parameters of this qualitatively new material will be made and necessary technical standards and regulations will be accepted.

The workplace of BETON VUIS aimed its research at concrete made of materials from eastern Slovakia region. Last year high strength concrete production was verified in central concrete mixer plant of Inžinierske stavby in Košice.

High strength concrete which is intended to be built in bridge structures was made of basic components from west Slovakia region. Significant properties of this type of concrete were examined, as well.

Material basis

Properties of high quality concrete are above all predetermined by its components. A proper material selection, an optimum design of concrete mixture composition and an appropriate process technology result in required properties of fresh and hardened high strength concrete.

The contribution presents development of concrete with high strength up to 100 MPa made of basic components commonly available in our country. Basically, it is assumed that high strength concrete is to be produced from aggregates with a suitable grain-size distribution, portland cement CEM I 52,5, superplasticiser and silica fume.

Particular designs of concrete composition took into account the following concrete components:

- cement CEM I 52,5, CEM I 52,5 R,
- aggregates 0–4 grain size from locations of Milhosf and Petřalka, 4–8 and 8–16 grain sizes from locations of Trebejov and Petřalka,
- water unexceptionable from public pipe-line,
- admixture superplasticiser LIQUIMENT N,
- additive silica fume SIOXID from OFZ Istebné.

The presented concrete is supposed to be applied in bridge structures as a monolithic or precast alternative, in steel-concrete composite structures and in tower building structures.

Experimentálne laboratórne práce

Laboratórne riešenie sa skladalo z nasledujúcich práce:

- skúšky kameniva na laboratórne a poloprevádzkové overovanie,
- overenie vhodnosti cementov na výrobu betónu,
- návrh zloženia betónu s rýchlym nárastom pevnosti pri aplikácii plastifikačnej prísady, prispôsobenej pôvodu cementu a použitia prímesi,
- sledovanie nárastu pevnosti betónu v tlaku a zistenie 80% pevnosti pre predpínanie,
- sledovanie priebehu zmrašťovania a dotvarovania betónu,
- preukazné skúšky betónu, podklad pre certifikáciu.

Experimentovalo sa tak, že sa menil podiel jednotlivých frakcií kameniva, obsah cementu a množstvo zámesovej vody, ako aj obsah prísady a prímesi. Sledovali sa vlastnosti čerstvého betónu: konzistencia, objemová hmotnosť, teplota, čas spracovateľnosti a samotná zmes. Po zatvrdnutí betónu sa určovala pevnosť betónu v tlaku, postupne po 24 hodinách, 2, 3, 7 a 28 dňoch. Na základe výsledkov skúšok čerstvého a zatvrdnutého betónu sa korigoval obsah jednotlivých zložiek v betóne a vypracovala sa receptúra pre poloprevádzkové overovanie na centrálnej betonárni.

Skutočné zloženie vysokohodnotného betónu na 1 m³ h. b. je v tab. 1.

Tabuľka 1

Cement CEM I 52,5 (kg)	Zámesová voda Mixing water (l)	Prísada Admitresa LIQUIMENT N (l)	Prímes Additive SIOXID (kg)
435±465	126±160	8±10	25±30

Semi-industrial examination

Before a semi-industrial testing of high quality concrete production was carried out, several batches of 100 l volume were made to examine applicability of laboratory test results. Test specimens and beams were made for applied research of bridge structure design within the framework of 80-class concrete supply for a scientific project for VUIS-Mosty s. r. o. Bratislava.

Semi-industrial examination itself was carried out in concrete mixing plant of Inžinierske stavby a. s. in Košice, under common conditions along with lower class concrete production. Tests were carried out on concrete batches of 1 m³ volume. Fresh concrete was poured out of a mixing machine into a concrete transport car from which a necessary amount of concrete was sampled to test fresh and hardened concrete.

Substantial results of semi-industrial tests are presented in the following Tab. 2.

Evaluation of test results concerning high quality concrete strength characteristics, namely direct strength achieved in laboratory tests and registered strength achieved in semi-industrial tests, has not been regularized yet. Our standard regulations do not yet present a higher concrete class than B 60. Referring to „Beton Kalender 95“ [2], tables presenting informative charac-

Tabuľka 2

Konzistencia sadnutie kužeľa Consistency slump (mm)	Objemová hmotnosť Density (kg/m ³)	Pevnosť v tlaku Compressive strength (MPa)			Pevnosť v fahu pri ohybe Bending tensile strength (MPa)	Dynamický modul pružnosti Dynamic modulus of elasticity (GPa)
		1 deň	7 dní	28 dní		
80÷150	2 475÷2 580	32,5÷51,1	55,8÷78,2	85,7÷96,8	8,8÷10,4	52,2÷57,2

ných charakteristik betónov vyšších tried (C 50/60 až C 95/115), a tie sa použili pri riešení problematiky betónov vysokých pevností.

Záver

V príspevku je zhrnuté riešenie problematiky vysokohodnotného betónu pre konkrétné podmienky a dostupnú materiálovú základňu. Prínosom sú výsledky dosiahnuté pri poloprevádzkovom overovaní výroby betónov vysokých pevností na centrálnej betonárni Inžinierskych stavieb, a. s. Košice.

Záverom možno konštatovať, že pri predpoklade oveřenej metodiky riešenia, počnúc experimentálnymi laboratórnymi skúškami po dôsledné technologické disciplíne na centrálnej betonárni, je možné aj v našich podmienkach uvažovať s aplikáciou betónov vysokých pevností [3].

LITERATÚRA

- [1] Horák, I.: Betóny s vysokou začiatočnou a konečnou pevnosťou pre monolitické a predpráte konštrukcie. [Záverečná správa čiastkovej úlohy 01, etapa 02 projektu P 92-15-114]. BETON VUIS, s. r. o. Bratislava, 1995.
- [2] Beton Kalender 1995. Ernet & Sohn Verlag, Berlin 1995.
- [3] Uhrín, M.-Horák, I.-Slovák, K.: Technická pomoc a experimentálne laboratórne práce pri riešení vývojových úloh technického rozvoja Inžinierskych stavieb a. s. Košice. [Záverečná správa]. BETON VUIS, s. r. o. Bratislava, 1997.

Table 2

Konzistencia sadnutie kužeľa Consistency slump (mm)	Objemová hmotnosť Density (kg/m ³)	Pevnosť v tlaku Compressive strength (MPa)			Pevnosť v fahu pri ohybe Bending tensile strength (MPa)	Dynamický modul pružnosti Dynamic modulus of elasticity (GPa)
		1 deň	7 dní	28 dní		
80÷150	2 475÷2 580	32,5÷51,1	55,8÷78,2	85,7÷96,8	8,8÷10,4	52,2÷57,2

teristics of high class concrete (C 50/60 to C 95/115) were worked out and these were used in solving the problem of high strength concrete.

Conclusion

The contribution presents a summary of solving the problems concerning high quality concrete for particular local conditions and available material basis. Results attained during semi-industrial examination of high strength concrete production in concrete mixing plant of Inžinierskych stavieb a. s. Košice are particularly valuable.

It is possible to conclude that on condition of a verified solution method introduction, starting from experimental laboratory tests and concluding with a consequential technological discipline in the central concrete mixer plant, it is possible to consider an application of high strength concrete in our conditions [3].

REFERENCES

- [1] Horák, I.: Concrete with high initial and final strength for monolithic and prestressed structures. [Conclusive report of partial project 01, stage 02, project P 92-15-114]. BETON VUIS, s. r. o. Bratislava, 1995.
- [2] Ernst & Sohn Verlag, Berlin 1995.
- [3] Uhrín, M.-Horák, I.-Slovák, K.: Technical support and experimental laboratory work in solving technical development and research tasks in Inžinierske stavby a. s. Košice. [Conclusive report] BETON VUIS s. r. o. Bratislava, 1997.

Súdržnosť výstuže zo sklenených vlákien (GFRP) v betóne

Bond of glass fiber reinforced plastic (GFRP) bars in concrete

Ludovít NAĎ – Mulu MURUTS

Výstuž z nekovových vlákien v stavebných konštrukciách a v prvkoch ako náhrada za obyčajnú betonársku alebo predpínanú oceľovú výstuž sa v praxi čoraz viac využíva. Ide o výstuž z vlákien uhlíkových, aramidových, cadičových a pod. Najviac sa však používajú výstuže zo sklenených vlákien, pretože sú cenovo najprístupnejšie. Hoci už v mnohých technicky vyspelých krajinách existujú aplikácie v náročných inžinierskych konštrukciách, v súčasnosti neexistuje norma, ktorá by bola zárukou správneho návrhu. Mnohé inštitúcie a podniky použili vlastné druhy týchto výstuží v konštrukciách. Pri návrhu vychádzali predovšetkým z vlastných experimentálnych výsledkov. Ide o jednostranné vláknové výstuže na báze epoxidovej matríce. V rámci riešenia vedeckého grantu VEGA „Nekovové výstuže v betónových konštrukciách a prvkoch“ autori v laboratórnych podmienkach vyrobili výstuže z usmernených sklenených vlákien, pre ktoré je medzinárodne zaúžívany anglický názov GFRP – Glass Fiber Reinforced Plastic (bars). Mechanické a fyzikálne vlastnosti a pevnostné charakteristiky týchto výstuží boli experimentálne zistené.

Nekovové výstuže zo sklenených vlákien (GFRP) boli vyrobené laminovaním. Na zistenie fyzikálno-mechanických vlastností sa použil teoretický výpočet na základe pomerného zastúpenia vlákien objemovo. Rozdiel medzi experimentálne získanými výsledkami a teoretickými výpočtami bol do 6 %. Kvôli zvýšeniu súdržnosti bola výstuž natretá epoxidovou živicou a posypaná pieskom. Keďže laminované výstuže zo sklenených vlákien (GFRP) sa majú použiť namiesto obvyknej betónarskej výstuže, výsledky experimentálnych skúšok sú podkladmi na návrh betónových nosníkov.

Experimentálne výsledky

Experimentálne výsledky skúšky súdržnosti a fahových skúšok výstuže z nekovových vlákien sú ďalšími podkladmi na návrh betónových nosníkov vystužených výstužou GFRP.

V betónových vzorkach (betón B 45) kruhového prierezu s priemerom 150 mm bola výstuž zabetónovaná na dĺžke 145, 195, 245 a 295 mm. Výstuž GFRP „vlastnej výroby“ má obdĺžnikový priečny rez s plochou zodpovedajúcou kruhu ø 12 mm a obvod o málo prevyšujúci obvod tohto kruhu. Tako pripravené vzorky boli použité na skúšku súdržnosti. Usporiadanie skúšky – „vyfahovacej skúšky“ je schematicky znázornené na obr. 1. Betónové vzorky boli umiestnené v skúšobnom lise tak, že sa rozopierali o oceľovú roznášaciu dosku. Vyfahovanie výstuže na aktívnom konci, resp. jej vťahovanie na voľnom konci bolo merané mechanickými indikátormi. Na aktívnom konci výstuže bol súčasne umiestnený elektrický indukčný sní-

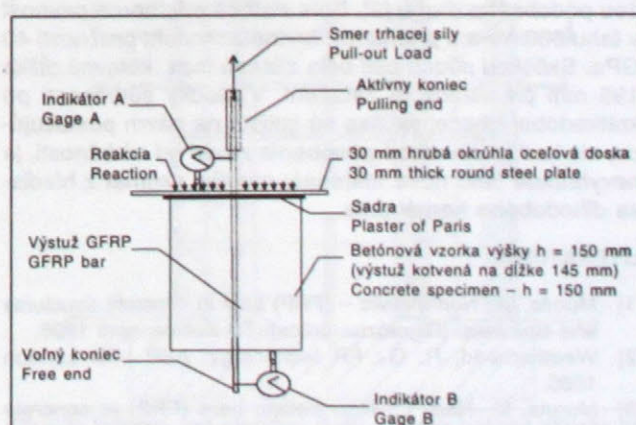
Doc. Ing. Ludovít Naď, CSc. – Inžinierske stavby, a. s. Košice;
Ing. Mulu Muruts – Stavebná fakulta TU Košice.

Non-metallic bars in building structures and elements in lieu of conventional reinforcing steel or prestressed steel is coming common today. The non-metallic bars are from fibers of Carbon, Aramid, Basalt etc. The most common non-metallic bars are from glass fiber, because their price is relatively low. Although in more developed countries there are applications in engineering structures, at this moment there is not any standard, which could be guaranteed to the right design. More institutions and enterprises applied their own Fiber Reinforced Plastic (FRP) bars, for their design they used their own experimental results. It is about unidirectional fabric bars in the base of epoxy matrix. In terms of scientific grant VEGA „Non-Metallic bars in concrete structures and elements“ the authors made bars from unidirectional glass fibers in laboratory conditions, for which it is internationally known as GFRP – Glass Fiber Reinforced Plastic (bars). Mechanical and physical characteristics and strength characteristics of these bars were experimentally tested.

Non-metallic bars from glass fibers (GFRP) bars were produced by lamination. To get the physical and mechanical characteristics of these bars a theoretical calculation was used in the bases of percentage composition of the fibers by volume. Difference between theoretical and experimental values were 6 %. In order to develop a greater bond strength the bar were coated by epoxy and pasted by sand. Since the GFRP laminated bars will be applied in lieu of conventional reinforcing steel bar, the experimental results are the bases to the design of the concrete beams.

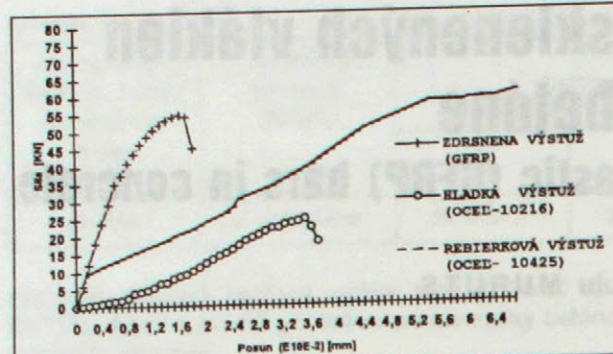
Experimental results

Experimental results of bond and pull-out tests of the Non-



Obr. 1. Schéma experimentálneho usporiadania „vyfahovacej“ skúšky

Fig. 1. Test set-up for bond test of GFRP bars embedded in concrete



Obr. 2. Pracovný diagram „vyfahovacej“ skúšky – skúšky súdržnosti výstuže GFRP (posun meraný na aktívnom – „vyfahovanom“ konci – indikátor A)

Fig. 2. Load displacement diagram of pull-out tests – bond tests of GFRP bar (displacement measured at free end – gauge A)

mač pretvorenia (so základňou 50 mm), z ktorého údaj bol stanovený aj modul pružnosti výstuže.

Kvôli porovnaniu pevnosti v súdržnosti sa experimentálne skúšali aj dva druhy oceľovej výstuže, t. j. výstuž s hladkým povrhom a výstuž s periodickým povrhom. Výstuž, zabetónovaná na dĺžke 295, 245 a 195 mm sa pri skúške roztrhla. Výstuž, zabetónovaná na dĺžke 145 mm sa z betónu vytiahla. Priebeh experimentálnych výsledkov „vyfahovacích skúšok“ od začiatku posunu až po hodnotu maximálnej sily, pri ktorej sa výstuž z betónu vytiahla, je znázornený pracovným diagramom na obr. 2 pre aktívny koniec výstuže.

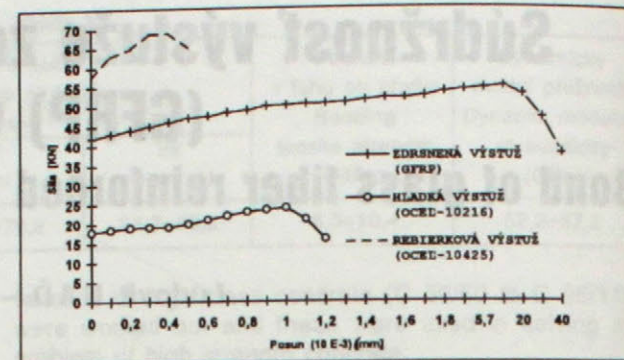
Maximálna sila, ktorú dosiahla oceľová výstuž s periodickým povrhom (10425-V) pri „vyfahovacej“ skúške, je 69 kN, keď sa pri tejto hodnote výstuž pretrhla. Pri experimentoch sme pozorovali, že porušenie súdržnosti výstuže GFRP nastáva tým, že sa poruší matrica skôr než dosiahne výstuž svoju pevnosť. Pri skúškach na dvoch vzorkách GFRP zo šiestich, sa porušil betón priečnym fahom.

Záver

Viaceré druhy nekovových výstuží vykazujú veľmi dobré vlastnosti. Ich dôležité fyzikálno-mechanické charakteristiky sú uspokojivé v porovnaní s oceľou. Výstuž GFRP, ktorá bola experimentálne overovaná, má porovnatelné pevnostné charakteristiky s priemyselne vyrábanou výstužou podobného druhu [2]. Bola zistená priemerná pevnosť v fahu 600 MPa a priemerná hodnota modulu pružnosti 40 GPa. Skúškou súdržnosti bola zistená max. kotevná dĺžka 195 mm pri statickom zafázení. Výsledky súdržnosti pri krátkodobej trhacej skúške sú takisto na návrh postačujúce, ale keďže dlhodobé pôsobenie závisí od súdržnosti, je nevyhnutné tieto nové materiály ďalej skúmať z hľadiska dlhodobého namáhania.

LITERATÚRA

- [1] Muruts, M.: Non-metallic – (FRP) bars in concrete structures and elements. [Rigorózna práca]. TU Košice, apríl 1996.
- [2] Weatherhead, R. G.: FR technology. ASP LTD London 1980.
- [3] Muruts, M.-Naď, L.: Non-metallic bars (FRP) in concrete structures. In: Zborník Concrete bridges. Štrbské Pleso, september 1997.
- [4] Muruts, M.-Naď, L.-Pešek, L.: Study on material characteristics of non metalic bars – (FRP) for concrete structures. In: Zborník VI. Vedeckej konferencie SvF TU Košice, máj 1997.



Obr. 3. Pracovný diagram „vyfahovacej“ skúšky – skúšky súdržnosti výstuže GFRP (posun meraný na voľnom – „vyfahovanom“ konci – indikátor B)

Fig. 3. Load displacement diagram „pull-out“ tests – bond test of GFRP bar (displacement measured at free end – gauge B)

metallic bars are another bases to the design of concrete beams reinforced with GFRP bars.

In cylindrical concrete specimens of (concrete B 45) with a diameter of 150 mm a bar have been embedded to length of 145, 195, 245 and 295 mm. „Self produced“ GFRP bar has a rectangular section which corresponds an area of ϕ 12 mm and was slightly greater in circumference. These bars were used for bond tests. Schema of the test arrangements „pull-out tests“ is in Fig. 1. Concrete specimens were placed in the testing hydraulic jack, and they were supported by the steel plate. Pulling of the bar with the active end, respectively the free end were measured by mechanical gagues. An electronic indicator with 50 mm base were placed in the direction of active end in order to monitor a self elongation of the GFRP bar, from where we get the elasticity moduli of the bar.

For comparison reasons an experimental tests have been done with two types of steel bars, i. e. smooth steel bar and steel bar with periodical ribs. Bars, embedded with a length of 295, 245 and 195 mm have been cut during pull-out test. Bar with an embedment length of 145 mm have been pulled from the concrete. Diagrams of experimental tests „pull-out tests“ from the beginning till the value of maximum load, from which the bar have been pulled-out is expressed in the diagram in Fig. 2 (for the free end).

Maximum load of the steel bar with periodical ribs (10425-V) at „pull-out“ test, reached 69 kN when the bar have been cutted. In our experiment we observed, that bond interruption of GFRP bar is the resin type rather than the fiber type. During the pull-out test, experiments of two specimens from six have been interrupted due to concrete splitting.

Conclusion

Most types of Non-metallic bars shows a very good characteristics. Important characteristics of tested bars are adequate in comparison with steel. GFRP bar, which was experimentally tested, have similar characteristics with industrial manufactured GFRP bar [2]. Average strength of the experimentally tested bar was 600 MPa and average elasticity modules was 40 GPa. During the statical pull-out test maximum embedment length was found out to be 195 mm. The results of short time pull-out tests were also adequate to the design, since long time action depends up on bond, investigating these new materials is inevitable.

Posuvná skruž U-40 na moste D 211 diaľnice D1 Hybe–Važec

Sliding centering U-40 on the D1 motorway bridge Hybe–Važec

Milan ŠTADLER – Hildebrand UŽOVIČ – Jozef ĎURĎA – Vladimír HANZEL

Na diaľničnom úseku diaľnice D1 Hybe–Važec pod Tatrami je hlavným dodávateľom stavby Hydrostav, a. s. Bratislava. Na tomto pomerne krátkom úseku sa nachádza štrnásť mostov, z ktorých šesť zhotovuje Hydrostav, a. s. Rozdiely ich polí sú od 20 do 60 m. Stretli sa tu súčasne viaceré hlavné technológie výstavby betónových mostov. V tomto článku je opísaná posuvná skruž, použitá pri stavbe mosta D 211–00, nad Belianskym potokom.

Most D 211–00 nad Belianskym potok je dlhý 342 m, s poliami 30,23 + 7 × 40 + 30,23 m. Skladá sa z dvoch súbežných spojítých nosníkov s rovnakým vonkajším prierezom v celej dĺžke. V pôdoryse je zakrivený do tváru písmena S, s polomermi 2 500 m, s dvoma prechodiščami. Niveleta diaľnice na moste je vo výškovom údolnicovom oblúku $R = 17\ 000$ m, s klesaním $-3,64\%$ a následným stúpaním $+0,871\%$. Most prevedie diaľnicu nad členitým a zamoreným rašelinovým údolím Belianskeho potoka.

Boli navrhnuté tri alternatívy na podporné konštrukcie debnenia mosta. Ako najvhodnejšia alternatíva sa ukázala posuvná skruž. Z toho ďalej vyplynula potreba navrhnuť a vyrobiť posuvnú skruž vlastnej konštrukcie. Termín výstavby mosta, čiže aj čas na návrh a výrobu skruža bol mimoriadne krátky.

Posuvná skruž (obr. 1) označená U-40 musela mať tieto parametre:

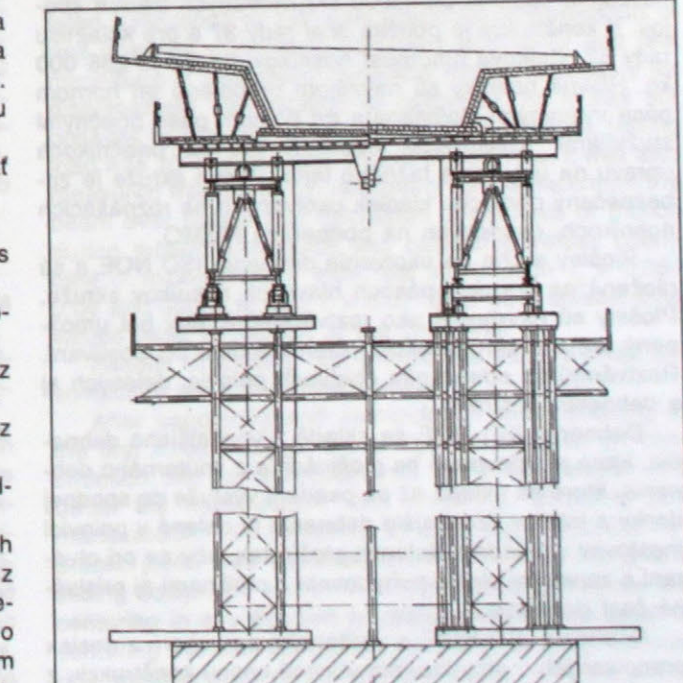
- vzdialenosť podpier – pilierov je 40 m,
- nosná konštrukcia z dvoch rovnobežných nosníkov s nadstavcami na obidvoch koncoch,
- hlavné nosníky musia byť rozoberateľné, z dielov, ktoré sú prepraviteľné po ceste,
- minimálne strojové vybavenie (pre krátkosť času) bez vlastných pohonov,
- presúvanie skruža do ďalšieho poľa musí byť bez pomocnej podpory,
- vybetónované piliere mosta nesmú byť skružou v žiadnej fáze výstavby zatažené.

V pracovnej polohe je skruž podoprená na dvoch pilieroch mosta, na podpernej konštrukcii zmontovanej z dielcov podpier PIŽMO. Na nosníkoch skruža sú osadené výsuvné plošiny, ktoré nesú debnenie ISD NOE. Po uložení výstuže do debnenia sa vybetónuje celé 40 m pole mosta naraz. Postupuje sa pri tom od vzdialenejšieho konca, smerom k už vybetónovanému poľu, t. j. proti smeru postupu stavby mosta. Predpätie sa do konštruk-

Main supplier of the motorway D 211–00 over Beliansky potok is Hydrostav, a. s. joint stock company Bratislava. On this, relatively short section, there are sixteen bridges, six of them are built by Hydrostav, a. s., the spans being from 20 to 60 m. Here were used many technologies of concrete bridge construction. This article deals with sliding centering which was used on the bridge D 211–00, over Beliansky potok.

The length of the bridge D 211–00 over Beliansky potok is 342 m, with spans 30,23 + 7 × 40 + 30,23 m. It consists of two parallel continuous beams with the same external cross section over the whole length. Ground plan of the bridge is S shaped with radii 2 500 m and two transition curves. Level line of the motorway on the bridge creates height arc $R = 17\ 000$ m with a decline of $-3,64\%$ and following rising of $+0,871\%$. The bridge guides the motorway across a broken and drenched peaty valley of Beliansky potok.

There were proposed three alternatives for supporting structures of bridge formwork. Most suitable alterna-





Obr. 2. Čelo skruže s nábehovou časťou hlavných nosníkov

Fig. 2. Front of the girder bridge with starting part of main beams

cie vnesie po troch až štyroch dňoch, keď betón už dosiahne 80 % pevnosti. Potom už možno skruž oddebníť, spustiť a presunúť do ďalšieho pola.

Vodorovná nosná konštrukcia skruže (obr. 1) je vyrobenná z dvoch priestorových priečadových nosníkov dlhých 77,7 m. Priečny rez hlavného nosníka je obdĺžnikový, s osovými rozmermi 2,1 x 2,985 m. Hlavné nosníky boli dimenzované podľa STN.

Pri výpočte síl na posun a pootočenie skruže sa predpokladali tieto súčinitele trenia: súčinatel valivého trenia z pokoja do pohybu $f_0 = 0,15$ a pri pohybe $f_p = 0,1$.

Hlavné nosníky sú zložené z troch častí – nosnej, využitej pri betonáži a dvoch nadstavcov na obidvoch koncoch, využiteľných pri posunoch.

Jednotlivé montážne dielce hlavných nosníkov sú navzájom spojené pomocou skrutkovaných trecích spojov. V konštrukcii je použitá oceľ rady 37 a pre koľajnicu rady 52. Celková hmotnosť nosníkov skruže je 236 000 kg. Hlavné nosníky sú navzájom prepojené pri hornom páse výsuvnými plošinami a pri dolnom páse priečnymi stužidlami. Konštrukcia nosníkov má na priečnikoch úpravu na uchytenie fažného lana. Posun skruže je zabezpečený pomocou kladiek ukotvených na roznásacích nosníkoch, osadených na podperach PIŽMO.

Plošiny slúžia na ukotvenie debnenia ISD NOE a sú uložené na horných pásoch hlavných nosníkov skruže. Plošiny sú navrhnuté ako roztvárateľné, aby bol umožnený prejazd skruže okolo pilierov mosta pri posúvaní. Roztvárajú sa odsúvaním obidvoch polovic, delených aj s debnením v strede.

Debnenie ISD NOE sa skladá z vonkajšieho debenia, ktoré je upevnené na plošinách a z vnútorného debenia, ktoré sa ukladá až po osadení výstuže do spodnej dosky a trámov. Vonkajšie debnenie je delené v polovici mostovky v súlade s delením plošín tak, aby sa pri otváraní a zatváraní plošín pohybovala s plošinami aj príslušná časť debnenia.

Debnenie ISD NOE, s vnútorným povrchom z dosiek predpísaných v projekte, má vlastnú nosnú konštrukciu z nosníkov, profilov a podpier systémového debnenia ISD NOE. V debnení sa formuje aj potrebné vzopätie a priečny sklon profilu mostovky.

Skrúž je uložená na roznásacie podpory, ktoré prenášajú vodorovné a zvislé účinky síl do podpier zmontovaných z prvkov PIŽMO. Laná, ktorými sa fahá skruž pri-

tive appeared sliding centering. Thus it was necessary to design and manufacture sliding centering of own project. The term of building up the bridge, so the time for design and manufacture of centering, was extraordinary short.

Sliding centering, signed U-40 had to meet following requirements:

- distance of supports – piers is 40 m,
- bearing construction create two parallel girders with extensions on both ends,
- main girder must be demountable into elements, which are transportable on the road,
- minimal machine equipment because of time shortage,
- moving the centering to the next field has to be done without auxiliary support,
- piers of the bridge must not be loaded by the centering in any phase of loading.

In working position is centering supported by two piers of the bridge on supporting structure assembled from parts of supports PIŽMO. On beams of the centering are situated pull out platforms, which are bearing the formwork ISD NOE. After placing reinforcement into formwork is the concrete laid in the 40 m field of the bridge at once. Concreting proceeds from the distant end in the direction to the ready field, that means against the direction of advance of bridge construction. The construction will be prestressed after three or four days, after the concrete reaches 80 % of its strength. Afterwards is it possible to stir the centering, drop it and move to the next field.

Horizontal bearing structure of centering (Fig. 1) is made from two space trusses with length of 77.7 m. Cross section of main beam is rectangular with dimensions 2.1 x 2.985 m. The main beams were designed according STN.

For calculation of forces causing displacement and moving round of the centering were suggested this coefficients of friction: coefficient of rolling friction from rest into motion $f_0 = 0.15$ and during motion $f_p = 0.1$.

Main beams are composed of three parts, bearing part utilized during concreting and two extension pieces on both ends, utilized by displacements.

Individual assembling elements of main beams are mutually connected by the help of screwed friction joints. In the structure is used steel series 37 and for the rail series 52. Total weight of centering main beams is 236,000 kg. Main beams are mutually connected at the upper chord with pull out platforms and the lower chord with transverse stiffener. Structure of the beams has on the cross beams an arrangement for gripping of the pull rope. Displacement of centering is realised by the help of pulleys anchored on the beams on supports PIŽMO.

The platforms serve for anchoring of ISD NOE formwork and are placed on upper chords of centering main beams. The platforms are designed as to be unfurling, to enable passage of centering around the piers of the bridge at displacement. The platforms are opening by shifting aside both halves, splitted together with formwork in the middle.

Formwork ISD NOE is composed of external formwork which is fastened on platforms and of internal formwork, which is placed after the reinforcement of lower slab and beams is prepared. External formwork is split in the middle of the bridge floor in accordance with splitting of the platforms, so that by opening and closing the platforms, moves with platforms also adequate part of formwork.

Formwork ISD NOE with inside wooden plate surface (made from plates) prescribed in design has own bear-



Obr. 3. Skruž U-40 na podpore PIŽMO

Fig. 3. Girder bridge U-40 on supporting structure PIŽMO posúvaní, vedú cez kladky, upevnené na roznásacích nosníkoch podpier PIŽMO. Konec lán sú uchytené na vahadlo, ktoré je pripojené na navijak fažného mechanizmu. Celková hmotnosť skruže aj s debnením je pri presúvaní asi 450 000 kg. Pretože pozdĺžna os mosta D 211–00 nie je priama, ale zakrivená v tvare S, je treba skruž pri presúvaní aj pootácať. Napriek náročnému pohybu a posunu už prvé aplikácie ukázali, že skruž sa dá aj v zložitých podmienkach stavby dobre ovládať.

Vzhľadom na to, že skruž podobnej konštrukcie v praxi Hydrostavu doteraz nebola vyrobenná a používaná, rozhodli sme sa vykonať zafážovaciu skúšku jedného hlavného nosníka ešte pred použitím na stavbe, v areáli výrobného závodu. Cieľom skúšky bolo overiť vypočítané priehyby hlavného nosníka na stanovenie vzopäťia pri betonáži mostovky a overiť a odskúšať veľkosť vypočítaných vodorovných síl potrebných na posun a pootáčanie skruže. Nakoľko nebolo možné simulovať plnú záťaž od betónovej zmesi pri betonáži, skúšobné zafáženie malo hodnotu 25 % z celkovej hmotnosti betónovej zmesi. Zmeraná bola aj fahová sila pri posune nosníka po kladkách a z nej sa vypočítal súčinatel valivého trenia:

- z kľudu do pohybu $f_0 = 0,08$ až 0,09,
- pri pohybe $f_p = 0,07$ až 0,08.

Tieto hodnoty boli menšie ako hodnoty, s ktorými sa počítalo pri statickom výpočte a návrhu skruže.

Výsledky zafážovacej skúšky potvrdili platnosť všetkých predpokladov uvažovaných pri návrhu a projektovaní nosníkov.

Po betonáži a manipulácii so skružou v prvých troch poliach mosta sa riešili na stavbe úpravy na uľahčenie a vylepšenie manipulácie so skružou. Spúštanie a manipulácia so skružou na ručných hydraulických zdvihákoch bolo nahradené hydraulickým zdvihacím a posúvacím zariadením HYRA-M, ktorým bolo možné skruž aj v ktorejkolvek polohe posunu pootácať. Jeden cyklus presunu skruže, ktorý obsahoval oddebnenie, spustenie skruže, posúvanie skruže, pootáčanie skruže a zdvihnutie do pracovnej polohy sa ustálil na dobu 3–4 dní.

Skrúž U-40 dĺžky 342 m bola navrhnutá, vyrobenná a zavedená do používania na stavbe v mimoriadne krátkom čase. Na stavbe sa osvedčila a určite nájde uplatnenie aj na stavbách ďalších mostov a. s. Hydrostav.



Obr. 4. Pohľad na posuvnú skruž U-40 s debnením ISD NOE
Fig. 4. View of the movable centering U-40 with the formwork ISD NOE

ing structure consisting of beams, profiles and supports of system formwork ISD NOE. In formwork there will be formed necessary rise span and cross inclination of bridge floor profile.

Centering is placed on distributing supports, which transfer horizontal and vertical effects of forces into supports assembled from elements PIŽMO. Ropes, used for pulling of centering are led through pulleys fastened upon distributing beams of supports PIŽMO. The ends of ropes are fastened upon balance beam which is connected with winch mechanism. Total weight of centering with formwork during moving is cca 450,000 kg. As the centre line of the bridge D 211–00 is curved in the shape S is it necessary the centering at moving also rotate. In spite of demanding movement and displacement, already first trials have shown, that the centering is even in complicated conditions of construction good controllable.

Because the centering of similar construction have since yet never been used in Hydrostav's activity, we decided to make loading test of one main beam before using it in situ. The aim of the test was to check calculated deflections of the main beam for determination of rise span for concreting purposes and verify and test magnitude of calculated horizontal forces, necessary for displacement and rotation of centering. As it was not possible to simulate full load caused by concrete, testing load was 25 % of the total weight of concrete. It was also measured tractive force, necessary for displacement the beam over pulleys and calculated coefficients of friction during motion: Measured and calculated values coefficient of rolling friction: from rest into motion $f_0 = 0.08$ –0.09 and during motion $f_p = 0.07$ –0.08 were smaller than values used for design of the centering.

Results of loading test proved the validity of all assumptions used in design of beams.

After concreting and manipulation with centering in the first three fields of the bridge were solved on construction site some adjustments for making easier and better the manipulation with centering. Dropping and manipulation with centering by the help of manual hydraulic jacks was substituted with hydraulic lifting and sliding equipment HYRA-M, which enabled to rotate the centering in any position of displacement. One cycle of centering transfer containing stripping, dropping, transferring, rotation of centering and lifting into working position was stabilized at the time of 3–4 days.

Centering U-40 with length 342 m was designed, produced and established in construction site in extra ordinary short time. It proved reliable on the site and will find application on further bridge structures of a. s. Hydrostav.

Príklady použitia technológie MONOSTRAND v pozemných konštrukciách

Examples of MONOSTRAND technology application in buildings

Milan CHANDOGA – Jaroslav HALVONIK

V príspevku sú uvedené štyri technicky zaujímavé realizácie technológie MONOSTRAND – dodatočne predpäťých konštrukcií s predpäťom bez súdržnosti, ktoré projektovo a dodávateľsky zabezpečila firma PROJSTAR PK, s. r. o. Bratislava od roku 1995.

1. Projekt a realizácia dodatočne predpäťých stropov RK kostola na sídlisku Dlhé Diely v Bratislave

V roku 1995 bol uvedený do užívania nový RK kostol na sídlisku Dlhé Diely v Bratislave. Spodná časť – kolumbárium slúži na ukladanie urn. V hornej časti objektu dominuje obradný priestor – chrám pre 600 ľudí, po obvode ktorého sú umiestnené bytové a administratívne priestory.

Z konštrukčného hľadiska si osobitnú pozornosť zaujímajú obidve stropné dosky nad kolumbáriom a obradným priestorom kostola. Monolitické dosky boli navrhnuté a realizované ako dodatočne predpäté s nesúdržnou výstavou MONOSTRAND $\phi 15,5$ mm/1 800 MPa (označené symbolom M6') a kotvené kompaktnými kotvami PROJSTAR.

Kolumbárium

Zvislá nosná konštrukcia kolumbária (obr. 1) je zo železobetónu. V pôvodnom návrhu bol nad kolumbáriom železobetónový rámový strop. Variant predpäťeho stropu bol cenovo porovnatelný a naviac umožnil:

- zredukovať množstvo stĺpov až o 40 %,
- bodovo podopriť väčšiu časť dosky, a tým odstrániť trámy, ktoré zmenšovali svetlú výšku podlažia,
- urýchliť výstavbu vďaka veľmi jednoduchému debneniu a vystuženiu dosky.

Stropná doska konštantnej hrúbky 200 mm je predpäťá káblami, ktoré sú vedené len v podperných pruhoch (obr. 2). Ich počet vyšiel z potreby vykryť zostatok dimenziačných momentov po odčítaní momentovej únosnosti prierezov vystužených vopred určenou mäkkou (betonárskou) výstužou. Pri dolnom povrchu sú dosky vystužené zváranými sieťami (KARI) z reborových drôtov $\phi V8$ mm s okami 150/150 mm. Pri hornom povrchu nad podperami sú umiestnené na stavbe zvárané siete z výstuže $\phi V12$ mm s okami 100/100 mm.

Vhodne zvoleným geometrickým vedením káblov v doske predpätie redukovalo šmykové sily v podopretí natočo, že nebolo treba navrhnuť doplnkovú šmykovú výstužu.

Doc. Ing. Milan Chandoga, CSc. – PROJSTAR PK, s. r. o. Bratislava; Ing. Jaroslav Halvonik, CSc. – KBKM SvF STU Bratislava.

The contribution describes four technically interesting application of MONOSTRAND technology – post-tensioned structures with unbonded tendons. The design work was done by PROJSTAR PK, s. r. o. that has also been a contractor for technology and equipment since 1995.

1. Project and construction of post-tensioned slabs of Roman Catholic church in Bratislava's district Dlhé Diely

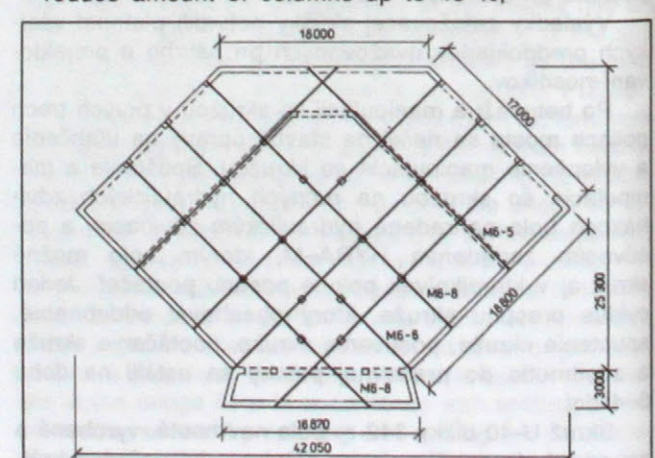
In 1995 new Roman Catholic church in one of Bratislava's district – Dlhé Diely – was built by RENOS, a. s. and PROJSTAR PK, s. r. o. The floor plan of church is irregular 6-angle. The lower part is serving for storing of urns. The main area of upper part is ceremonial area where up to 600 people can assemble. The area is surrounded with small units for living and administration offices.

From structural point of view a special attention deserve both slabs over columbarium and ceremonial area of church. Monolithic slabs were proposed and constructed as post-tensioned with unbonded tendons – MONOSTRAND – $\phi 15,5/1,800$ MPa (marked with symbol M6') and anchored with compact anchors PROJSTAR CH.

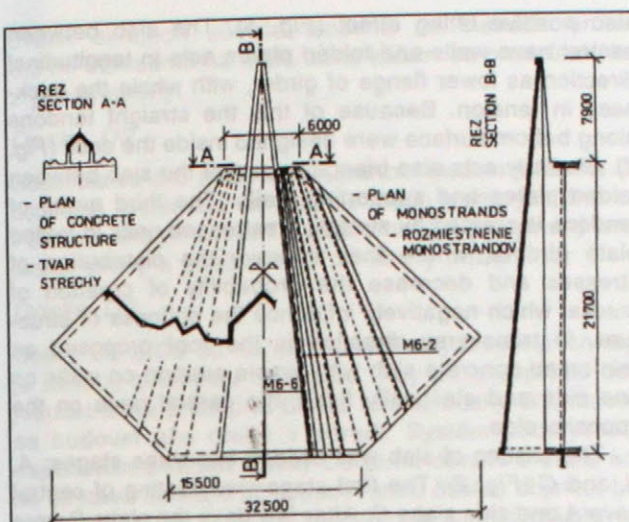
Columbarium

Vertical bearing structure of columbarium (Fig. 1) is from reinforced concrete. The original proposal was slab and girder floor (joist ceiling) from reinforced concrete. New option – post-tensioned slab – offered similar financial requirements and, which is more, allowed to:

- reduce amount of columns up to 40 %,



Obr. 1. Pôdorys kolumbária a poloha predpínacích káblov
Fig. 1. Plán of columbarium and tendon scheme



Obr. 2. Pôdorys strešnej dosky a poloha predpínacích káblov
Fig. 2. Plan of church and tendon scheme

Vďaka predpätiu sa mohla podstatne zredukovať výška trámov T1, ktoré prenášajú väčšinu zvislého zataženia stien a stropu chrámovej časti kostola, a to na 500 mm.

Armovacie práce včítane montáže predpäťia trvali 4 pracovné dni. Predpíhalo sa po dosiahnutí 80 % pevnosti betónu B 30.

Obradný priestor kostola – chrám

Pôdorys chrámu je zhodne s kostolom tvarovaný do nepravidelného šesťuholníka (obr. 2), ktorý má v smere hlavnej osi dĺžku 21,5 m a v kolmom smere max. rozpäťie 32,5 m. Rozmery jednotlivých strán šesťuholníka a orientácia hlavnej osi kostola predurčili tvar nosných prvkov a ich pôdorysnú orientáciu. V smere hlavnej osi (vstup – presbytérium) je navrhnutá hlavná loď chrámu (obr. 3 a 4), ktorá prenáša rozhodujúcu časť zataženia strechy. Aby sa dosiahla vnútorná harmónia podlahu a zároveň skrátili 13 m rozpäťia bočných dosiek, pozdĺž hlavnej lode sú umiestnené dve menšie trojuholníkové lomenice. Nosné prvky strechy-lomenice sa teoreticky zbiehajú do jedného bodu. Strecha je v miernom pozdĺžnom spáde, ktorý harmonizuje s celkovou architektonicou koncepciou a zároveň jednoduchým spôsobom rieši jej odvodnenie.

Strešná doska má konštantnú hrúbku 200 mm. Zvislé steny hlavnej lode majú hrúbku 300 mm. Veľmi dôležité sa ukázalo zabezpečenie tepelnej dilatácie strechy. Neposuvné uloženie je len na čelnej železobetónovej stene.

Predpínacia výstuž v stenach hlavnej lode má parabolický tvar, ktorý zabezpečuje okrem vnesenia tlakovej si-

- support larger part of slab on nodes and therefore take out girders, that lowered the clear height of storey,
- speed the construction time due to very simple formwork and reinforcement in slab.

The slab of constant thickness 200 mm is prestressed with tendons, that are placed only in supporting lines (Fig. 2). Their number was calculated from

residual design moments after subtraction of moment capacity of sections reinforced by beforehand specified reinforcement. The bottom surface of the slab is reinforced by welded mesh made from bars of diameter $\phi V8$ mm, with spacing of bars 150/150 mm. The top surface of the slab over the support node is reinforced by mesh welded on site from bars $\phi V12$ mm with spacing 100/100 mm.

Appropriate choice of geometrical arrangement of tendons in slab caused that the prestressing reduced shear force in support to that level, that no additional shear reinforcement was needed. Due to prestressing the height of girders T1, which carry the majority of vertical load from walls and roof of ceremonial area, could be reduced to 500 mm.

The formwork, including assembly of prestressing, lasted four working days. Stressing started after achieving 80 % of strength of concrete B 30.

Ceremonial area of the church – temple

The floor plan of ceremonial area (temple) is also irregular 6-angle, similarly as the whole building (Fig. 2). Its span along the main axis is 21.5 m and span in direction perpendicular to the main axis is 32.5 m. Dimension of each side of 6-angle and orientation of the main axis determine the shape of main load-bearing structural elements and their orientation in floor plan. The central nave of temple, which carry the majority of load from roof, is situated along the direction of the main axis (entrance – choir) (Fig. 3 and 4). Two smaller triangular folded plates are situated along the central nave for shortening of 13-meter-span slabs on sides and to achieve the internal harmony of ceiling. The bearing elements have theoretical intersection node behind altar. The roof is in slight longitudinal pitch, which is in harmony with whole architectural conception and in the same time it is also a suitable solution for a drainage.

Thickness of roof slab is 200 mm constantly. The thickness of vertical walls of central nave is 300 mm. The assurance of thermal dilatation of roof has turned to be very important. The slab is fixed only into front reinforced concrete wall, on other walls there is expansion bearing.

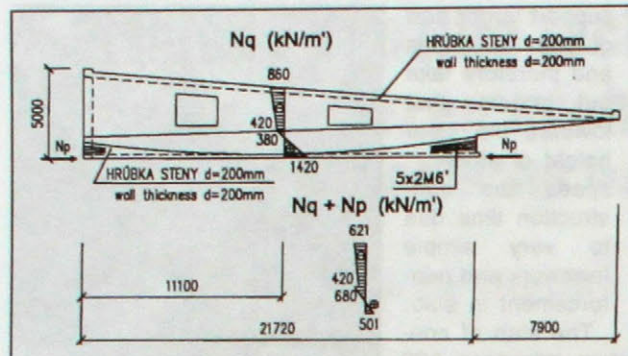
Prestressed tendons in walls of central nave have parabolic shape, which ensures besides introducing the pressure, covering tensile stresses in central nave walls,



Obr. 4. Pohľad na strešnú konštrukciu chrámu – presbytérium
Fig. 4. Church roof



Obr. 3. Pohľad na strešnú konštrukciu chrámu – vstup
Fig. 3. Church roof, partial view



Obr. 5. Priebeh normálových sôl v rozhodujúcom priereze hlavnej lode

Fig. 5. Distribution of normal external forces in the main girder of the roof

ly, potrebnej na vykrytie fahových namáhaní v stene hlavnej lode, aj priaznivé zdvihové účinky (obr. 5). Doska medzi stenami hlavnej lode a lomenicami pôsobí v pozdĺžnom smere ako spodná pánsnica nosníka, ktorá je po celej výške prierezu namáhaná fahom. Z toho dôvodu boli do dosky navrhnuté priame káble vedené pri spodnom povrchu (obr. 2). Podobne pôsobí aj trojuholníková časť dosky medzi lomenicami a podpernými stenami. Tretiu skupinu kábov tvoria priame predpínacie jednotky v lomenicových nosníkoch, kde zlepšením napäťostných pomerov zmenšujú pravdepodobnosť vzniku trhlín, ktoré nepriaznivo ovplyvňujú tuhosť konštrukcie. V priečnom smere je strecha riešená ako železobetónová doska, ktorá je na jednej strane kľovo podopretá stenami a na druhej strane pružne votknutá do hlavnej lode.

Betonáž dosky bola rozdelená na tri etapy A, B, C, (obr. 2). Ako prvá sa betónovala hlavná loď A a bočné dosky C. S niekoľkodenným odstupom boli zabetónované dosky B. Tako časovo oddelená betonáž a dôsledne ošetrovanie betónu pri extrémne vysokých teplotách (35 až 40 °C) malo zabrániť vzniku väčších zmrzačovacích trhlín.

Postupnosť predpínania kábov a ich vplyv na napäťosť dosky bola overená statickým výpočtom. Ako prvé boli napnuté káble sekcie A, nasledovali káble sekcií C a B. Nakoľko kvalita betónov hlavnej lode nedosahovala požadované parametre počas celého predpínania, sledoval sa priebyt obidvoch zvislých stien hlavnej lode.

2. Dodatočne predpäté dosky viacúrovňového parkoviska Nemocnice s poliklinikou v Petržalke

V roku 1996 firmy RENOS, a. s. a PROJSTAR PK, s. r. o. realizovali tri dodatočne predpäté parkovacie dosky v areáli Nemocnice s poliklinikou v Petržalke. Základná modulová sieť podopretia dosiek je 8,4 m. Hrúbka všetkých troch dosiek je konštantná 0,22 m. Priemer stĺpov je jednotný ϕ 300 mm. Stĺpy sú z ovinutého betónu. Vodorovné účinky sú zachytené obvodovými stenami (dosky D1, D3) a schodiskovými stenami (doska D2).

Na obr. 6. je schematicky znázornený pôdorys všetkých troch dosiek D1, D2 a D3. Dosky sú z betónu B 30.

Doska D1

Bola budovaná ako prvá v poradí. Vytvára nástupnú konštrukciu pre dosky D2, D3 ako aj spojovací článok pre prízemné parkoviská pod všetkými doskami. Doska je na

also positive lifting effect (Fig. 5). The slab between central nave walls and folded plates acts in longitudinal direction as lower flange of girder, with whole the thickness in tension. Because of this the straight tendons along bottom surface were designed inside the deck (Fig. 2). Similarly acts also triangular part of the slab between folded plates and supporting walls. The third group of tendons is created by straight prestressed units in folded plate girders, where they improve the distribution of stresses and decrease the probability of creation of cracks, which negatively influence the stiffness of structure. In transverse direction is the roof proposed as reinforced concrete slab with simple support on walls on one side and elastically fixed into central nave on the opposite side.

The casting of slab was divided into three stages: A, B, and C (Fig. 2). The first stage was casting of central nave A and side slabs C. After few days the slabs B were casted. This time-division of casting and through curing of concrete during extremely high temperatures (35–40 °C) have to prevent the structure from higher thermal cracking.

The procedure of tendon stressing and its influence on stresses in slab were verified by statical analysis. At first the tendons of section A were tensioned, and after that the tendons of section C and B.

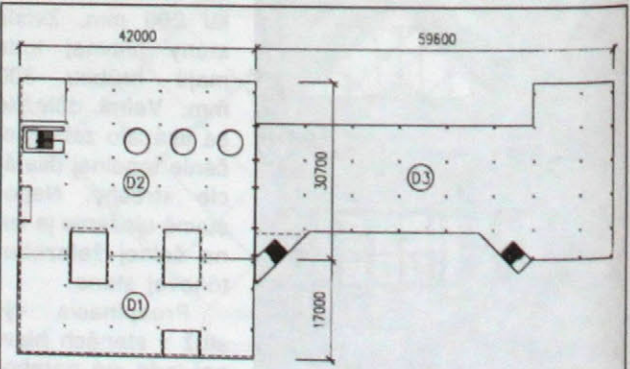
2. Post-tensioned slabs of multilevel parking in Hospital and outpatient clinic in Petržalka (Bratislava, SR)

In 1996 companies RENOS, a. s. and PROJSTAR PK, s. r. o. constructed three post-tensioned slabs for parking of cars in the area of Hospital and outpatient clinic in Petržalka. The basic distance between supporting nodes of the slab, that creates an array, is 8.4 m. The thickness of all three slabs is 220 mm constantly. The diameter of circular columns is ϕ 300 mm. The columns are reinforced by spiral reinforcement. Horizontal actions are carried by external walls (slabs D1 and D3) and walls in stairway (slab D2).

Fig. 6 shows the scheme of floor plan of all three slabs D1, D2, and D3. The concrete grade of slabs is B 30.

Slab D1

The slab D1 was constructed as the first one. It creates an entering structure for slabs D2 and D3 and it is also



Obr. 6. Parkovisko Petržalka – schéma usporiadania dosiek
Fig. 6. Parking place in Petržalka – scheme of position of slabs

dvoch okrajoch súvisle uložená na stenách hrúbky 0,3 m. Vzhľadom na malú dĺžku kábov sa predpína len z jednej strany.

Doska D2

Budovala sa ako posledná. V jednom module je doska D2 oslabená systémom veľkorozmerových kruhových otvorov. Podobne ako pri doske D3 dlhší smer bol predpínaný len z jednej strany a priečny smer zo strany dosky D1.

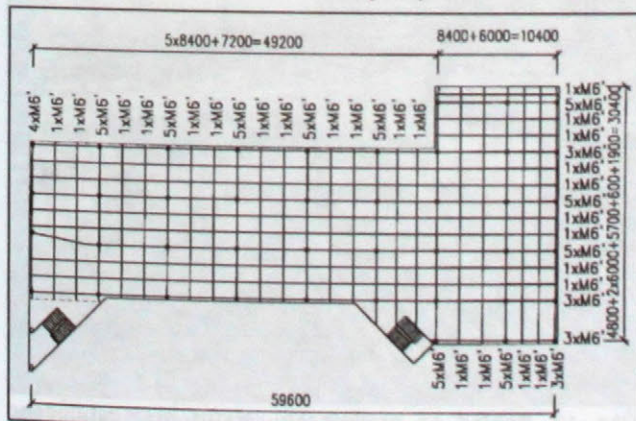
Doska D3

Dosky D2 a D3 sú na jednej výškovej úrovni a ich styk je riešený prekrytou dilatáciou. Aby pri predpínaní bola jednostranne prístupná dlhšia strana dosky D3, musela sa budovať ako druhá v poradí. Systém pôdorysného usporiadania kábov dosky D3 je na obr. 7. V časti, kde sa stretáva doska s už vybudovanou časťou objektu, boli použité pasívne kotvy so špeciálnymi tlakovými kotevnými čelusťami nalisovanými silou 250 kN do jedno- a dvojlanových kotiev PROJSTAR CH. Vzhľadom na postup výstavby boli ako prvé po 7 dňoch od betonáže napínané predpínacie káble v dlhšom smere dosky. Toto predpáanie umožnilo okamžité oddebnenie dosky a použitie debnenia pre dosku D2. Kvôli redukcii priebytu mladého betónu boli v mimopodperových pruhoch ponechané štyri stojky DOKA. Priečne laná boli napínané až po dosiahnutí 28-dňovej pevnosti betónu.

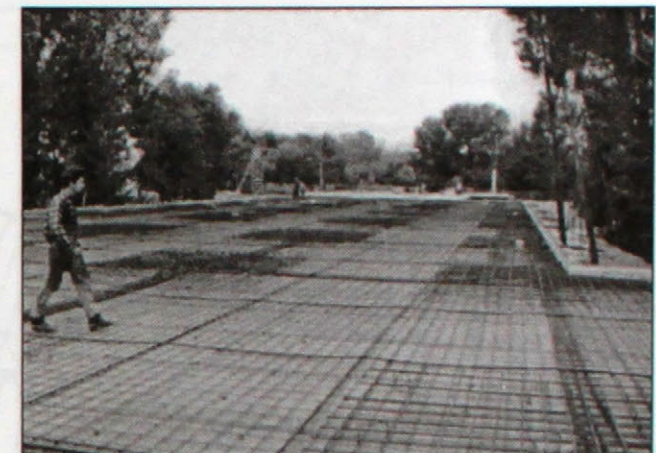
Nesúdržné predpínacie laná MONOSTRANAD AD ϕ 15,5 mm/1 800 MPa sú kotvené v kompaktných kotvách PROJSTAR CH-1, CH-2. Na obr. 8 je doska D3 tesne pred betonážou. Detail predkotvených lán v jedno- a dvojlanových kotvách PROJSTAR je na obr. 9. Dolná výstuž dosiek je zostavená z neštandardných typov zväzanych sietí. V dlhšom smere je výstuž hustoty 5 ϕ V8/m, resp. 6,6 ϕ V8/m. Priečne prúty sú vzdialé až 1,4 m a slúžia len na zabezpečenie polohy hlavných prútov. Sieťe sa ukladali vedľa seba bez presahov. Použitím rovnomenných typov sietí v druhom smere boli minimalizované počty presahov sietí. Tento systém vystužovania spája prednosti zväzanych sietí (veľká rýchlosť, nízka prácnosť na stavbe) s ekonomickostou (minimálne straty oceľe vyplývajúce z presahov sietí).

3. Objekt PFC Kaštierska v Bratislave

V roku 1996 začala výstavba PFC Kaštierska. Objekt má jedno podzemné a 11 nadzemných podlaží a bude uve-



Obr. 7. Doska D3 – schéma vedenia kábov
Fig. 7. Slab D3 – configuration of tendons



Obr. 8. Pohľad na výstuž dosky D3

Fig. 8. Reinforcement of slab D3

a connection to ground floor parking under all slabs. The slab is on two sides supported by walls 300 mm thick. With respect to small length of tendons the prestressing was applied only from one side.

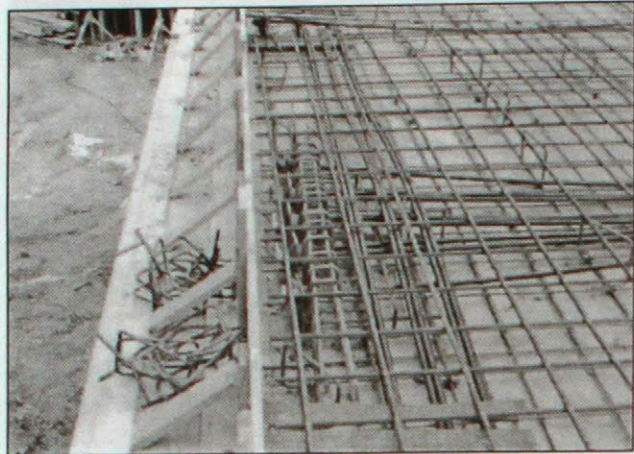
Slab D2

The slab D2 was constructed as the last one. One line of slab is weakened by system of circular holes with large diameters. Similarly as in the slab D3 the longer direction of slab was tensioned only from one side and the transverse direction from side of slab D1.

Slab D3

The slabs D2 and D3 are on the same height level and their connection is solved by covered waterproof dilatation. In order to ensure free acces to the longer part of the slab on one side for prestressing, the slab D3 had to be constructed as the second one. Configuration of tendons in slab D3 is on Fig. 7. In the area, where the slab meets already constructed parts of object, passive anchors were used, with special pressing anchoring wedges pressed with force of 250 kN into mono- and double-strand anchors PROJSTAR CH. With respect to procedure of construction the tendons in longer direction of slab were tensioned after 7 days since casting. This prestressing allowed to demould the slab and to use the formwork for slab D2. In order to reduce the deformation of young concrete, four supporting members DOKA were left in midspan lanes between supports. Transverse tendons were prestressed only after 28 days of age of concrete.

Unbonded tendons MONOSTRANAD AD ϕ 15,5/1,800 MPa are anchored with compact anchors PROJSTAR CH-1, CH-2. Fig. 8 shows the slab D3 right before casting. The detail of strands anchored in mono- and double-strand anchors PROJSTAR is on Fig. 9. Bottom reinforcement of the slab is created from special types of welded meshes. Diameter of longitudinal bars is ϕ V8 mm and their spacing is 200, and 150 mm, respectively. The spacing of transverse bars is 1,4 m. They serve only for keeping the position of main bars. Meshes were placed next to each other without overlapping. Using the same meshes in perpendicular direction minimized the number of overlaps. This system of reinforcement puts together advantages of welded meshes (high speed of construc-



Obr. 9. Detail pasívneho kotvenia kálov

Fig. 9. Detail of passive anchoring of tendons

dený do prevádzky v tomto roku. Generálnym dodávateľom a zároveň investorom je firma RENOS, a. s.

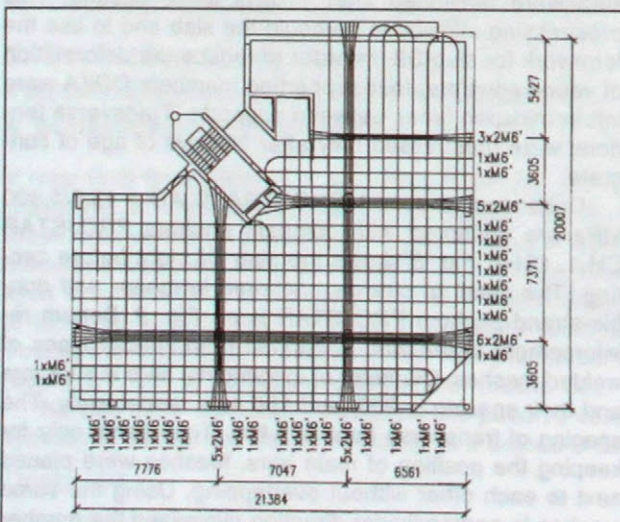
Stropy prvého, tretieho a štvrtého podlažia

Stropné dosky nad suterénom, druhým a tretím podzemným podlažím sú z predpáteho betónu B30. Monolitická doska konštantnej hrúbky 0,25 m má v niektorých časťach rozpätie až 13,5 m.

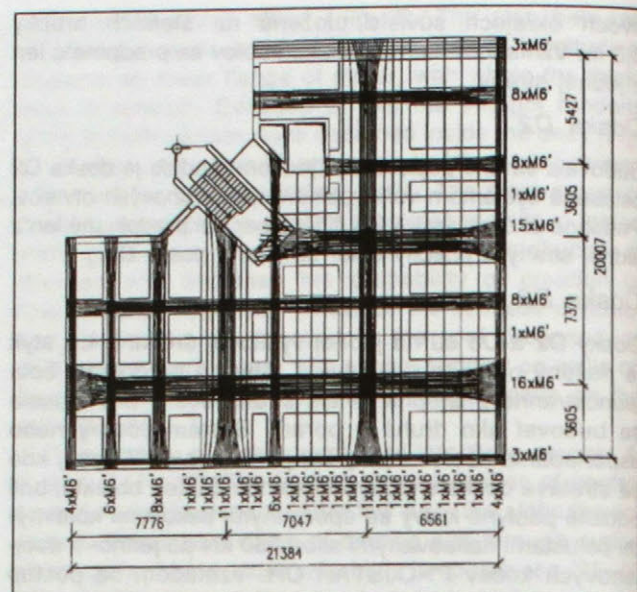
Predpátie umožnilo navrhnuť dosku bez trámov a zároveň splniť kritérium maximálneho priehybu. Typická geometria kálov predpácia MONOSTRAN je na obr. 10.

Dosky sú predpínané nesúdržnými lanami MONOSTRAN Ad_s φ 15,5 mm/1 800 MPa, ktoré sú kotvené v kompaktných kotvách PROJSTAR CH-1, CH-2.

Použitím progresívnej technológie MONOSTRAN a debniaceho systému DOKA bolo možné podstatne urýchliť výstavbu monolitických konštrukcií. Stropné konštrukcie boli betónované naraz bez prerušenia. Po 7–10 dňoch bolo vnesené asi 50 % predpátie, ktoré umožnilo konštrukciu oddební a debnenie použiť pre ďalšie podlažie. Na 100 % predpínacej sily boli napínané všetky medzipodperové káble.



Obr. 10. Schéma vedenia kálov – 4. NP

Fig. 10. Configuration of tendons – 4th floor

Obr. 11. Schéma vedenia kálov – technické podlažie

Fig. 11. Configuration of tendons – technical floor

tion, low labour consumption) and economical profit (minimum losses of steel due to lapping of meshes).

3. Building PFC Kaštieľska in Bratislava (SR)

In 1996 commenced the construction of PFC Kaštieľska in Bratislava. The building has 11 floors above ground level and one underground floor. The beginning of service is the year 1998. General contractor and client is RENOS, a. s.

Roofs of the first, third and fourth floor

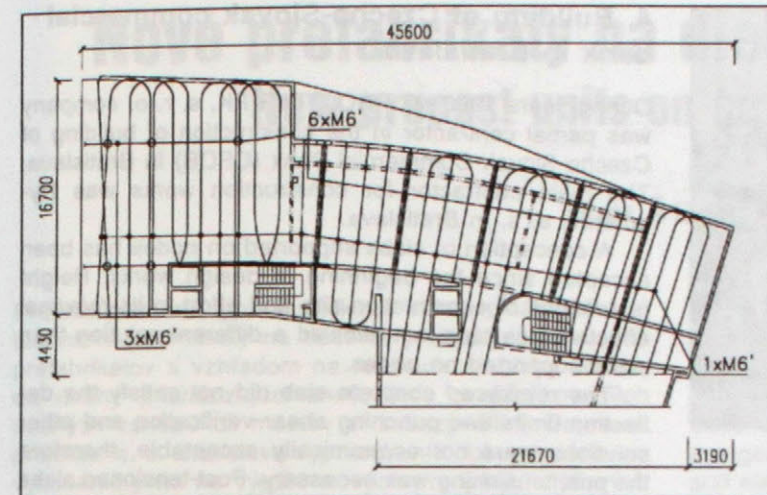
Slabs above the basement, second, and third floor are from prestressed concrete (concrete grade B30). The span of monolithic slab with constant thickness of 250 mm is in some parts up to 13.5 m.

Prestressing allowed to propose the slab without girder and fulfil the criteria of maximum deflection. Typical geometry of MONOSTRAN – prestressing tendons – is on Fig. 10.



Obr. 12. Pohľad na predpínacie výstuž premostujúceho roštu

Fig. 12. A view to prestressing tendons of bridging grid



Obr. 13. Schéma vedenia kálov – 6. NP

Fig. 13. Configuration of tendons – 6th floor

V podperových pruhoch, kde je výrazná koncentrácia predpäťia a je veľké nebezpečenstvo porušenia kotevnej zóny mladého betónu, vneslo sa v prvej etape len 50 % predpínacej sily. Druhá časť predpäťia bola vnesená až po dosiahnutí 28-dňovej pevnosti betónu.

Premostujúci rošt nad štvrtým nadzemným podlažím

Zmena zvislého nosného systému medzi 4. a 5. nadzemným podlažím je riešená premostujúcim doskovo-trámovým systémom, t. j. roštom. Aby sa minimalizovala jeho výška, bola navrhnutá stropná konštrukcia ako predpáť. Predpáty rošt (obr. 11) je vysoký 1,05 m. Horná doska má hrúbku 0,25 m. Rozhodujúce predpátie je umiestnené v trámových prvkoch. V doskách je len také množstvo predpäťia, aby sa zabezpečila minimálna tlaková napäťosť v štádiu predpínania (obr. 12).

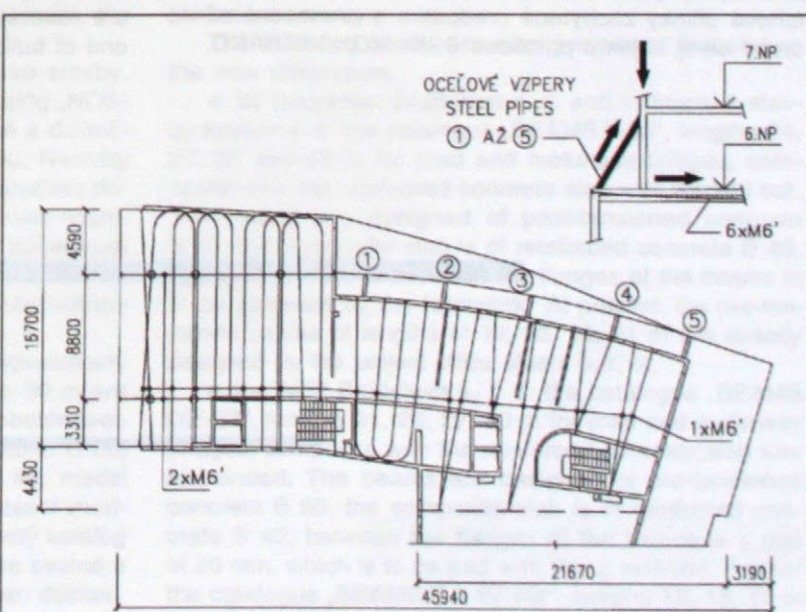
Rošt sa betónoval na dve etapy. V prvej etape sa vybetónovali len trámy. Po doplnení debnenia a výstuže sa dobetónovala doska. Prepínanie lán MONOSTRAN bolo rozdelené do 3 etáp. V prvej etape po dosiahnutí 80 % z 28-dňovej pevnosti betónu boli napnuté všetky káble v doske a 30 % lán trámových kábel. Ďalšie dve etapy predpínania sa vykonali postupne po vybudovaní dvoch, resp. štyroch bytových podlaží.

4. Budova ČSOB na Nám. SNP v Bratislave

V rokoch 1996–97 sa firma PROJSTAR PK, s. r. o. subdodávateľsky podieľala na výstavbe budovy ČSOB v Bratislave. Hlavný dodávateľ stavebných prác bol Hydrostav, a. s. v Bratislave.

Koncepcia bodovo podopretých stropov bola prijatá hned na začiatku projektových prác. Výškové obmedzenie obstaraného priestoru a snaha o jeho maximálne využitie nepripúšťali iné riešenie ako bodovo podopreté stropné dosky.

Nakoľko železobetónová bodovo podopretá doska nevyhovovala na priehyb a



Obr. 14. Schéma vedenia kálov – 7. NP

Fig. 14. Configuration of tendons – 7th floor

The slabs are prestressed with unbonded strands MONOSTRAN Ad_s φ 15.5/1800 MPa, which are anchored with compact anchorages PROJSTAR CH-1, CH-2.

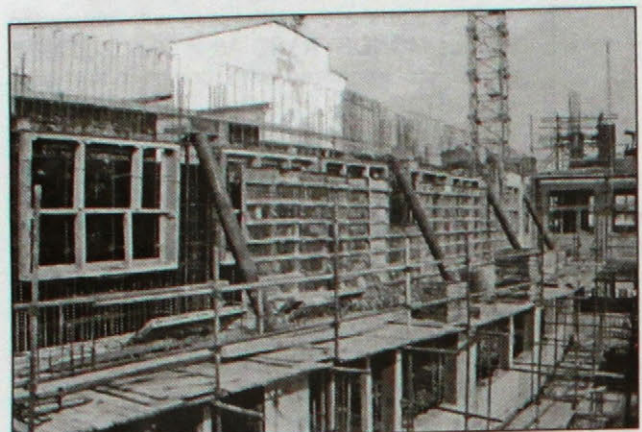
Application of progressive technology MONOSTRAN and formwork system DOKA allowed to speed up significantly the construction of monolithic structures. The structures were casted without interruption. After 7–10 days approx. 50 % of prestressing was introduced, which allowed to demould the structure and to use this formwork for next floor. All midspan tendons were prestressed with 100 % of prestressing force.

In supporting lines, where is significant concentration of prestressing and high danger of failure of young concrete in anchorage zone, only 50 % of prestressing force were introduced in the first stage. The rest of force was introduced only after achieving 28-day strength of concrete.

Bridging slab-girder system – grid

The change in vertical bearing system between 4th and 5th floor is solved by application of bridging slab-girder system – grid. This floor structure was proposed as prestressed, in order to minimize its height. The height of prestressed grid (Fig. 11) is 1.05 m. The top deck is 250 mm thick. The main part of prestressing is placed inside of girder elements. The prestressing of slabs is designed only for ensuring the minimum pressure during time of prestressing (Fig. 12).

The grid was casted in two steps. The first step was casting of girders. After adding other moulds and reinforcement the slab was casted. Stressing of MONOSTRAN had 3 steps. In the first step after achieving 80 % of 28-day-strength of concrete all tendons in slab and 30 % of strands in girder tendons were stressed. Next two steps of stressing were done after construction of two, or four floors respectively.



Obr. 15. Pohľad na oceľové vzpery

Fig. 15. A view to a steel stanchion

preplchnutie a iné riešenia boli neekonomicke, bolo potrebné použiť dodatočné predpätie. Predpäté dosky hrúbky 0,24 m sú z betónu triedy B 30.

Tak sa podarilo navrhnuť objekt s dvoma podzemnými a 10 nadzemnými podlažiami. Koncepcia predpätia dosiek vychádza z možnosti priamej redukcie zafařenia, resp. zosilnenia ohybovej tuhosti dosky na priebeh.

V podzemných podlažiach, kde nemožno uvažovať s podajnosťou masívnych obvodových stien, boli použité parabolicky zakrivené káble s maximálnym zdvihovým účinkom. V nadzemných podlažiach, kde sú obvodové steny zostavené z prefabrikátov, boli použité priame káble zdvihnuté len pri stínoch. Tieto káble poskytujú doske dostatočné tlakové napätie, ktoré obmedzuje vznik trhlín a zvyšuje ohybovú tuhosť dosky.

Na prechode medzi 6. a 7. nadzemným podlažím navrhli architekti terasu, a preto dochádzalo k posunu časti obvodových stien do vnútra stropnej dosky 6. podlažia (obr. 13 a 14). Konštrukčné riešenie prenosu zafařenia ďalších štyroch podlaží bolo obmedzené nielen dispozične, ale aj zakriveným tvarom hlavnej obvodovej steny. Na obr. 15 je výsledné riešenie. Obvodové steny sú vzájomne prepojené oceľovými vzperami. V dolnej časti sú fahové účinky zachytené predpätím a prenesené až na druhý okraj objektu pomocou 6 lán MONOSTRAND.

4. Building of Czech-Slovak commercial bank in Bratislava

During years 1996–97 PROJSTAR PK, s. r. o. company was partial contractor in the construction of building of Czech-Slovak Commercial Bank (CSOB) in Bratislava. The main contractor for construction works was Hydrostav, a. s. in Bratislava.

A conception of slabs supported on nodes has been accepted since the beginning of design works. Height restrictions of construction site and effort in its maximal effectiveness have not allowed a different solution than slabs supported on nodes.

The reinforced concrete slab did not satisfy the deflection limits and punching shear verification and other solutions were not economically acceptable, therefore the post tensioning was necessary. Post-tensioned slabs from concrete grade B 30 are 240 mm thick.

This system allowed to propose a building with 2 underground floors and 10 floors above ground level. The conception of slab prestressing resulted from possibility of direct reduction of loads, and increasing the flexural stiffness of slab in deformation, respectively. In the underground floors, where we could not take into account the pliability of external walls, the parabolically curved tendons with maximal lifting effect were used. In floors above the ground level, where the external walls are made from precast concrete elements, straight tendons were used, lifted only on columns. These tendons grant enough of pressure in the slab, which restricts the creation of cracks and increases the flexural stiffness of the slab.

Between the 6th and 7th floor the architect proposed a terrace, therefore a part of external walls is moved deeper in the middle of roof slab of 6th floor (see Fig. 13 and 14). Structural solution of load transmission of next four floors was limited not only by overall disposition but also due to curved shape of main external wall. Fig. 15 presents the final solution. The external walls are interconnected by steel struts. In the bottom part tensile actions are covered by prestressing and transferred to opposite end of building by 6 units of MONOSTRANDS.

Nové prefabrikáty na diaľničných mostoch New precast units on motorway bridges

Tibor ŠEFČÍK

Pretože pôvodné typové podklady už nespĺňali súčasné technické podmienky na riešenie predpätých mostných prefabrikátov a vzhľadom na rozmach výstavby diaľnic, do úvahy prichádzajúci zhotoviteľia prefabrikovaných nosných konštrukcií mostov si zabezpečili u Dopravoprojektu, a. s. Bratislava vypracovanie dokumentácie na výkonanie prác na výrobu nových predpätých tyčových mostných prefabrikátov. Táto dokumentácia vlastne plní úlohu podnikových typových katalógov.

Účelom príspevku je poskytnúť technickej verejnosti základné informácie o nových prefabrikovaných mostných nosníkoch.

Nové nosníky

Pri návrhu nových prefabrikovaných nosníkov sa vychádzalo z nasledujúcich kritérií a poznatkov:

- nosné konštrukcie zhotovené z nových nosníkov majú byť spriahnuté (betón–betón),
- uprednostňovať voľrad predpäté prvky pred dodatočne predpätými,
- ako predpínacie jednotky používať laná ϕ Ls 15,5/1 800,
- používať betóny vyšších pevností (B 60),
- zohľadniť nové poznatky na krytie výstuže betónom podľa STN 73 6206/zmena 2,
- zohľadniť špecifické požiadavky a skúsenosti jednotlivých zhotoviteľov.

Výsledkom sú predpäté prefabrikované nosníky, ktoré spĺňajú súčasné technicko-kvalitatívne podmienky na také výrobky kladené.

Výpracovanie nových katalógov si zabezpečili títo zhotoviteľia:

- Doprastav, a. s. Bratislava a Inžinierske stavby, a. s. Košice, pre ktorých bol vypracovaný katalog „NOSNÍKY I–96“ dĺžky 24, 27, 30 a 42 m pre cestné a diaľničné mosty spriahnuté železobetónovou doskou. Nosníky sú z dodatočne predpätého betónu B 50, spriahujúca doska zo železového betónu B 40, medzi prírubami nosníkov treba preklenúť šírku 0,50 m debnením. V súčasnosti sú už vyprojektované nosníky dĺžky 12, 15, 18 a 21 m z predpätého betónu projektovou kanceláriou Mosta, s. r. o. Bratislava.

- ZIPP, s. r. o. Bratislava, pre ktorý bol vypracovaný katalog „NOSNÍKY DZ–97“ dĺžky 21, 24, 27 a 30 m pre cestné a diaľničné mosty spriahnuté železobetónovou doskou. Nosníky sú z predpätého betónu B 60, spriahujúca doska zo železového betónu B 40, medzi prírubami nosníkov je škára 20 mm, ktorá sa utesní vhodným materiálom. Ďalej bol pre ZIPP vypracovaný katalog „NOSNÍKY TT–97 DZ“ dĺžky 12, 15 a 18 m pre cestné a diaľničné mosty spriahnuté železobetónovou doskou.

Ing. Tibor Šefčík – Dopravoprojekt, a. s. Bratislava.

As the original regulations no longer met the present-day technical requirements for the design of the precast prestressed bridge elements and with regard to the increased construction of the motorways, the producers under consideration of the precast bridge deck structures arranged with Dopravoprojekt, a. s. Bratislava the design and elaboration fo detailed drawing for the production of the new precast prestressed bridge beams. This documentation serves as the corporate typified catalogues.

The aim of this contribution is to provide technical public whith basic information about the new precast bridge beams.

New beams

The design of new precast beams is based on the following criteria and requirements:

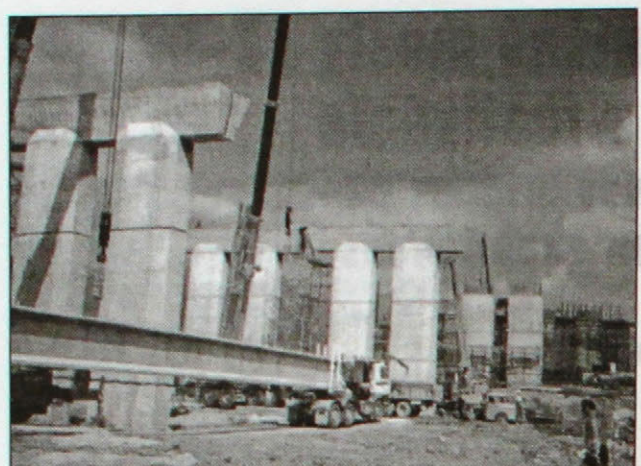
- bridge decks made of the new beams should be composite (concrete–concrete),
- preference of pre-tensioned elements to post-tensioned ones,
- the tendons ϕ 15.5/1,800 to be utilised as the pre-stressing units,
- the use of concrete of higher strength (B 60),
- new requirements on concrete cover according to the STN 73 6206/change 2 were taken into account,
- special requirements and experience of individual producers were respected.

The result of the design are prestressed precast beams fulfilling the given present-day technical-quality requirements.

The following producers arranged about elaborating the new catalogues:

- for Doprastav Bratislava a. s. and Inžinierske stavby Košice a. s. the catalogue „BEAMS I–96“, lengths 24, 27, 30 and 42 m for road and motorway bridges, composite with the reinforced concrete slab was worked out. The beams are designed of post-tensioned concrete B 50, the composite slab is of reinforced concrete B 40, the width of 0.50 m between the flanges of the beams is to be spanned by the formwork. At present, the pre-tensioned beams of lengths of 12, 15, 18, 21 m are already designed by the project office Mosta s. r. o.,

- for ZIPP Bratislava s. r. o. the catalogue „BEAMS DZ–97“, lengths 21, 24, 27, 30 m for road and motorway bridges, composite with the reinforced concrete slab was elaborated. The beams are designed of pre-tensioned concrete B 60, the composite slab is of reinforced concrete B 40, between the flanges of the beams is a gap of 20 mm, which is to be pad with fitting material. Further the catalogue „BEAMS TT–97 DZ“, lengths 12, 15, 18 m for road and motorway bridges, composite with teh reinforced concrete slab was worked out. The beams are likewise designed of pre-tensioned concrete B 60, the



Obr. 3. Doprava nosníkov I D7-97-30 na stavbu obj. 213 D1 Hybe-Važec

Fig. 3. Transportation of I D7-97-30 girders to the site 213 D1 Hybe-Važec

vrhnuté ako plne predpäté s maximálnym využitím materiálových vstupov bez priupustenia trhlín v betóne. Toto viedie k vyšším vzopätiám nosníkov.

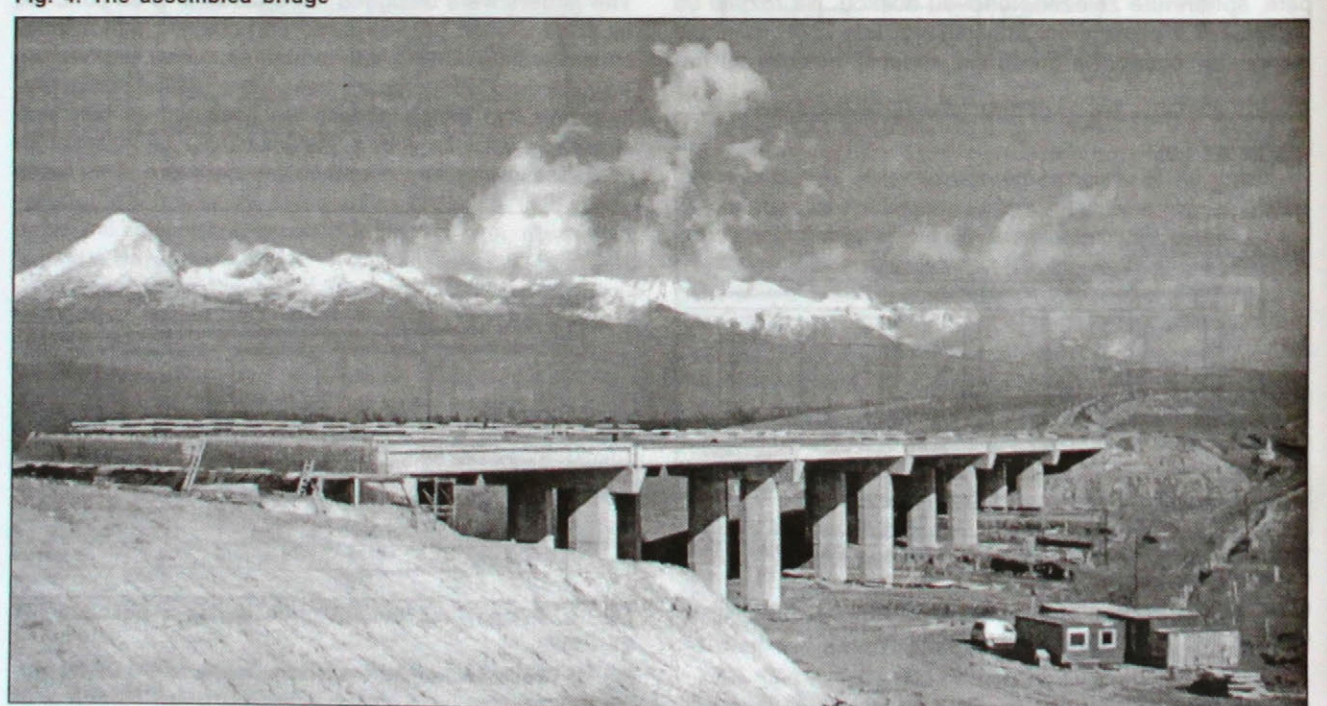
Kladne boli prijaté tieto nové detailné riešenia:

- nosníky s bočnými prírubami, ktoré uľahčujú debnenie spriahujúcej dosky,
- na šikmých mostoch šikmé ukončenie v čelách, čo zjednoduší betonáž priečnikov,
- široká horná príuba nosníkov, ktorá minimalizuje debnenie spriahujúcej dosky a zvyšuje bezpečnosť práce na moste; prínosom by malo byť aj zvýšenie tuhosti nosníkov v priečnom smere,
- prefabrikované betónové žlaby, ktoré sa dajú montovať i v zimných mesiacoch.

Výhľadom pre ďalší rozvoj je spojité konštrukcia mostov, ktorá sa vytvorí zmonolitnením prefabrikovaných

Obr. 4. Zmontovaný most

Fig. 4. The assembled bridge



nosníkov i úložných prefabrikovaných prahov; zväčšenie rozpäti nad 30 m.

Výroba nosníkov

ZIPP vyrobil pre uvedené mosty v priebehu 6 mesiacov r. 1997 asi 400 predom predpätých nosníkov, čo vôbec neznamenalo plné vyťaženie jeho výrobných kapacít. Často bolo treba koordinovať postup výroby rôznych typov nosníkov podľa postupu prípravy stavieb mimo rámc dohodnutých termínov. Pretože montáž nosníkov prebieha podstatne rýchlejšie ako ich výroba, sú potrebné správne dimenzované medziskládky dielcov.

Doprava a skladovanie

ZIPP zabezpečil dopravu nosníkov po železnici na trojici upravených železničných vagónov na medziskládku v stanici určenia. Odtiaľ sa príprava na stavbu vykonávala fahačmi so špeciálnymi ovládateľnými terénnymi oplnovými návesmi. Týmto spôsobom bola zvládnutá doprava aj do ľahšie prístupných miest, terén však musel byť primerané upravený. Pri doprave sa nepoškodil žiadny zo 400 nosníkov. Pri vykládke na stanici sa v dôsledku poruchy žeriava poškodil iba jeden nosník. Nosníky sa skladovali na spevnených plochách s betónovými cestnými panelmi.

Montáž

ZIPP vystačil pri montáži s dvoma kolovými žeriavmi. Napriek náročným terénnym podmienkam montáž prebiehala rýchlo, bez komplikácií. Terén v mieste montáže bol však vždy primerané upravený a odvodnený. Najväčší 6-poľový most, objekt 213 Hybe-Važec, so 168 nosníkmi rozpäťia 30 m bol zmontovaný v priebehu jedného mesiaca. Rýchlosť montáže vysokokvalitných nosníkov sa javí popri cene konštrukcie ako najväčší prínos prefabrikovaného riešenia.

Kompletáž mostov

Spriahujúca doska sa spočiatku realizovala pri 30 m nosníkoch do strateného debnenia z azbestocementových dosiek. Rozšírením hornej príuby sa potreba debnenia pri nových typoch nosníkov minimalizuje. Betonáž dosky sa uskutočňuje v jednej fáze vibračnou lištou na celú šírku mosta. ZIPP pripravil riešenie prefabrikovaného žlabu, včítane jeho stykov, a vyvinul montážne zariadenie s presnou možnosťou smerového a výškového nastavenia.

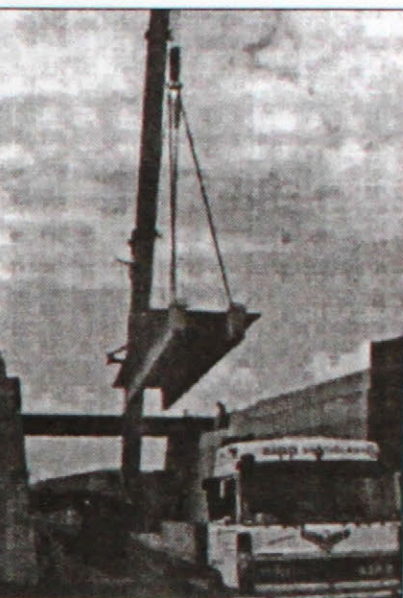
Porovnanie s inými konštrukciami

Skúsenosti s prvými realizáciami potvrdzujú vysokú konkurenčnú schopnosť betónovej prefabrikovanej spriahnej konštrukcie najmä v porovnaní s konštrukciami väčších rozpäti. Predovšetkým vysoká kvalita a rýchlosť výstavby pri cenovej výhodnosti sú hlavnými argumentmi na presadenie týchto konštrukcií v projektoch.

Obr. 5. Záber z montáže nosníkov TT DZ-97-15 na stavbe obj. 213 Nemšová-Ladce

Fig. 5. The assembly of the TT DZ-97-15 girders on the object 213 Nemšová-Ladce

site by special controllable off-road trailers. In this way we have managed also to get to the hard accessible areas – but the terrain had to be modified appropriately. Out of the 400 manufactured girders – not a single one got damaged in the course of the transportation. Due to a failure of the crane – just one girder was damaged at the discharge at the railway station. The girders were stored on grounds stabilized by concrete road panels.



Assembly

Two truck mounted cranes were enough for the ZIPP company. In spite of the unfavourable site conditions, the assembly went on smoothly, failure free and fast. But the terrain on the site was always modified and drained. The largest 6 field bridge (object 213 Hybe-Važec) with 168 girders of 30 m span was assembled in just one month. The high pace of the assembly of high-quality girders seems to be the biggest benefit of a prefabricated solution – besides the price of the structure.

Completion of the bridges

At the beginning the composite slab of 30 m girders was made into a permanent formwork – made of asbestos-concrete plates. By widening the upper flange we minimize the formwork demand with those new girder types. The slab is cast using a finishing beam across the entire width of the bridge. The ZIPP company has prepared a solution for the prefabricated channel including its joints and it also developed an assembly device with the possibility of a precise direction and height adjustment.

Comparison with other structures

Our experiences with the first implementations prove the high competitive ability of the prefabricated composite structure – especially as to large span structures. The high quality and pace of the assembly in connection with a price advantage are the main arguments for carrying through those structures in construction projects.

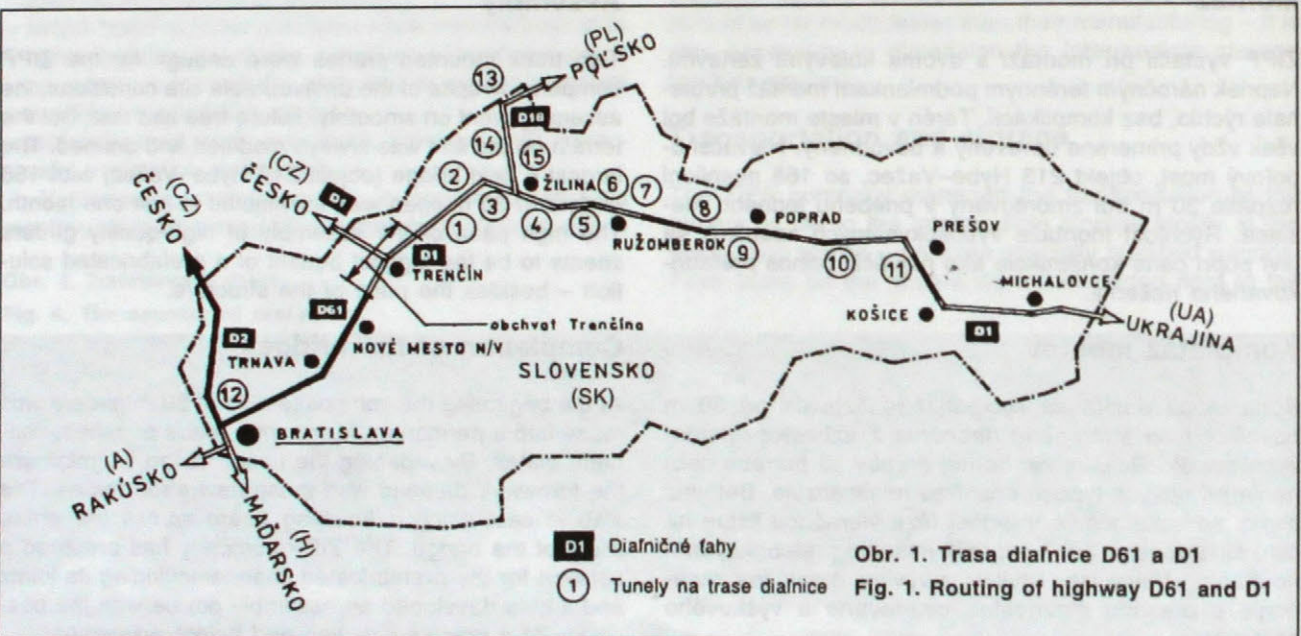
Most cez Váh a elektrárenský kanál pri Beckove

Bridge over the Váh river and the channel near Beckov

Miroslav ŠAGÁTH – Vladimír JANČIGA

Súčasťou diaľničného prepojenia sever–juh (transeurópska magistrála E75) je v súčasnosti budovaný úsek diaľnice D61 Nové Mesto nad Váhom–Chocholná. Jeho najvýznamnejším objektom je most cez Váh a elektrárenský kanál pri Beckove, ktorým by sa malo začať obdobie výrazného rozvoja výstavby diaľničných mostov. Most má inundačnú časť 9 polí z nosníkov I-96 dĺžky 366 m a letmo betónovanú časť dĺžky 336 m.

Diaľnica D61 Bratislava–Trenčín je súčasťou medzinárodného fahu E75 a Transeurópskej magistrály sever–juh. Jej dobudovaním sa prepojí diaľnica na D1 na medzinárodnú diaľničnú sieť ČR aj v smere západ–východ. Úsek Nové Mesto nad Váhom–Chocholná spája dve najväčšie sídla oblasti, a to Nové Mesto nad Váhom a Trenčín (obr. 1).



Nosná konštrukcia

Celková dĺžka mosta je 702 m, z toho 9 inundačných polí tvorí 366 m (ich rozpäťia sú premenlivé 40,1 až 41,6 m) a letmo betónované 4 polia tvoria 336 m konštrukcie (71 + 102,5 + 102,5 + 60 m), obr. 2.

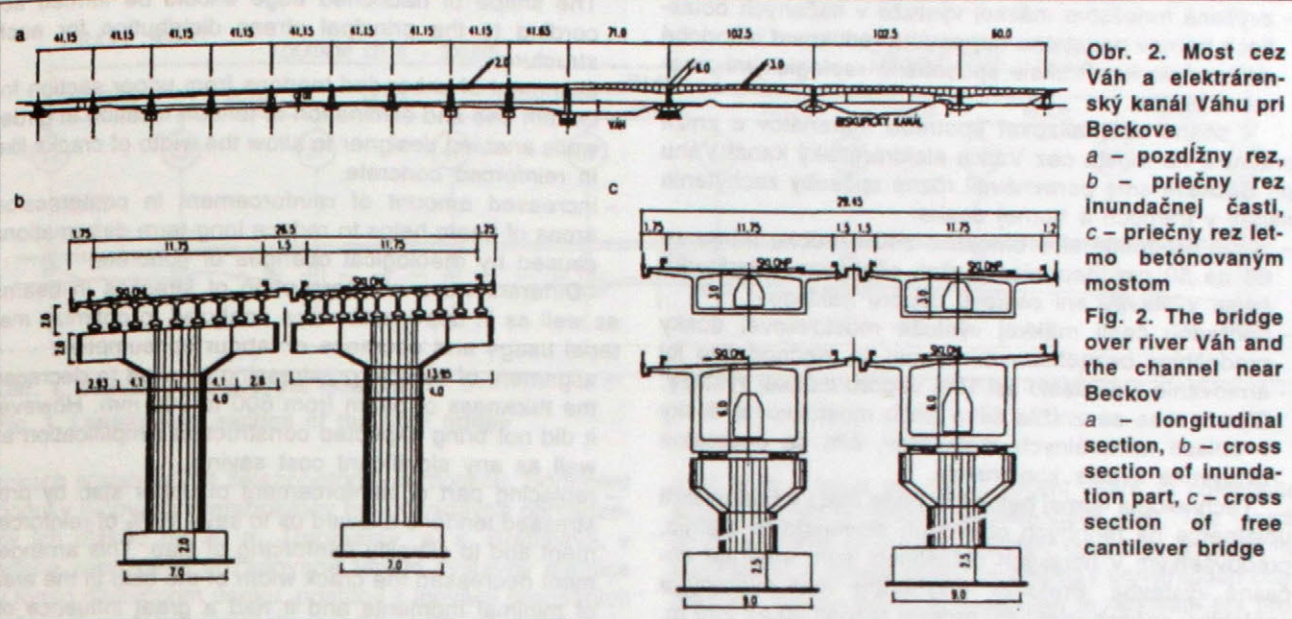
Priečny rez inundačnej časti je riešený ako spriahnutý [1] výšky 2 m. Tvorí ho atypické prefabrikované nosníky I-96 z betónu B 50, výšky 1 800 mm a spriahujúca

Ing. Miroslav Šagáth – MOSTA, s. r. o. Bratislava; Ing. Vladimír Jančiga – Doprastav, a. s. Bratislava.

ná connects two largest towns located in the area; Trenčín and Nové Mesto nad Váhom. The area is one of the most settled and economically developed in Slovakia with possibility of its further development (Fig. 1).

Superstructure

Total length of the bridge is 702 m; nine fields of flood bridge have the length 366 m together (spans vary from 40.1 to 41.6 m) and four spans of the bridge built by free cantilever method have length 336 m (71 + 102.5 + 102.5 + 60 m) see Fig. 2.



Obr. 2. Most cez Váh a elektrárenský kanál Váhu pri Beckove
a – pozdĺžny rez,
b – priečny rez inundačnej časti,
c – priečny rez letmo betónovaným mostom

Fig. 2. The bridge over river Váh and the channel near Beckov
a – longitudinal section, b – cross section of inundation part, c – cross section of free cantilever bridge

doska z B 45 priemernej hrúbky 200 mm. Osová vzdialenosť nosníkov je 1 450 mm.

Priečny rez letmo betónovanej časti má tvar uzavretej komôrky. Jej výška sa mení od 3 m nad krajnými oporami do 6 m nad medzifahlími podperami (obr. 2). Predpätie nosnej konštrukcie zabezpečujú tri druhy kábelov s predpínačom napätiom 1 430 MPa:

- interné káble v hornej a dolnej doske priečneho rezu sa skladajú z kábov zložených z 12 lán ϕ Ls 15,5/1 800;
- externé káble vedené v komôrke sú zložené z 18 bezadhéznych lán ϕ Ls 15,5/1 800;
- priečne predpätie hornej dosky zabezpečujú jednotlivé bezadhézne lán ϕ Ls 15,5/1 800.

Technológia výstavby

Pri výstavbe mosta boli navrhnuté dve technológie:

- Prefabrikované nosníky tvaru I-96 sú základným prvkom inundačných predpolí mosta.
- Letmá betonáž je druhou technológiou použitou na tomto objekte. Dodnes sa touto úspešnou technológiou realizovalo u nás 7 veľkých objektov, najväčší s konzolou dĺžou až 120 m (most Lafranconi v Bratislavе). Rozbor spotreby materiálov na tieto objekty však ukázal veľké rozdiely. I keď spotreba materiálov na m^2 nie je najspoľahlivejší ukazovateľ pre porovnanie dvoch konštrukcií, predsa poskytne lepší pohľad na objekty. V riešenom prípade umožnil základnú orientáciu pri navrhovaní konštrukcie.

Doterajšie skúsenosti potvrdili niekoľko základných princípov zavedených do letnej betonáže už pri moste Lafranconi:

- tvar nábehovej hrany výrazne ovplyvňuje priebeh napäti. Použitie nábehu v tvare paraboly $2'$ znížuje pomernú únosnosť prierezov v polovici konzoly. Pre každý riešený prípad je vhodné vytvoriť tvar nábehovej hrany v závislosti od priebehu hlavných napäti;
- vedenie kábov od horného okraja prierezu k dolnému mimo prierez a vylúčenie vedenia interných kábov zo stien trámov umožňuje pripraviť v tránoch šíru trhli ako v nepredpätom betóne (železobetón);

Cross section of flood bridge is designed as a composite structure with two meters height [1]. It is created by atypical precast girders I-96 of prestressed concrete B 50, with height 1,800 mm and composite slab with thickness 200 mm. The spacing of precast girders is 1,450 mm.

Cross section of part built by cantilever method is designed as a box girder. Its height varies from three meters over abutments to six meters over the piers (Fig. 2).

Prestressing of the bridge is done by three types of tendons with prestressing stress 1,430 MPa:

- internal tendons situated in upper and bottom slab from 12 tendons ϕ Ls 15.5/1,800;
- external unbonded tendons situated in box girder from 18 tendons ϕ Ls 15.5/1,800;
- prestressing in cross section is realized by separated nonadhesive tendons ϕ Ls 15.5/1,800 situated in upper slab.

Construction technology

There were designed two technologies for construction of bridge over the River Váh and its channel:

- Precat I-96 shape girders are basic elements of the flood bridge.
- Free cantilever method is second construction technology used for bridge construction. Seven large structures were built by this technology in Slovakia up till now. The Lafranconi Bridge is the biggest one with cantilever 120 m long. Although the material usage per square meter is not the most reliable indication to compare structures built by different technologies, it enables us to make the analysis from other point of view. In our case it served as a basic orientation to make decision about design of structure.

Our experiences have already confirmed some basic principles implemented during construction of the Lafranconi Bridge by free cantilever method:

- a shape of haunched edge has a big influence on stress distribution. An application of the haunch with parabolic shape of $2'$ decreases relative loading capacity of cross sections in the middle of cantilever.

- zvýšené množstvo mäkkej výstuže v tlačených oblastiach trámov podstatne napomáha redukovať dlhodobé deformácie konštrukcie spôsobené reologickými zmenami betónu.

V snahe optimalizovať spotrebu materiálov a znížiť prácenosť na moste cez Váh a elektrárenský kanál Váhu pri Beckove sme porovnávali rôzne spôsoby záchytenia napäti v trámoch a hornej doske:

- zvislé predpätie sice umožnilo znížiť hrúbku trámu zo 60 na 50 cm, neprineslo však očakávané zjednodušenie výstavby ani celkovú úsporu nákladov;

- náhradou časti mäkkej výstuže mostovkovej dosky predpätími bezadhézonymi lanami sa zjednodušilo jej armovanie a prinieslo asi 10% úsporu mäkkej výstuže. Okrem toho sa znížila šírka trhlín mostovkovej dosky v oblasti minimálnych momentov, čím sa podstatne ovplyvnila kvalita konštrukcie.

Technológia letnej betonáže bude mať i v budúcnosti uplatnenie na mnohých objektoch slovenských diaľnic, predovšetkým v horských oblastiach, kam smeruje súčasná výstavba. Preto je nevyhnutné mať overený a spôsobilivý spôsob výstavby mostov rozpäť 90 až 220 m.

LITERATÚRA

- [1] Greguš, J.: Most cez inundačné územie Váhu pri Beckove. In: Zborník prednášok „Betón na Slovensku v r. 1994–1998“; s. 64–69. Doprastav, a. s. OZ Bratislava-Petržalka.

Estakáda cez inundačné územie Váhu pri Beckove

Bridge over the inundation area of Váh river near town Beckov

Ján GREGUŠ

Najvýznamnejším mostom úseku diaľnice D61 medzi Novým Mestom nad Váhom a Trenčínom je premostenie Váhu a elektrárenského kanála pri Beckove, ktorého celková dĺžka je 702 m. Príspevok je zameraný na riešenie premostenia inundačie Váhu.

Diaľničný úsek medzi Novým Mestom nad Váhom a Trenčínom je súčasťou diaľnice D61 Bratislava-Trenčín, zahrnutej do medzinárodného fahu E75 a Transeurópskej magistrály sever-juh. Program výstavby diaľnic na Slovensku je po roku 1995 náročný na stavebné kapacity hlavného staviteľstva a vyžaduje prehodnotiť možnosť existujúcich technológií výstavby mostov formou inovácie v snahe zachovať osvedčené postupy. Vhodnou technológiou výstavby mostov je prefabrikácia, ktorá je na Slovensku najrozšírenejšou technológiou nosných konštrukcií mostov tyčovými prefabrikátmi, v posledných

The most important bridge in D61 highway section between towns Nové Mesto nad Váhom and Trenčín is crossing the Váh river and power plant channel near town Beckov. Its overall length is 702 m. This contribution deals with solution of bridge crossing the inundation area of Váh river.

Highway section between towns Nové Mesto nad Váhom and Trenčín is the part of highway D61 Bratislava-Trenčín. This highway is included into international route E75 and transeuropean route North-South. Program of highway construction in Slovakia is after 1995 very demanding, especially for designers and construction capacities of bridge engineering. It requires to evaluate the capability of existing technologies in bridge construction and their innovation together with keeping verified methods. In this respect the technology of precast concrete is very suitable. The most common precast concrete technology in Slovakia is structural system cre-

Ing. Ján Greguš – Doprastav, a. s. OZ Bratislava-Petržalka.

The shape of haunched edge should be formed according to the principal stress distribution for each structure,

- alignment of unbonded tendons from upper section for bottom one and elimination of tendon location in girder walls enabled designer to allow the width of cracks like in reinforced concrete,

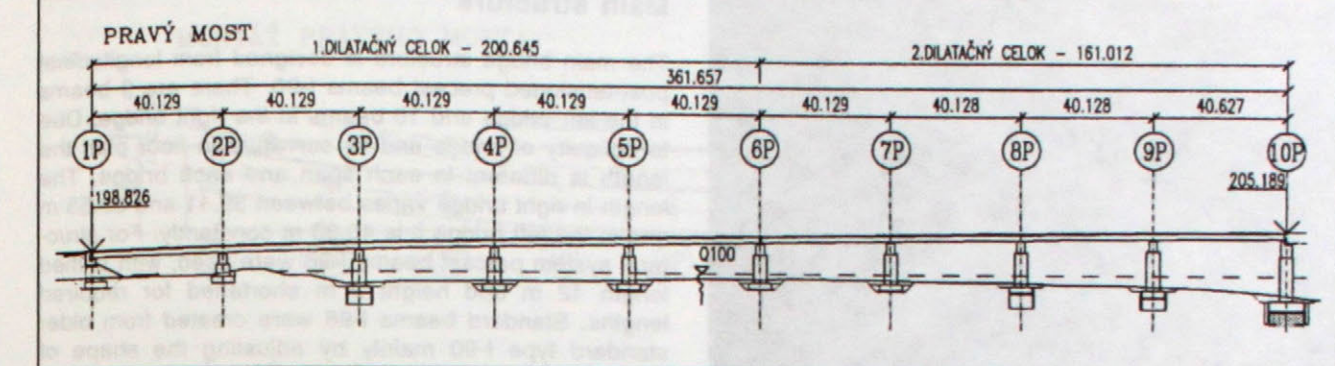
- increased amount of reinforcement in compression areas of beam helps to reduce long-term deformations caused by rheological changes of concrete.

Different ways of interception of stresses in beams as well as in upper slab were analyzed to optimize material usage and decrease of labour consumption:

- alignment of vertical prestressing allowed to decrease the thickness of beam from 600 to 500 mm. However it did not bring expected construction simplification as well as any significant cost saving,

- replacing part of reinforcement of upper slab by pre-stressed tendons allowed us to save 10 % of reinforcement and to simplify reinforcing of slab. This arrangement decreased the crack width of the slab in the area of minimal moments and it had a great influence on the quality of structure.

The technology of free cantilever method will be applied on many Slovakian highway bridge structures in future. It is very important to have verified and reliable construction method of bridges with spans among 90 to 220 m for mainly mountain areas where future highway construction will be performed.



Obr. 1. Pozdĺžny rez pravým mostom

Fig. 1. Longitudinal section of the right bridge

rokoch spriahnutých železobetónovou doskou. Sortiment ponuky tyčových prefabrikátov bol donedávna obmedzený ich dĺžkou do 30 m. Doprastav, a. s. Bratislava, v snahe zabezpečiť požadované tempo výstavby diaľnice v tomto diaľničnom úseku, pristúpil k inovácii predpätí tyčových prefabrikovaných nosníkov I-90 a predĺžil typovú radu až na 42 m [1]. Súčasne sa mierne upravil tvar priečneho rezu a zásadne sa zmenilo pozdĺžne predpätie. Inovované nosníky, pod názvom I-96, sa použili na vybudovanie nosnej konštrukcie 9 polí mosta cez Váh a elektrárenský kanál pri Beckove, a to na premostenie ľavobrežnej inundačie Váhu v dĺžke 367,8 m (ľavý most), resp. 361,66 m (pravý most). Každý z obidvoch mostov je staticky a funkčne samostatný.

V tomto úseku smerové os diaľnice prechádza z oblúka $R = 1\ 100$ m do prechodnice, priečny sklon je konštantný 4 % po celej dĺžke mosta. Niveleta v úseku premostenia stúpa v sklone 2,2 % a plynule prechádza do výškového oblúka $R = 11\ 250$ m. Výškový rozdiel obidvoch koncov nosnej konštrukcie je 7,36 m. Obidva mosty sú po dĺžke rozdelené do dvoch dilatáčnych celkov 5 + 4 polia. Premostenie inundačie priamo nadvázuje na premostenie Váhu a elektrárenského kanála na piliero 10L a 10P [2]. Šírka komunikácie na mostoch je daná kategóriou diaľnice v tomto úseku, voľná šírka ľavého mosta je 11,75 m, voľná šírka pravého mosta je premenná 12,95 až 11,75 m.

Zakladanie

Zakladanie je navrhnuté plošné v otvorených stavebných jamách, piliere v blízkosti koryta Váhu a ochranej hrádze pod ochranou oceľových štetovnicových stien vo vrstve štrkov. Zvýšené požiadavky na založenie pilier 10L a 10P z dôvodu minimalizácie sadania viedli k potrebe zlepšiť piesčité štrky pod ich základmi. Použila sa metóda zhotovenia stĺpov dýzovou injektážou, kde pomocou lúča cementovej suspenzie vystupujúceho z hlavy dýzy pod tlakom 300 až 400 atm sa zemina premieňa na zmes cementu, zeminy a vody. Postupným otáčaním hlavy dýzy sa vytvorili stĺpy priemeru 1,2 m. Pod jedným základom bolo zhotovených 64 stĺpov dĺžky 4,3 m, siahajúcich až do vrstvy navetralých slieňovcov.

Nosná konštrukcia

Nosná konštrukcia je navrhnutá z pozdĺžnych, dodatočne predpätých tyčových prefabrikátov I-96, v ľavom mos-

ted from precast beams, in recent years as composite structure with reinforced concrete deck slab. The length of beams was in the past limited by 30 m. In effort to guarantee required speed of highway construction contractor – Doprastav a. s. – decided to renovate the production of precast concrete beams I-90 and to extend the offer of beam types up to the length 42 m [1]. The cross section of the beam has also been adjusted and system of longitudinal prestressing has been significantly changed. New beams, known as I-96, have been used as bearing structural system of 9-span bridge across the Váh river and power plant channel near town Beckov particularly for crossing the leftbank inundation area with length 367.8 m (left bridge) and 361.66 m (right bridge), respectively. Each of two bridges is independent from both static and function points of view.

In mentioned highway section the route follows a horizontal curve with radius of 1,100 m and continues in transition curve. The transverse decline is 4 % constantly along the whole bridge. Longitudinal incline in the section of bridge structure is 2.2 % and it continues in a vertical curve with radius of 11,250 m. The difference in altitude of both end nodes of bridge structure is 7.36 m. Both bridges are divided into 2 dilatation parts (5 + 4 spans). The bridge crossing the Váh river and power plant channel directly continues from piers 10L and 10P as the bridge crossing the inundation area. The width of carriageway is determined by category of highway in particular section. Free width of left bridge is 11.75 m constantly, the width of right bridge varies between 12.95 m and 11.75 m.

Foundation system

Shallow foundations in open trench are proposed, piers close to Váh river bed and levee are protected by steel interlocking pile wall set in the gravel layer. Increased requirements for foundations of piers 10L and 10P due to minimizing the settlement lead to necessity of improving the layer of sand gravel under the foundations. We used the method of creation of piles by jet injection. In this method the jet of cement suspension leaving the head of nozzle under pressure of 300–400 atm transforms a soil into a mixture of cement, soil and water. As the head of nozzle rotates the piles of diameter 1.2 m are created. There were 64 piles 4.3 m long constructed under one foundation that reached the layer of decayed marlites.



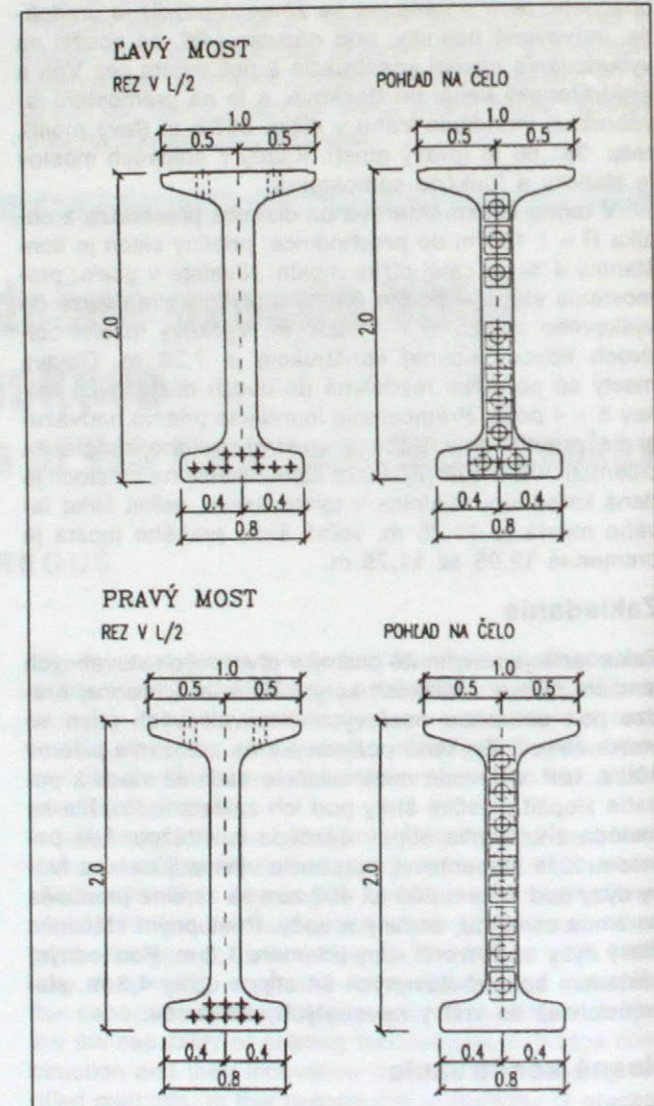
Obr. 2. Pohľad na stavenisko mosta

Fig. 2. A view to a construction site

te je 9 nosníkov, v pravom 10 nosníkov (obr. 2 na s. 29). Vzhľadom na šikmosť premostenia a jeho pôdorysné zakrivenie, dĺžky nosníkov nie sú rovnaké v každom poli a v každom moste. Ich dĺžka je v pravom moste premenná od 39,41 m do 39,53 m, v ľavom moste je dĺžka nosníkov konštantná 40,3 m. Pre nosnú konštrukciu bola použitá typová dĺžka tyčového prefabrikátu I-96, dĺžky 42 m a výšky 2 m, skrátením na požadované dĺžky. Typové nosníky I-96 vznikli inováciou staršej typovej rady I-90, a to hlavne úpravou tvaru priečneho rezu, predĺžením typovej rady na 42 m a zmenou predpínacieho systému. Nové tyčové prefabrikáty I-96 sa teraz vyrábajú v typových dĺžkach 24, 27, 30 a 42 m s výškami 1,15, 1,25, 1,4 a 2 m. Medziahlé dĺžky sa vyrábajú skrátením najbližej vyšej typovej dĺžkovej rady. Tvar priečneho rezu je konštantný po celej dĺžke nosníka, horná a dolná prírubá je rovná pre všetky typové dĺžky. Toto riešenie umožňuje vyrábať nosníky všetkých typových dĺžok v jednej univerzálnnej forme a zefektívniť tak ich výrobu. Rôzne typové výšky sa docieľujú iba zmenou výšky stojiny, a to vkladaním vložiek do zvislej časti bočnice oceľovej formy. V závislosti od prepravných možností a podmienok sa môžu nosníky vyrábať v celku alebo z troch častí betónovaných na pseudokontaktnú škáru a na stavenisku zopnutých predpäťím do jedného celku. Výroba vcelku, vzhľadom na prepravné a zdvívacie možnosti na Slovensku, prichádza do úvahy iba pri dĺžkach do 30 m. Jednotlivé dielce príslušného nosníka sa ukladajú na pevné, ale pritom klzné podložky, výškovo a smerovo sa vyrovnanajú do priameho smeru, navlečú sa predpínacie laná a na celá pseudokontaktných škár sa nanesie

Main structure

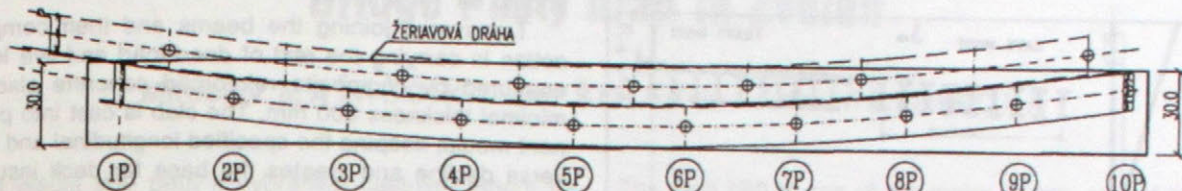
The main bridge structure is designed from longitudinal post-tensioned precast beams I-96. There are 9 beams in the left bridge and 10 beams in the right bridge. Due to obliquity of bridge and its curvature in floor plan the length is different in each span and each bridge. The length in right bridge varies between 39.41 and 39.53 m and in the left bridge it is 40.30 m constantly. For structural system precast beams I-96 were used, with unified length 42 m and height 2 m shortened for required lengths. Standard beams I-96 were created from older standard type I-90 mainly by adjusting the shape of cross-section, prolonging of beams up to 42 m and changing the system of prestressing. New precast beams I-96 are produced with length 24, 27, 30, and 42 m and heights 1.15, 1.25, 1.4, and 2 m. Beams with length between these values are produced by shortening of the closest higher length type. The shape of cross section is constant along whole beam. Upper and bottom flanges are the same for all lengths. This solution allows to use the same formwork for beams of all types and make the production more effective. Different heights of beams are



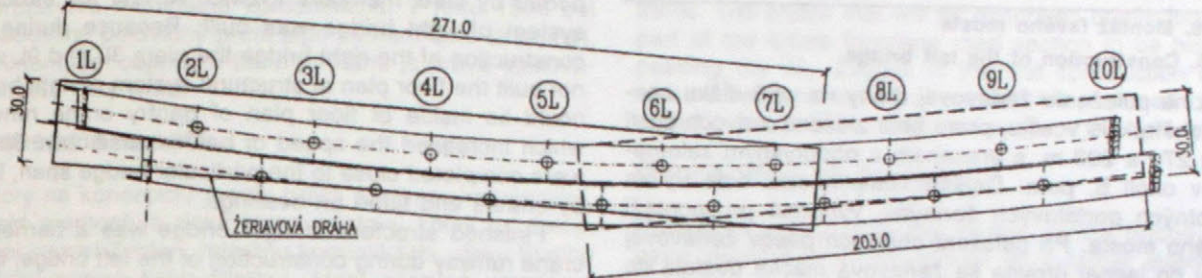
Obr. 3. Nosníky I-96

Fig. 3. Beams I-96

MONTÁŽ PRAVÉHO MOSTA



MONTÁŽ ĽAVÉHO MOSTA



Obr. 4. Pôdorys žeriavových dráh pri montáži nosníkov I-96

Fig. 4. Floor plane of crane runway during assembly of beams I-96

epoxidový tmel. Predpäťím prvých troch kábelov sa čelá pseudokontaktných škár vzájomne pritlačia, prebytočný tmel sa zo škáry vytlačí a nechá vytvrdnúť. Nasleduje napnutie zostávajúcich kábelov v predpísanom poradí a ich injektáž cementovou maltou. Predpätie do nosníkov sa môže vniesť až po dosiahnutí pevnosti betónu 40 MPa. Ako predpínacie jednotky sú použité spletené laná ϕ Ls 15,5/1 800 MPa, združené do 4-lanových kábelov a kotvených kotvami KK-CH4 s rozmerom 0,18 x 0,16 m. Káble sa kotvia pri napäti 1 432 MPa.

Priečne spojenie a spolupôsobenie nosníkov pri prenose zvýšeného stáleho a pohyblivého zataženia zabezpečuje spriahajúca železobetónová doska s minimálnou hrúbkou 0,2 m. Doska je betónovaná do strateného debnenia v predpísanom pozdĺžnom a priečnom sklonе a vytvára priamy podklad pre izoláciu mostovky a kotvenie mostného príslušenstva.

Montáž nosníkov sa vykonala dvoma portálovými žeriavmi 40 t s rozchodom 30 m. Žeriavy sa pohybovali po oceľovej priehradovej žeriavovej dráhe uloženej na oceľových podperách PIŽMO. Prvá sa montovala nosná konštrukcia pravého mosta. Rozhodnutím nezhotovil pliére 3L a 9L v čase montáže pravého mosta, bolo umožnené vtesnať pôdorys nosnej konštrukcie pravého mosta do pôdorysu žeriavovej dráhy v celej dĺžke. To podstatne zjednodušilo a urýchliло prácu pri montáži nosníkov. Nosníky sa kompletovovali vedľa príslušného mostného pofa, alebo v jeho bezprostrednej blízkosti a odtiaľ sa dvojhociu portálových žeriavov a ukladali na hrncové ložiská.

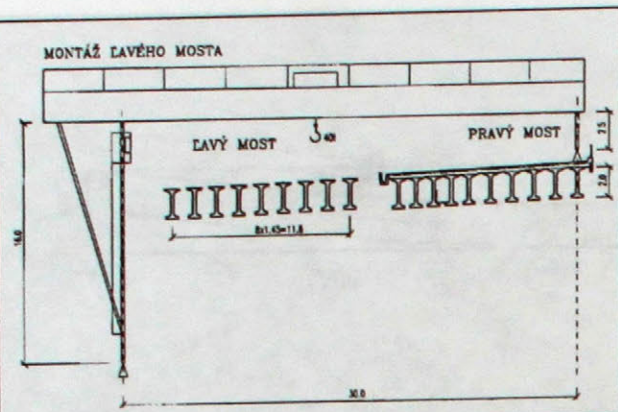
Pri montáži ľavého mosta bola pre žeriavovú dráhu prekážkou už zmontovaná nosná konštrukcia pravého mosta. Ako jediné riešenie, pri použití tej istej techniky ako pri pravom moste, bolo postaviť pravý pás žeriavovej dráhy na už zmontovanú a zmonolitnenú nosnú konštrukciu pravého mosta. Jej šírka však nie je dostatočne

created by changing only the height of the web. This is done by inserting of horizontal formwork elements into the vertical steel form. Depending on transport facilities and conditions it is possible to produce beams divided into three parts that are joined together by prestressing on site. The production of complete beams, taking into account the transportation and lifting possibilities in Slovakia, is reasonable only up to 30 m of length. Separate parts of beam are placed on plates, that are rigid but allowing to move, then are straightened, prestressing strands are installed and the faces of gaps are painted with epoxide glue. By stressing the first three tendons the faces are pressed, excessive glue is pushed out of gap and left to harden. Then follows the stressing of the rest of tendons followed together with their grouting by cement grout. The prestressing can be introduced only after concrete reaches the strength 40 MPa. Prestres-



Obr. 5. Pohľad na montáž nosníkov pravého mosta

Fig. 5. Assembly of beams I-96



Obr. 6. Montáž ľavého mosta

Fig. 6. Construction of the left bridge

veľká na polozenie žeriavovej dráhy na celú dĺžku nosnej konštrukcie vcelku, preto bola zložená z dvoch častí dĺžky 271 a 203 m, s presahom a pôdorysným záležením v okolí 6. poľa. Ďalšou komplikáciou bola výška samotných portálových žeriavov, výhodná pri montáži pravého mosta.

Pri polození obidvoch pásov žeriavovej dráhy do jednej úrovne sa žeriavová mačka dostala do výšky vylučujúcej zdvihanie nosníkov z terénu. Nakoniec sa aj tento problém podarilo odstrániť skrátením pravých nôh portálových žeriavov o 13,5 m.

Záver

Začiatkom roka 1998 boli zmontované nosníky pravého mosta spriahnuté železobetónovou doskou, prebiehalo práce na betonáži odvodňovacieho žlabu pravého mosta, kotvení zvodidiel, kladení ríms, osadzovanie zábradlia a montáži nosníkov ľavej nosnej konštrukcie. Most má byť dokončený a odovzdaný do užívania v auguste 1998.

Pri výstavbe dlhých premostien sa dodávateľ stavebnych prác často potká s krátkou lehotou potrebnou na ich realizáciu. Riešením je rozdeliť premostenie na vhodné technologické celky dané charakterom prekážky. Príkladom je aj opisané premostenie Váhu a elektrárenského kanála, keď na premostenie inundácie Váhu bola navrhnutá technológia pozdižných tyčových prefabrikátorov a na premostenie koryta Váhu a kanála technológia letmej betónaze [2].

Účastníci výstavby:

- investor: Slovenská správa cest, Bratislava,
- projekt: Mosta, s. r. o. Bratislava,
- realizácia: Doprastav, a. s. Bratislava.

LITERATÚRA

- [1] Šefčík, T.: Nové prefabrikáty na diaľničných mostoch. In: Zborník prednášok „Betón na Slovensku v r. 1994–1998“, s. 78–79.
- [2] Šagát, M.–Jančiga, V.: Most cez Váh a elektrárenský kanál pri Beckove. Inžinierske stavby, 44, 1996, č. 7, s. 311–314.

sing tendons consist from 4 strands $\phi L_1 15.5/1,800$ MPa. They are anchored by anchors KK-CH4 with dimension 0.18×0.16 m. The stress in tendons during anchoring should be 1,432 MPa.

Transverse joining the beams and their composite action in carrying the rest of dead load and live load is ensured by composite reinforced concrete slab with minimal thickness 200 mm. The slab is cast into permanent mould, keeping the specified longitudinal and transverse decline and creates the base for deck insulation and installing of bridge accessories.

Assembly of beams has been done by two gantry cranes each with capacity of 40 tons and span of 30 m. Cranes were travelling on steel truss crane runway, supported by steel members PIZMO. At first the structural system of right bridge was built. Because during the construction of the right bridge the piers 3L and 9L were not built the floor plan of structural system of right bridge could lie inside of floor plan of gantry crane runway, which increased the speed of beams assembly. Beams were completed close to the particular bridge span, lifted by cranes and fitted on bearings.

Finished structure of right bridge was a barrier for crane runway during construction of the left bridge. If the same construction technology should have been kept, it was necessary to place the right line of crane runway on already constructed structure of right bridge. Its width, however, is not sufficient, therefore it consists from two parts with lengths 271 and 203 with floor plane change in direction in 6th span. Another problem arose from height of gantry crane. After putting both lines of crane runway on the same level the lifting device was not able to reach the beams on the ground. This problem was solved by shortening the right crane feet of 13.5 m.

Resumé

At the beginning of 1998 beams of right bridge were assembled and composite reinforced concrete slab was cast. In progress were also casting the leads of right bridge, installing the bridge accessories, and assembly of beams of the left bridge. The bridge should be finished by August 1998.

A contractor often has very limited time for construction of long bridges. This can be solved by dividing the structure into suitable technological sections, determined for example by type of crossed object. Described crossing the Váh river and power plant channel is also an example; the bridge crossing the inundation area is made from precast concrete beams and for bridge across the Váh river and power plant channel the technology of free cantilevering has been accepted.

Organizations involved in project:

- client: Slovenská správa cest Bratislava,
- design: Mosta, s. r. o Bratislava,
- contractor: Doprastav, a. s. Bratislava.

Most Pustý hrad vo Zvolene

Bridge Pustý hrad in Zvolen

Miroslav MAŤAŠČÍK – Ján ŠOLTÝS – Anna PETRÍKOVÁ

Komunikácia I/50 patrí k vybraným cestným fahom na Slovensku a je zaradená do medzinárodnej siete (E-571). Jej prieťah mestom Zvolen predstavoval jednu z najväčších dopravných prekážok. Most Pustý hrad je súčasťou novovybudovaného prieťahu mestom Zvolen, ktorý tvorí štvorpruhová rýchlosťná komunikácia. V roku 1996 bol dobudovaný polovičný profil tejto komunikácie (2 pruhy). Dominantným objektom tohto prieťahu je práve opisovaný most Pustý hrad.

Koncepcia mosta

Názory na koncepciu mosta prešli zaujímavým vývojom. Objekt premostuje rieku Hron, sústavu koľají pri železničnej stanici Zvolen, miestnu komunikáciu, rieku Slatinu a lávku ponad rieku Slatinu. Most zároveň umožňuje viesť trasu v úzkom koridore medzi riekou Slatinu a strmým svahom vrchu Pustý hrad. Náročné je najmä jeho križenie s veľmi frekventovanou železničnou traťou, ktorá musela byť počas celej výstavby mosta v prevádzke. Hlavne táto prekážka spôsobila, že v prvej etape projektových prác projektant navrhol nosnú konštrukciu z prefabrikovaných priečne delených prvkov (segmentov), ktoré sa mali montovať pomocou montážneho mosta „zhora“.

Toto, na prvý pohľad logické riešenie, bolo v ďalšom štádiu projektových prác podrobenej nasledujúcej oponentúre.

Komunikácia je zhodou okolností vedená tak, že most okrem už uvedených prekážok premostuje aj stavebný dvor firmy Doprastav. Na tejto ploche bola už v tom čase vybudovaná betónárka a hala na ohýbanie betónarskej výstuže. Aj keď v čase projektových prác nebola ešte známa firma, ktorá bude stavbu realizovať, existujúce stavebné kapacity priamo pod mostom projektanta inšpirovali k zmene koncepcie výstavby mosta. Preto bola nosná konštrukcia definitívne navrhnutá z monolitického dodatočne predpätého betónu. Stiesnené priestorové pomery nad železničnou traťou neumožnili použiť niektorú progresívnejšiu technológiu výstavby monolitických mostov, napr. výsuvnú skruž. Most bol vybudovaný na podpernej skruži PEINER. Napriek použitiu tejto, dnes už nie najmodernejšej technológie, výsledne ekonomicke parametre monolitického variantu zásluhou už spomínaných skutočností boli priažnivejšie, ako boli ekonomicke parametre pôvodného prefabrikovaného variantu.

Vývojom názorov prešiel aj úsek trasy pod kopcom Pustý hrad. V prvej etape projektových prác viedla komunikácia v tomto úseku na systéme oporných a zárubných múrov. Toto riešenie si však vyžadovalo značný objem zemných prác a veľmi nešetrný zásad do svahu kopca Pustý hrad. Preto bola koncepcia návrhu trasy aj konštrukčného riešenia mosta prehodnotená a výsledné riešenie je nasledujúce: Niveleta v tomto úseku je vede-

The road I/50 is one of the major routes, part of the selected road network in Slovakia, included into the International road network (E-571). The road section passing through the Zvolen city causes serious traffic problems due to the adverse combination of both urban and transit traffic. The bridge that will be described briefly further is part of the future four-lane road section to be built bypassing the city Zvolen. In the first construction stage, which is being carried out at present, it is proposed to open to traffic only a half of the road profile – the right bridge.

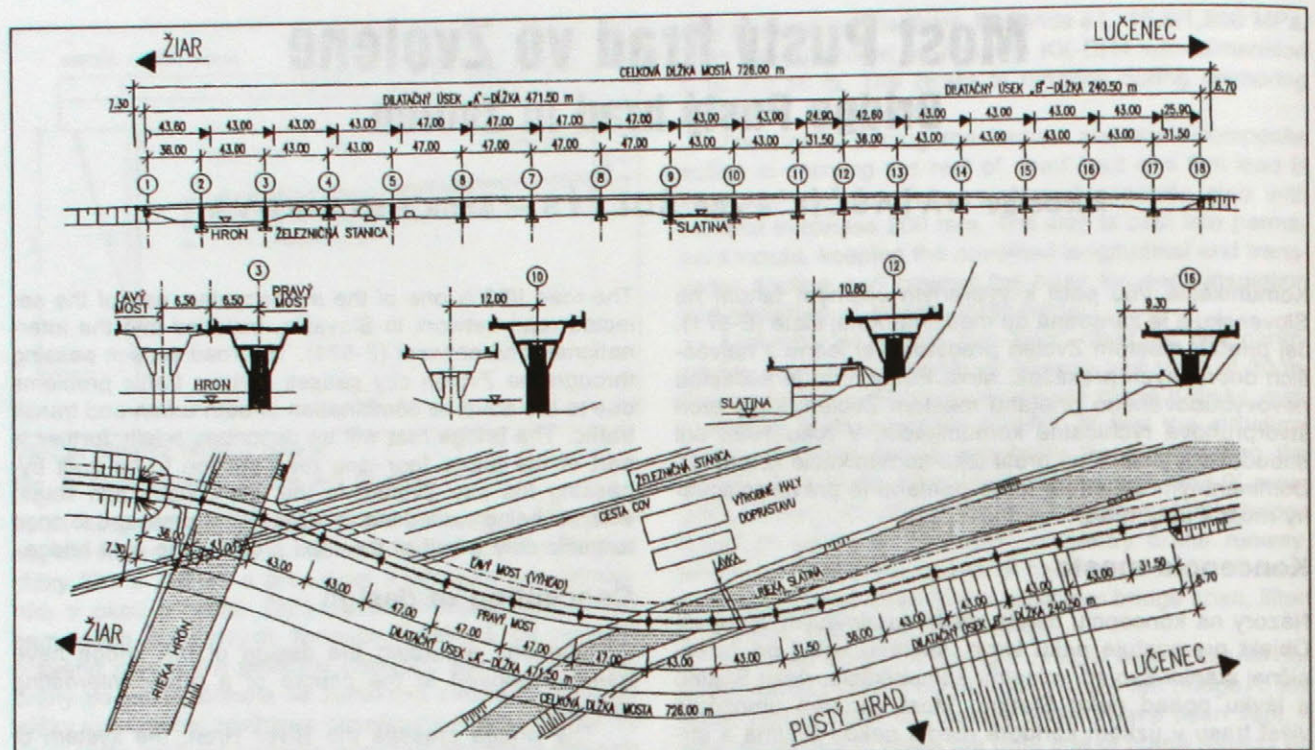
Conception of design

Conceptions regarding the design of the bridge have been developed in the course of a rather interesting process.

The bridge crosses the River Hron, the system of railway lines near Zvolen railway station, the Slatina river and a foot bridge over it. The bridge enables running the route within a narrow corridor between the River Slatina and the steep slope of the hill „Pustý hrad“. Crossing a busy railway line which should be in operation throughout the construction period, proved to be the major very difficult precondition in stage of bridge design. Due to this obstacle the bridge designer at the beginning of desing works decided to construct the bridge deck as a system of precast, transversally separated elements – segments, which that will be erected by means of launching girder from „above“. Such, at the first sight reasonable solution, was in the next design stage subject to the following discussion.

The Zvolen by-pass alignment has been, by a coincidence, designed in a such way that the bridge crosses, apart from the above mentioned obstacles, also the building yard of Doprastav, one of the biggest civil engineering company in Slovakia. A new concrete mixing plant as well as a production hall for shaping/bending of reinforcing steel bars had been built up in the yard before the desing works the contractor of the bridge was not known, the existing equipment and facilities, situated directly under the future structure, inspired the designer to modify conception of the bridge superstructure design. Taking into account all together, the superstructure was designed as cast-in-place, post tensioned, prestressed, concrete structure. Limited space above the railway track did not allow to use more progressive technologies such as a mobile false work or incremental launching. The bridge has been built on the false work of PEINER type. Despite of using it, from the contemporary point of view not very modern and sophisticated technology, the resulting economic parameters, owing to already mentioned facts, are more favourable than economic parameters of the original proposal i. e. precast segmental structure.

Various conceptions concerning the section under the „Pustý hrad“ hill were considered in the design stage. At first, the road in this section was assumed to be supported by the system of retaining walls. Such proposal, ho-



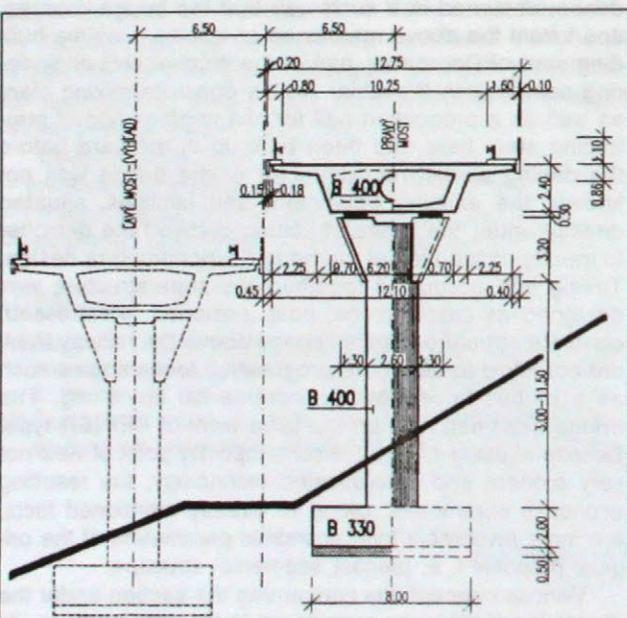
Obr. 1. Prehľadná schéma mosta

Fig. 1. Longitudinal section of the bridge

ná v dvoch úrovniach – samostatne pre pravý a ľavý most. V úseku, kde je koridor medzi riekou Slatina a svahom kopca Pustý hrad najúžší, je ľavý most podsu-nutý pod mostovkovú konzolu pravého mosta. Týmto riešením sa vedenie trasy oveľa lepšie prispôsobilo konfigurácii terénu a vedenie trasy na mostoch priveľmi ne-naruša okolitú krajinnú scenériu. Dvojúrovňové riešenie mostov okrem toho optimalizovalo spotrebu materiálov aj objem zemných prác, takže si nevyžiadalo zvýšenie finan-čných nákladov oproti pôvodnému riešeniu (oporné múry).

Základné technické parametre mosta:

– dĺžka mosta 726 m,



Obr. 2. Priečny rez

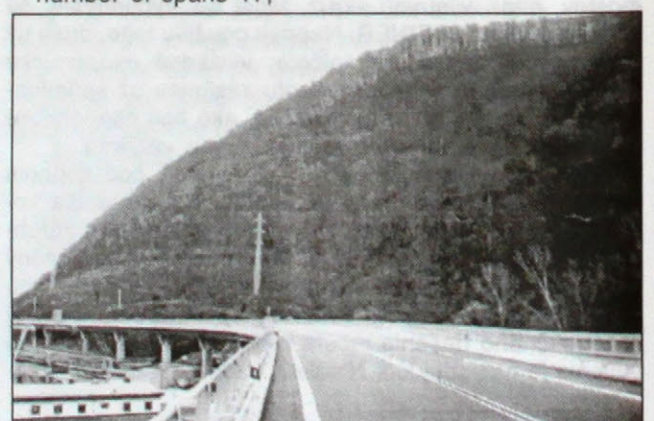
Fig. 2. Cross section

ever, required extensive earthworks and an considerable impact into the slope of the „Pustý hrad“ hill. Therefore the proposal had to be revised, and the following technical measures to be adopted: Different alignment of the left and right bridge. In the section of the narrowest corridor between the river Slatina and the slope of the hill the grade line as well as the centre line of the left bridge would be lowered and situated under the right bridge deck be lowered and situated under the right bridge deck slab cantilever. By this technical solution the bridge meets much better the requirements resulting from an actual terrain configuration and protection of beautiful natural environment surrounding the site. Moreover, the two-level design of the bridge optimizes the quantities of structural materials as well as those of earthworks. Besides that, such solution has not required higher costs in comparison to the original design – the system of retaining walls.

The result of this conceptual design is the bridge, which basic parameters/data will be described further.

Principal parameters of the bridge:

- length of the bridge 726 m,
- number of spans 17,



Obr. 3. Pohľad na most – smer Pustý hrad

Fig. 3. View at the bridge – direction Pustý hrad

- počet polí 17,
- dĺžka polí 31,5 až 47 m,
- šírka mosta 12,75 m,
- výška mosta nad terénom 4 až 13 m.

Spodná stavba

Podpery mosta sú v dolnej časti stípky a v hornej časti sú to stenové prvky vložené do stípa. Tento tvar podpier umožnil kolmé podopretie nosnej konštrukcie napriek tomu, že kríženie mosta so všetkými prekážkami je šikme s rôznym uhlom kríženia.

Nosná konštrukcia

Nosnú konštrukciu mosta tvorí spojity nosník jednokomo-rového priečneho rezu. Je rozdelená na dva dilatačné celky dĺžky 471,5 m a 240,5 m. Nosná konštrukcia bola vybudovaná po poliach od opory 1 k podpore 12 a sú-časne od podpory 12 k opore 18. Ložiská sú hrncové a počas výstavby mosta boli niektoré posuvné ložiská za-blokované, čím sa zmenili na neposuvné.

V pozdĺžnom smere je konštrukcia navrhnutá ako plne predpätá. Predpínacie jednotky tvoria káble z lán L_s 15,5/1 800 MPa. 70 % kábov je stykovaných pomocou káblových spojok v pracovnej škáre. Asi 30 % kábov je vedených od priečnika po priečnik a v pracovnej škáre nie sú stykované. Tieto káble boli vytvorené z 9 lán ϕ 15,5 z toho dôvodu, že ich bolo treba nasúvať v úseku od pracovnej škáry po priečnik do už zabetónovaných prázdných káblových kanálov. Menší počet lán umožňoval pohodlnejšie a spoľahlivejšie nasunutie lán do zabetónovaných kanálov.

Spotreba materiálov: pilóty 143 m³, štetovnice typu Larssen 376 t, betón 11 028 m³, betonárská výstuž 1 253 t, predpínacia výstuž 321 t.

Vzhľadom na zlé skúsenosti s kvalitou kotviacich kuželíkov, boli obavy z možnosti uvoľnenia niektorých lán v spojkách. Tieto náhradné káble by pokrývali iba kladné medzipodporové ohybové momenty. Záporné nadpodporové momenty by mali byť (v prípade spomínaného úniku lán) pokryté 10 predpínacími tyčami, ktoré by sa nasúvali do otvorov vyniechaných v priečniku (v úrovni pod horou mostovkovou doskou) a zakotvili by sa do reber vzdialenos 6,5 m od priečnika po jeho oboch stranach.

V priečnom smere je konštrukcia predpnutá iba v úseku priečnikov pomocou predpínacích tyčí CPS ϕ 32.

Záver

Výstavba mosta si nevynútila žiadne zásadné zmeny oproti projektu, takže práce na moste prebehli plynule (jedna etapa 21 dní).

Stavbu financovala Európska banka pre obnovu a rozvoj a tak bola pod prísnym dozorom expertov tejto inštitúcie. Fakt, že z ich strany neboli vznesené žiadne zásadné pripomienky k realizácii objektu je dokladom, že definitívne zvolená koncepcia mosta bola správna a projektová dokumentácia mala úroveň dosahovanú v iných vyspelých európskych krajinách.

Účastníci výstavby:

- obstarávateľ: Slovenská správa cest Bratislava,
- projektant: Dopravoprojekt, a. s. Bratislava,
- realizátor: Doprastav, a. s. Bratislava, závod Zvolen

LITERATÚRA

- [1] Maťaščík, M.–Šoltýs, J.–Petriková, A.: Most Pustý hrad vo Zvolene. Inžinierske stavby, 44, 1996, č. 7, s. 315–318.



Obr. 4. Pohľad na most – smer Hron

Fig. 4. View at the bridge – direction Hron river

- length of spans 31.5–47 m,
- width of the bridge 12.75 m,
- height of the bridge above ground level 4–13 m.

Substructure

The piers of the bridge are of hammerhead type formed of circular columns and upper parts made of wall elements embedded into the column. Such shape of a pier enables perpendicular supporting of the superstructure despite different angles crossing the obstacles.

Superstructure

The bridge superstructure represents a continuous single-cell box beam. It consists of two expansion units/parts, the lengths of which are 471.5 m and 240.5 m respectively. It is assumed that entire beam will be constructed gradually span by span from the abutment No. 1 to the pier No. 12 and at the same time from the pier No. 12 to the abutment No. 18.

Movable and fixed bridge neopot bearings have been designed to support the superstructure. In the course of construction, however, some of movable bearings will be temporarily blocked thus acting as the fixed ones.

70 % of prestressing cables will be coupled in working joints between individual working stages, while 30 % will pass from one cross beam to the next one.

Structural materials: piles 143 m³, sheet pile walls Larssen 376 t, concrete 11,028 m³, steel reinforcement 1,253 t, prestressing steel 321 t.

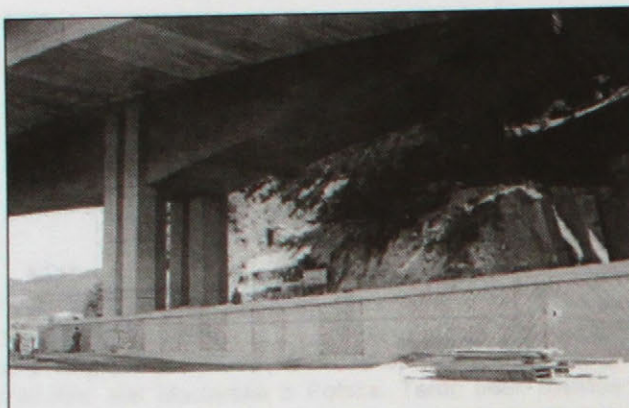
Conclusion

At present, the construction works on the right bridge are nearly completed. The construction of the bridge has not required any substantial variations and modifications so far. The works are carried out in accordance with the approved schedule, smoothly with the average speed of 1 working stage in 21 days.

The project is partly financed by the European Bank for Reconstruction and Development. So it is under thorough supervision of the experts from this financial institution. The fact, that up to now they have had no objections to the way of construction, can also be taken as an evidence of the right and sound design. It means that final alternative of bridge design was chosen properly and design documentation has a level which is usual in other developed countries.

Participants:

- client: Slovenská správa cest Bratislava,
- designer/consultant: Dopravoprojekt, a. s. Bratislava,
- contractor: Doprastav, a. s. Bratislava.



Obr. 3. Základový pás spojený so zárubným múrom

Fig. 3. Foundation stripe connected to revetment wall
 – väčšia práclosť pri ich osadzovaní (podľa názoru zhodnotiteľa objektu),
 – nie optimálne statické pôsobenie (v porovnaní so systémom B).

Vzhľadom na uvedené, pri návrhu predpäťia mosta cez Súčanku sa projektant rozhodol použiť systém, ktorý zlzuje prednosti systému B a systému C. Všetky káble sú vedené v priereze a sú použité aj parabolické staticky optimálne káble vedené v trámoch. Sú však urobené konštrukčné opatrenia (zabudované kotevné dosky a káblové kanály v priečnikoch a deviátore v medzipodporových prierezoch), ktoré umožnia v prípade potreby (únik predpäťia počas výstavby, neprimerané dotvarovanie, potreba zvýšenej zafažiteľnosti mosta) dodatočne pridať voľné káble a zvýšiť tým únosnosť mosta.

Tento systém návrhu kálov považujeme pri mostoch podobných parametrov za optimálny. Jediným nedostatom je menšie realizačné „pohodlie“ vzhľadom na káble vedené v trámoch, ale táto krátkodobá nevýhoda je bohatou vyváženou ostatnými uvedenými prednosťami.

Na moste cez Súčanku bolo predpätie použité aj v konštrukčnom prvku, kde sa bežne nepoužíva, a sice v základovej doske. Už spomínané extrémne namáhanie základovej dosky od nesymetrického vahadla rámovej podpory 11 a snaha o „plytký“ základ minimálnou konštrukčnou výškou viedli k tomu, že základová doska bola navrhnutá ako predpäťa. Ako predpínacie jednotky sa použili káble 13 φ Ls 15,5/1 800 MPa.

Záver

Most cez Súčanku je v súčasnosti už v prevádzke. Jednotlivé obľúky dokumentujú, že vhodne zapadá do nádhernej prírodnej scenérie nad obcou Skalka. Veríme, že nielen svojím vzhľadom, ale aj bezproblémovou prevádzkou potvrdí správnosť projektových predpokladov.

Účastníci výstavby:

- investor: Slovenská správa ciest Bratislava,
- projektant: Dopravoprojekt, a. s. Bratislava,
- realizátor: Doprastav, a. s. Bratislava, OZ Mlynské nivy.

LITERATÚRA

- [1] Maťaščík, M.–Táborská, K.: Premostenie rieky Súčanka pri obci Skalka. Inžinierske stavby, 44, 1996, č. 7, s. 296–300.



Obr. 4. Podpora „čakajúca“ na malý vozík

Fig. 4. Support expecting travelling formwork

external cables are nowadays often used, their automatic application is not always justified. The system has following weaknesses:

- the replaceability of a limited number of cables makes this advantage a relative one,
- higher price of external cables,
- vulnerability of external cables (possibility of their damage),
- higher labour requirements for their fixation (in the contractor's opinion),
- non-optimal static effects (compared to the B system).

Due to the above mentioned facts, the designer has decided to apply a system sharing the advantages of systems B and C. All the cables are internal, polygonal cables optimising the statics are carried in the webs. There have been taken appropriate measures, such as built in anchoring plates and cables ducts in cross beams and deviators between the supports, which in case of necessity (loss of prestress during construction, inappropriate creeping, higher load to the bridge) would allow to add external cables, increasing thus the bridge bearing capacity.

This system of tendon arrangement is considered to be optimal at bridges with similar parameters. The only drawback is less „comfort“ during construction due to cables placed in webs. This short-term disadvantage, however, is well balanced by other already mentioned advantages.

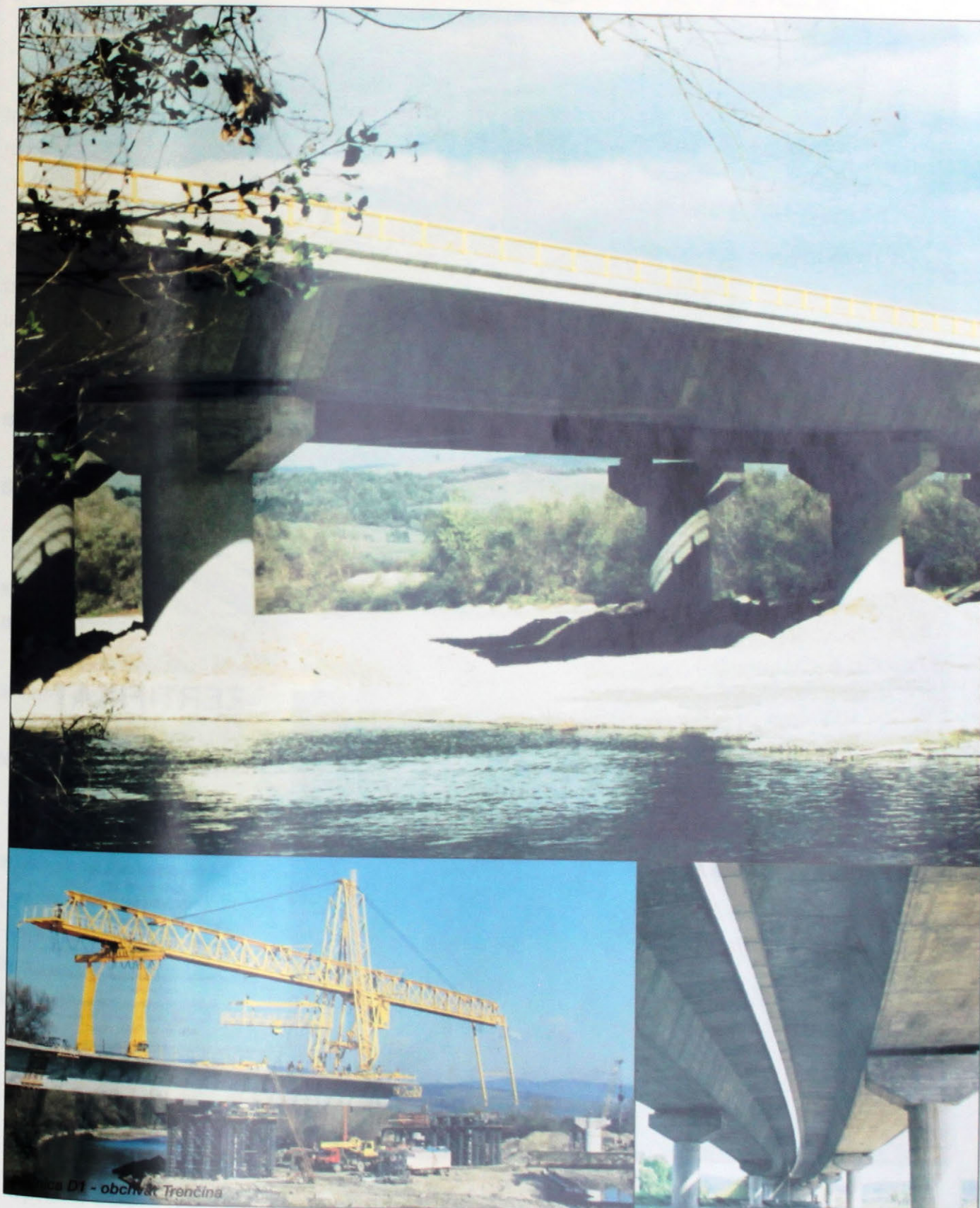
At the bridge over Súčanka, prestress was applied also in the foundation slab. The already mentioned extreme stress to the subbase from the asymmetric cantilever and an attempt on „shallow“ foundations with a structural height as small as possible, have led to a prestressed foundation slab. Cables of 13 strands φ Ls 15.5/1,800 MPa were used as prestressing units.

Conclusions

The Súčanka bridge has recently been put in operation. The photographs attached are an illustration of how well it harmonises with the beautiful landscape over Skalka. We hope the bridge would confirm the correctness of design not only by its outlook, but mainly by its smooth operation.

Participating organisations:

- investor: Slovenská správa ciest Bratislava,
- design: Dopravoprojekt, a. s. Bratislava,
- contractor: Doprastav, a. s. Bratislava, OZ Mlynské nivy.





Doprastav, a. s.[®]

Drieňová 27, SK-826 56 Bratislava



TRADÍCIA • KVALITA • PROFESIONALITA
Your Contractor in Civil Engineering



INŽINIERSKE
AKCIOVÁ SPOLOČNOSŤ
ISI Košice
STAVBY
KOŠICE

Inžinierske stavby, a. s. Košice

has a firm and permanent place
on the construction work market.

The main part of the Company's
production programme is made
up of the following types of
construction work:

- bridges, roads, airport runways, tramway tracks
- gas pipelines of all types, including wide-diameter welded pipes
- pipeline compressor plants
- urban hot-water heating networks
- water mains, treatment plants and cisterns
- hydromelioration (irrigation) projects, watercourse training, dams and levees
- sewerage systems, waste water purification plants of all types
- municipal solid refuse tips
- industrial constructions



Kontakt:

Inžinierske stavby, a. s. Košice
Správa spoločnosti – marketing
Priemyselná 7, 042 45 Košice

Tel.: +421/95/633 94 55, 633 48 11-15
Fax: +421/95/633 78 31, 633 01 47

S e n e c

NÁŠ VÝROBNÝ PROGRAM

ZARIADENIA PRE BETONÁRKY

- silá a zásobníky, dopravníky, podporenné konštrukcie, plošiny a rebríky

SPECIÁLNE FORMY NA BETÓNOVÉ PRVKY

- formy pre mostové nosníky, TT, T
- dráhy na výrobu stropných dosiek
- formy garáží, kobeck transformátorov
- vertikálne batérie
- bunkové formy na výrobu segmentov pre mosty

UNIVERZÁLNE DEBNIACE SYSTÉMY TYPU

- MTS, US - kruhové debnenie na výstavbu čističiek odpadových vôd

ZARIADENIE PRE CEMENTÁRNE

- potrubia rozličného tvaru, dopravníky, triedacie stroje, cyklóny a filtre

ZARIADENIA PRE LETMÚ BETONÁŽ MOSTOV

- betónovacie vozíky, formy pre segmentové technológie výstavby mostov
- ocelové pomocné konštrukcie

KOTEVNÝ MATERIÁL

- kotevné objímky, čefuste, skrutky

NADROZMERNÉ OCELOVÉ KONŠTRUKCIE Z PROFILOVANEJ OCELE A PLECHU

- akosti 11 373 STN-EN 10027-1, S 235 JRG1
11 523 STN-EN 10027-1, S 235 JO

PROGRAM OF OUR PRODUCTION

EQUIPMENTS FOR CONCRETE MIXING PLANTS

- storage bins, transporters, supporting constructions, platforms, ladders

SPECIAL FORMS FOR CONCRETE ELEMENTS

- forms for TT, T bridge beams
- form for garages, form for electric transformer cells
- cells for segmental precast bridges

UNIVERZAL FORMWORK SYSTEMS

- MTS, US - circular formworks for sewage treatment plants

EQUIPMENT FOR CEMENT FACTORIES

- pipelines of various form, transporters, screening machines, cyclon separators and filters

EQUIPMENTS FOR BRIDGES BUILT WITH FREE CANTILEVER METHOD

- concreting carriages, universal cell forms, steel service structures

ANCHORING MATERIAL

- anchorage barrels, wedges, bolts

OVER AVERAGE STEEL STRUCTURES FROM ROLLED PROFILES AND SHEETS

- quality of 11 373 STN-EN 10027-1, S 235 JRG1
11 523 STN-EN 10027-1, S 235 JO



Segmentové mosty na Slovensku Segment bridges in Slovakia

Ladislav BAČA

Vedenie trasy diaľnice D1 v úseku Skala–Nemšová v km 2,3195 prekonáva prírodnú prekážku – rieku Váh mostným objektom Most cez rieku Váh. Objekt je navrhnutý a realizovaný technológiou letnej montáže. Ide o technológiu, ktorá sa s úspechom vyskúšala už na realizovaných úsekoch diaľnice, resp. mostných estakádach v rokoch 1990 až 1994. Dosiahnuté parametre výstavby, rýchlosť výstavby, presnosť smerového a výškového vedenia nosnej konštrukcie umožnili využiť napr. vyrovnavací betón mostovky, rektifikáčné „mokré“ škáry a pod. Problematická pohľadová nejednotnosť sa uspokojovala vydelením vhodnými receptúrami betónu, návrhom uzatváracích náterov s prímesou pigmentov, s úspechom sa odskúšali a dlhodobo experimentálne overili nové technológie predpínania káblov jednotlivovo a pod.

Zmenené podmienky na trhu mostných technológií v začiatku 90. rokov veľmi rýchlo viedli k nutnosti zaistiť konkurenčnosť segmentových mostných sústav najmä zreálnením ich ceny, s poukázaním na ich kvalitu a celkovú spôsobilosť.

Most cez rieku Váh v km 2,3195

Navrhnutý je ako dva súbežné identické mostné objekty, ktoré po statickej stránke predstavujú 10-poľový spojity nosník s rozpätím polí (28,4 + 43,2 + 49,8 + 4 x 57,4 + 52 + 49,8 + 32,8) m, s celkovou dĺžkou mosta 500,82 m (obr. 1). Most je v smerovom oblúku s polomerom 2 000 m v konštantnom pozdižnom sklonе 0,5 % a v jednom priečnom sklonе 2 %. Rozdelenie jednotlivých polí je navrhnuté tak, aby rešpektovalo tok rieky Váh, ako aj podmienky technológie výstavby – postupom vpred.

Spodná stavba – vnútorné podpery sú navrhnuté ako bodové, kruhové piliere ø 3 000 mm s rozširovanou priečou, umožňujúcou uloženie nosnej konštrukcie prostredníctvom dvojice ložísk HKL nosnosť do 13 000 kN na spodnú stavbu. Založenie spodnej stavby je v časti inundačie navrhnuté ako plošné zakladanie v otvorených stavebných jamách s obvodovými štetovnicovými stenami dĺžky 12,5 až 14 m. Pilieri sú situované v toku rieky Váh a založené prostredníctvom VP pilót ø 1,24 m dĺžky 12 m v počte 12 ks/základ. Ochrana dierok pilierov proti abrazívemu účinku vodného toku, pôvodne navrhnutá kamenným obkladom, bola zabezpečená kryštalinizačným viacnásobným náterom. Tento sa aplikoval po výškovú úroveň Q₁₀₀. Aplikáciou náteru sa znížili stavebné náklady a zväčšila prietocná plocha v profile asi o 8 %. Konzolové vyloženie priečle spodnej stavby a veľkosť zafazenia si vynutilo jej priečne predpnutie, ktoré sa realizovalo tyčovou predpínacou výstužou CPS 32 v celkovom počte 2 x 13 = 26 ks/priečela.

Ing. Ladislav Bača, CSc. – Geoconsult, s. r. o. Bratislava.

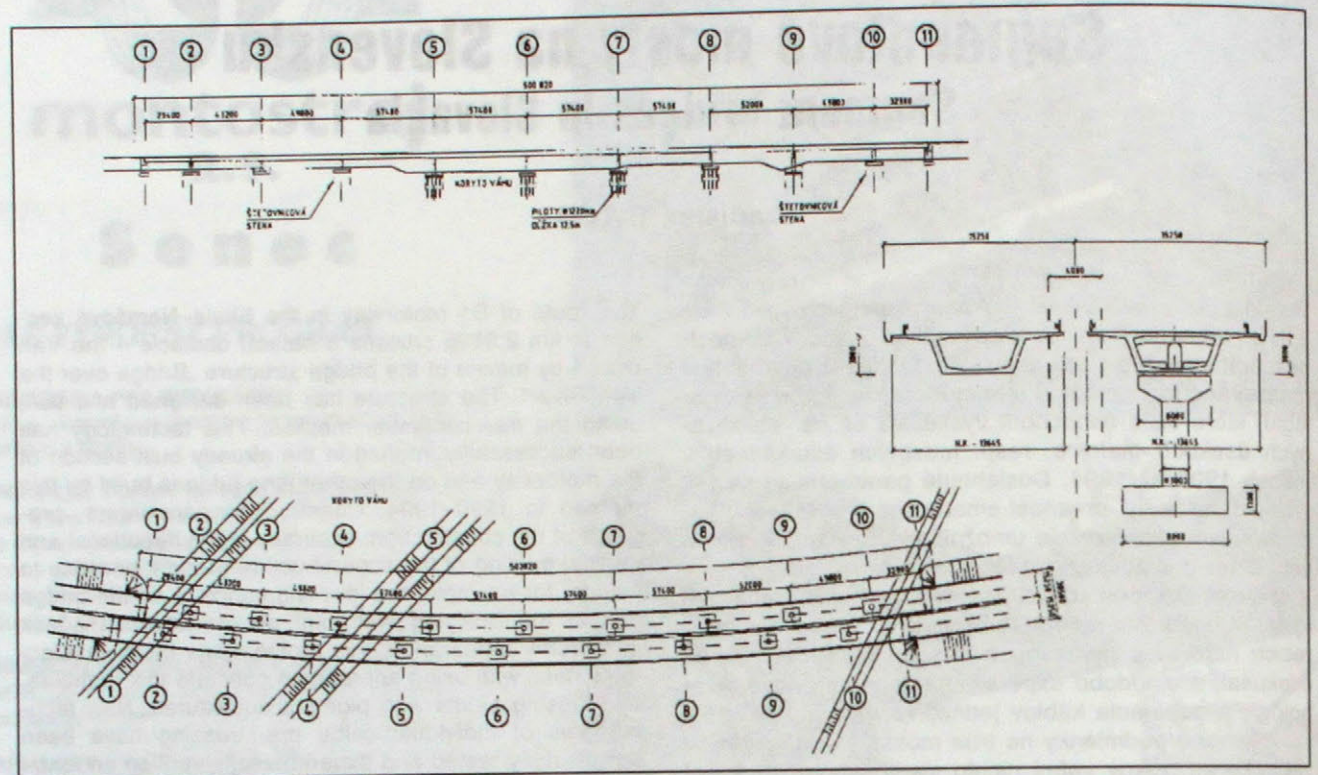
The route of D1 motorway in the Skala–Nemšová section at km 2.3195 crosses a natural obstacle – the Váh river – by means of the bridge structure „Bridge over the Váh River“. The structure has been designed and built using the free-cantilever method. This technology has been successfully verified in the already built section of the motorway and on the other long bridges build by this method in 1990–1994. Construction parameters, progress of the construction, accuracy of the directional and vertical guiding of the superstructure made it possible to exclude, for example, the levelling concrete on the bridge surface the rectifying „wet“ joint, etc. As regards the lack of uniform appearance, this problem has been satisfactorily dealt with using appropriate concrete mix formulae, and closing paints with pigment admixtures. New technologies of individual cable pre-stressing have been successfully tested and experimentally verified on long-lasting test.

The changes that took place in the bridge technology market in the early nineties rapidly brought about the need to ensure the competitiveness of segment bridge systems, in particular by making their price more realistic and by pointing to their quality and overall reliability.

Bridge over the Váh river at 2.3195 km

Is designed as two parallel identical bridge structures. From the static point of view, they represent a 10-span continuous girder with the spans of (28.4 + 43.2 + 49.8 + 4 x 57.4 + 52 + 49.8 + 32.8), total length of the bridge being 500.82 m. The bridge is built in the directional curve of R = 2,000 m radius, constant longitudinal gradient of 0.5 %, and uniform transversal gradient of 2 %. The division of individual spans has been designed so as to respect the course of the Váh river and the conditions given by construction technology – cantilever construction method by assembling precast segments.

The substructure – internal point supports are designed as circular columns of 3,000 mm diameter with a wider crossbeam making it possible to place the superstructure using a pair of HKL bearings with carrying capacity of up to 13,000 kN on the substructure. The foundation of the substructure in the flood area has been designed as spread foundation in open construction pits with peripheral sheet pile walls of 12.5 to 14 m length. The piers situated in the Váh riverbed are founded using piles of 1.24 m diameter and 12 m length, the total of 12 pcs/foundation. The protection of the pier shaft against abrasive effects of the water flow, originally proposed as stone revetment, has been ensured using multiple crystallising coating. The coating was applied up to the Q 100 level. The application of the coating resulted in the reduction of construction costs and in the increase of the flow area in the profile by approx. 8 %. Because of the cantilevered lining of the substructure crossbeam and the size of the load, it was necessary to carry out its trans-



Obr. 1. Most cez Váh na diaľnici v km 2,3195

Fig. 1. Longitudinal section and plan of the bridge

Nosná konštrukcia – je navrhnutá zo segmentov typ DPS – FI výšky 3 m so šírkou priečneho rezu 13,95 m v úrovni hornej dosky a šírky 6 m v úrovni dolnej dosky, konštantnej výšky 3 m. Vnútorné segmenty – hrúbka trámov je v závislosti od namáhania odstupňovaná, a to 0,38 m a 0,5 m. Podobne aj spodná doska má premennú hrúbkou od 0,2 do 0,35 m.

Vnútorné nadpodperové segmenty, z dôvodu prekročenia hmotnosti viac ako 65 t a pri požiadavke ich dotvárania na stavbu v kompletom vystrojení, sú navrhnuté ako delené v dĺžkach polovice segmentu 1,5 m. Delenie segmentu je v osi úložnej priamky zvislou deliacou rovinou. Vzájomný styk sa realizoval na kontaktnú škáru. Tento systém delenia vnútorných nadpodperových segmentov sa ukázal v čase ako spoľahlivý, bezpečný spôsob tak z hľadiska silového namáhania, ako aj vlastnej montáže priečnikov a vahadla.

Systém nosnej konštrukcie využíva ako predpínacie jednotky všetky druhy predpínacieho vystrojenia – súdržné i nesúdržné káble s vonkajším predpínacím systémom, použitie tyčových predpínacích jednotiek pri postupných montážnych operáciách.

Vedenie dráh voľných káblov využíva systém deviátorov, ktorých tvarová optimalizácia výrazne zjednodušila nároky na početnosť prvkov debnenia deviátorov. V zásade pracujeme len zo 4 základnými tvarmi deviátorov a ich modifikáciami. Súčasťou vybavenia komorového prierezu sú výstužné rebrá, prenášajúce vztlakové sily deviátora do prierezu a využívajú sa ako kotviace miesta pre montážne predpínacie prvky. V každom poli nosnej konštrukcie sú navrhnuté voľné káble v zostave 18 φ Ls 15,5 mm/1 800 MPa v celkovom počte 2 x 4 = 8 káblom, v krajných poliach v počte 2 x 3 = 6 káblom. Káble sú uložené v rúre HDPE φ 125/4,8 mm. Laná sa napínajú

vere pre-stressing, using bar pre-stressing reinforcement CPS 32, the total of $2 \times 13 = 26$ pcs/cross beam.

The superstructure has been designed from DPS-FI type segments of 3 height, with a 13.95 m cross section at the level of the upper slab and 6 m width at the level of the lower slab, and a constant height of 3 m. Internal segments – the thickness of the girders is graded, depending on the load, ranging from 0.38 m to 0.5 m. The lower slab is also of variable thickness, ranging from 0.2 to 0.35 m.

Because the weight of 65 t has been surpassed and because there is a requirement that they be supplied to the construction site as a complete assembly, the pier internal segments have been designed as sectional, at the length of one half of the segment, i. e. 1.5 m. The segments are sectioned along the bearing line by means of a vertical dividing plane. The mutual contact is effected to the contact cold joint. This system of sectioning pier segments over the supports has shown, over time, to be reliable and safe both as regards the stress and the assembly of cross girders and balance beam.

Prestressing units used in the superstructure system include all types of prestressing means – grouted cables in ducts, unbonded external tendons, bars.

A system of deviators is used in guiding the trajectory of unbonded (external) cables. Owing to the optimisation of their shape, it was possible to reduce significantly the requirements concerning the number of parts of deviator forms. Basically, we work only with 4 basic deviator shapes and their modifications. The fittings of the chamber section include the reinforcing ribs which carry the lifting forces of the deviators to the cross section and are used as anchoring sites for prestressing assembly units. In each span of the superstructure, external cables are designed in the configuration of 18 φ Ls 15,5 mm/1,800, the total of $2 \times 4 = 8$ cables, in outer spans $2 \times 3 = 6$ cables. The cables are led through a HDPE tube of 125/4,8 mm diameter. The stressing of the

postupne, po jednotlivých lanách. Doteraz vykonané skúšky napäťosti kábla a zvolený pracovný postup predpínania v in situ preukázal spoľahlivosť postupného predpínania jednotlivých lán v systéme kábla, kde úbytok napäťosti oproti „klasickému“ predpínaniu je max. 11 %. Po predpnutí všetkých lán sa voľný priestor v rúre HDPE vyinjektuje cementovou injektačnou maltou v 2 stupňoch.

Segmentové konštrukcie umožňujú jednoduché a bezporuchové zriadenie príslušenstva mosta. Horný povrch segmentu je rovinný, vystrojený úchytnými a kotevnými prípravkami pre systémové kotvenie bezpečnostného zariadenia, odvodnenia, vedenia inžinierskych sietí. Zriadenie izolačného systému, vzhľadom na rovinnosť a bezpriekovosť horného povrchu segmentu, je jednoduché a bez nárokov na realizáciu komplikovaných detailov.

Segmentová konštrukcia svojím technologickým, stavebným, montážnym postupom umožňuje „vsunúť“ do jej zostavy aj monolitické časti. Tento postup sa pozitívne odskúšal pri zriadení monolitického nadpodporového priečnika estakádneho mosta V1 v Bratislave.

Tento princíp umožňuje kombinovať samostatné monolitické a montované kinematické celky, vytvárať netradičné mostné objekty. Príkladom tohto postupu je objekt na diaľnici D61 Horná Streda–Nové Mesto nad Váhom.

Most cez Biskupický kanál a rieku Váh

Mostný objekt v celkovej dĺžke mosta 794,5 m (obr. 2) tvoria tri samostatné dilatačné celky, kde dilatačný celok

Obr. 2. Most cez Biskupický kanál a Váh – segmentová konštrukcia

Fig. 2. Longitudinal section and plan of the bridge



strands is done gradually, one by one. The tests of cable stress performed to date and the selected procedure of pre-stressing in situ have confirmed the reliability of gradual pre-stressing of individual strands in the cable system, where the loss of stress compared with the „classic“ prestressing is max. 11 %. After all the cables have been pre-stressed, free space in the HDPE tube will be grouted with cement mortar injections in two stages.

The segment structures enable a simple and problem-free mounting of bridge accessories. The upper planar surface of the segment is fitted with gripping and anchoring fixture for the systemic anchoring of safety equipment, drainage, guiding of suppli network. The establishment of an insulation system is simple, given the obstacle free of the upper surface of the segment, and does not require execution of complicated details.

The segment structure makes it possible, thanks to the technological, building and assembling procedures involved, to „insert“ also monolithic parts. This method has been tested with positive results in the monolithic on pier segment and cross beam in the bridge V1 in Bratislava.

This principle makes it possible to combine independent kinematic monolithic elements and assemblies, and to create unconventional bridge structures. One example of such method is the bridge of D61 motorway on the Horná Streda–Nové Mesto nad Váhom.

Bridge over the Biskupice channel and the Váh river

The bridge structure, with overall bridge length of 794.5 m (Fig. 2), consists of three independent dilatation units; dilatation unit No. 1 crossing the Biskupice



Obr. 3

č. 1 premostujúci Biskupický kanál je navrhnutý ako 3-poľový spojité priamopásový nosník budovaný technológiou dvojetapovej letmej betonáže. Dilatačné celky č. 2 a č. 3, navrhnuté ako 6 a 7-poľové spojité sústavy, sú realizované technológiou letmej montáže na vyššie opísaných princípoch. Nosná konštrukcia sa skladá zo segmentov typu DPS-FI, kde geometriu segmentu v pohľadej ploche preberá aj monolitická časť mosta.

Ďalší inovačný proces segmentovej technológie pri komorových prierezoch je v optimalizácii usporiadania voľných kábelov, vo vedení ich dráh, vedení kábelov cez dve polia, upresnení polohy kotiev v miestach nadpodperových segmentov, postupe ich predpínania, ako i v problematike uplatnenia priečneho predpätia segmentov monostrandami.

Zúčastnené organizácie:

- investor: Slovenská správa cest Bratislava,
- realizátor: Doprastav, a. s. Bratislava,
- projektant: Geoconsult, s. r. o. Bratislava.



Obr. 4

channel is designed as a 3-span continuous girder, built in situ using two-stage free cantilever method with the constant height. Dilatation units No. 2 and No. 3 designed as 6- and 7-span continuous systems are executed using the free cantilever method according to the aforesaid principles. The superstructure consist of DPS-FI type precats segments, where the geometry of the segment in the end view is also reflected in the monolithic part of the bridge.

Another innovative solution of segment technology in the chamber cross section is represented by the optimisation of the configuration of external cables, guiding of their trajectory guiding of cables through two spans, precision of the location of anchors in the sites of on piers segments, method of their pre-stressing and transverse pre-stressing of segments with monostrands.

Participating organisations:

- investor: Slovenská správa cest Bratislava,
- contractor: Doprastav, a. s. Bratislava,
- design: Geoconsult, s. r. o. Bratislava.

ČESKÁ SPOLEČNOST PRO BEZVÝKOPOVÉ TECHNOLOGIE

4. KONFERENCE O BEZVÝKOPOVÝCH TECHNOLOGIÍCH

13. a 14. října 1988

LÁZNĚ JESENÍK

Konference bude zaměřena na navrhování, realizaci a vyhodnocování výstavby a rekonstrukci inženýrských sítí bezvýkopovými technologiemi.

Místo konání konference: Kongresový sál, Priessnitzovy lázebné lázně, Jeseník, ČR

Pořadatel: DORG, s.r.o. Česká Ves, Ing. Jiří Jedlička, tel.: 0645/411 203, 401 066, e-mail: dorg@ova.pvt.net.cz

Organizační garant: Kongresové centrum Brno, a.s., Vlasta Valentová, tel.: 05/411 58 657, fax: 05/334 277 e-mail: congressbrno@traveller.cz

Přihlašování: nejpozději do 30. května 1998

Kongresové centrum Brno, a.s.
Vlasta Valentová
Výstaviště 1, POB 22
647 00 Brno

Rekonštrukcia cesty I/18 Košariská–Dubná skala – mostné objekty

Reconstruction of the road I/18 Košariská–Dubná skala – bridge constructions

Edita BÚCIOVÁ – Róbert TURANSKÝ – Daniela PURTZOVÁ – Karol LESÁK

Cesta I/18 je súčasťou medzinárodnej ceste E85. Rekonštruovaný úsek sa nachádza v kaňone Váhu cez chránenú oblasť Malej Fatry – v súbehu rieky a železnice. Intenzívna ťažká doprava spôsobila naklánanie už vojnou poškodených oporných múrov. Vytvorili sa pozdĺžne trhliny na ceste, čo spolu s nepriaznivými smerovými pomery ohrozovalo zjazdnosť celého úseku.

Stavbu investorský zabezpečil CIÚ Banská Bystrica. Kompletnú projektovú dokumentáciu vypracoval Dopravoprojekt, a. s. Bratislava. Realizáciu zabezpečil Doprastav, a. s. Bratislava, OZ Žilina na základe medzinárodnej súťaže na realizáciu stavby.

Stavba bola čiastočne financovaná z pôžičky EBOR v Londýne a realizovala sa v období r. 1994 až 1996 za 27 mesiacov.

Rekonštruovaný úsek v dĺžke 2 046 m, s dvoma mostami, záhrubnými a opornými mûrmi, poloestakádou a preložkami rôznych vedení, sa realizoval vo veľmi striesnených podmienkach bez vylúčenia verejnej dopravy a v ochrannom pásmi železnice.

Z objektov stavby boli najzložitejšie – most nad železnicou a poloestakáda.

Most nad železnicou

Poľoha mosta nad dvojkoľajnou železničnou traťou Žilina–Košice bola situovaná tak, aby nebolo zasiahnutý portál tunela. Dĺžka mosta je 102,6 m s rozpätiami 30–40–30 m, uhol kríženia so železnicou je 46,39° (obr. 1). Most je monolitický, predpätý, založený plošne (krajné opory) aj hibinne (podpery). Vibrobaranené pilóty ϕ 1,23 m majú dĺžku 9 až 11 m. Medziľahlé podpery sú stenové, železobetónové. Krajné gravitačné opory sú založené na násypu. Počas výstavby bola nosná konštrukcia uložená na lisoch s možnosťou dodatočnej eliminácie prípadného sadnutia.

Priečny rez mosta je jednokomôrkový šírky 12,8 m s obojstrannými konzolami premennej dĺžky. Priečny sklon mosta je po dĺžke nivelety premenný – vyriešil sa v nosnej konštrukcii mosta – bez vyravnávacieho betónu (obr. 2).

Most sa vybudoval na podpornom lešení z prvkov PEINER a PIŽMO kolmým premostením obidvoch koľají.

Monolitický most z B 40 je dodatočne predpätý 12-lanovými káblami ϕ Lp 15,5/1 800 MPa predpínačou silou 2,36 MN. Rúry pre káble sú oceľové, bezšvové ϕ 80 x 2.

Ing. Edita Búciová – Dopravoprojekt, a. s. Bratislava; Ing. Róbert Turanský; Ing. Daniela Purtzová; Ing. Karol Lesák – Doprastav, a. s. Bratislava, OZ Žilina.

Road I/18 is a part of European international traffic network E85. Reconstructed section is situated in protected territory Malá Fatra in the contact of river Váh canyon and railway. Heavy traffic caused inclination of retaining walls, which were deteriorated already during the war. There were created longitudinal cracks on the road, what together with unfavorable direction situation endangered practicability of the whole section.

Investor of the construction was CIÚ Banská Bystrica, complete design documentation ensured Dopravoprojekt Bratislava a. s. Realisation was ensured on the base of international competition by Doprastav a. s. enterprise Žilina.

Bridge construction was partly financed from the loan EBOR in London. Construction was realized in 27 months, in the years 1994–1996.

Reconstructed section in the length of 2,046 m with two bridges, retaining walls, half approach bridge and relaying of various lines was realised in very tight conditions without excluding public traffic, in protective zone of railways.

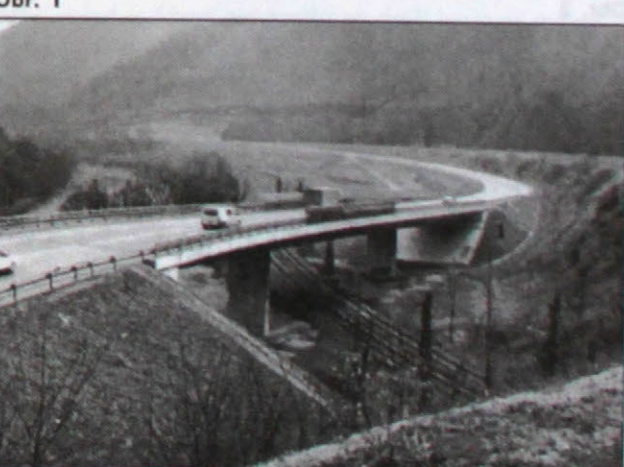
The most complicated constructions were – bridge over railway and half approach bridge.

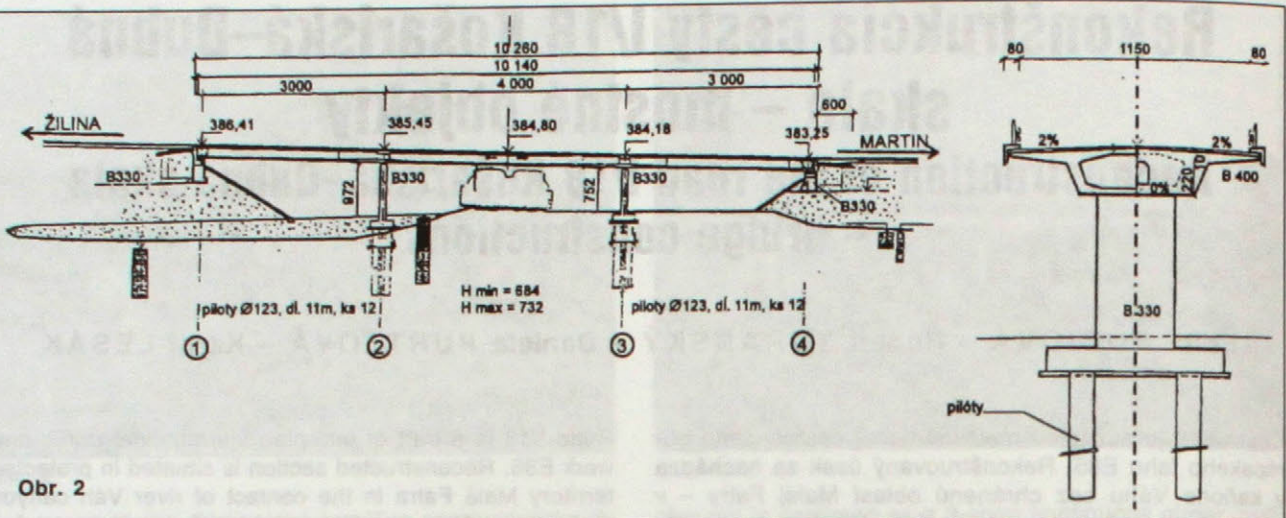
Bridge over railway

Location of the bridge over double-track railway Žilina–Košice was so situated, that the tunnel face should not be interfered.

Length of the bridge is 102.6 m with spans 30–40–30 m crossing angle with railway is 46.39° (Fig. 1). It is a monolithic prestressed bridge, the end supports (abut-

Obr. 1





Obr. 2

Betonárska výstuž 10 425 (V) je doplnená sietovinou KARI.

Výstavba mosta začala v marci 1995 a v novembri 1995 bol celý objekt vrátane príslušenstva a vozovky hotový. Hned po ukončení prác sa na most presmerovala doprava, aby sa mohli ukončiť práce na prífahom cestnom telesu.

Poloestakáda

V tesnom súbehu cesty so železnicou, kde nemohol byt umiestnený oporný mûr, bol navrhnutý 18-poľový poloestakádny most dĺžky 254,7 m (obr. 3). Pôvodne navrhnuté plošné zakladanie mosta pod ochranou mikropilových stien budovaných z vozovky sa kvôli zmene hĺbky zakladania a premávke muselo zmeniť. Spodná stavba sa založila na koreňových mikropilótaoch z GEWI týči s antikoróznom ochranou. Celkovo sa zabudovalo 1 040 m týchto mikropilóptov.

Nosnú konštrukciu tvoria opakovane prosté polia z dodatočne predpätych prefabrikátov KA90 dĺžky 14 m. Krajný železobetónový nosník plného prierezu je na styku s komunikáciou riešený ako záverný mûrik s prechodom doskou. Konštrukcia priečneho rezu má spriahavaciu 0,2 m železobetónovú dosku (obr. 4).

Výstavba objektu začala v marci 1995 a v novembri toho roku bol most spojazdený. Práce boli pri súčasnej premávke mimoriadne náročné.

Obr. 3



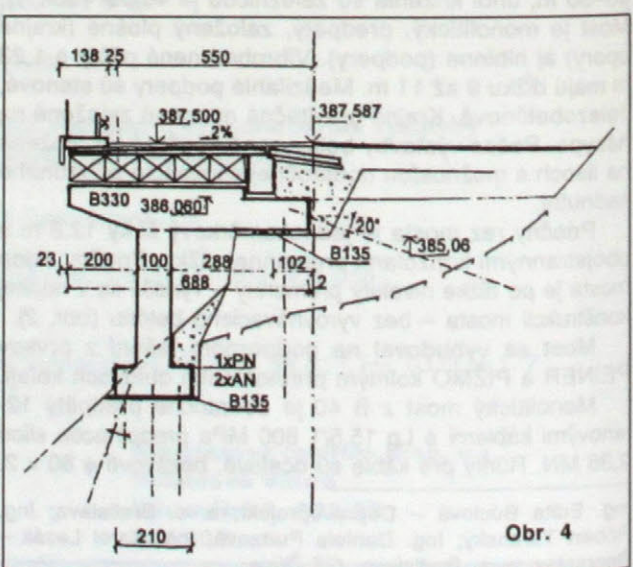
ments) are square founded, intermediate supports have deep foundations. Piles $\phi 1.23$ m with lengths 9 till 11 m were driven in by vibro pile driver. Intermediate supports are reinforced concrete walls. End gravitational supports (abutments) are founded on embankment. Bearing structure was during construction placed on jacks, with possibility additionally eliminate possible subsidence.

One chamber cross section of the bridge is 12.8 m wide with double sided cantilevers with variable length. Cross inclination of the bridge is over the length of formation line variable – and was solved in bearing structure of the bridge – without equalising concrete (Fig. 2).

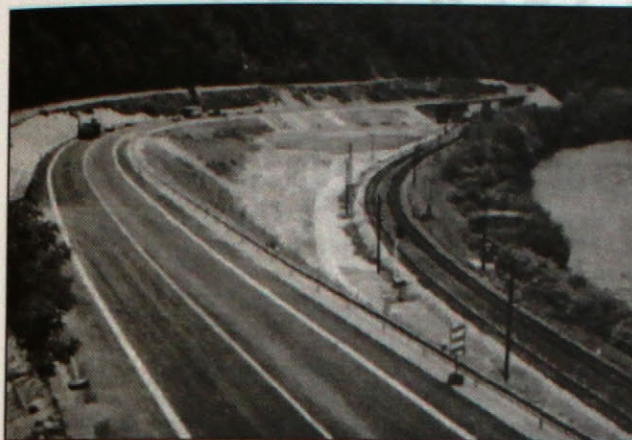
The bridge was built up on supporting scaffolding from elements PEINER and PIŽMO by perpendicular bridging both rails.

Monolithic bridge made from concrete B 40 is post-tensioned with 12-strand tendons $\phi Lp 15.5/1,800$ MPa with prestressing force 2.36 MN. Steel seamless cable conduits are of diameter $\phi 80 \times 2$. Reinforcing steel 10 425 (V) is replenished with netting KARI.

Building up the bridge started in march 1995 and in november 1995 was the whole construction including accessories and roadway, ready. Immediately after finishing the bridge the traffic was redirected over the bridge for enabling to finish works at adjacent road bed.



Obr. 4



Obr. 5

Half approach bridge

In tight contact of the roadway and railway, where there was not possible to place retaining wall, it was designed a half approach bridge of length 254.7 m with 18 fields (Fig. 3). Originally designed square foundation of the bridge under the protection of micropile walls build up from roadway, had to be modified because of foundation depth changes and existing traffic. Subgrade foundation was build on root micropiles from GEWI, bars (rods) with anticorrosive protection. Total there were build in 1,040 m of this micropiles.

Bearing construction create repeated simple fields from posttensioned prestressed precast units KA 90 with length of 14 m. End reinforced concrete beam with full cross section is in the contact with road solved as closing wall with transition slab. Construction of cross section has 0.2 composite reinforced concrete slab (Fig. 4).

Construction of the bridge started in march 1995 and in november of the same year the bridge was functioning. The works during running traffic were extremely demanding.

Construction participants:

- investor: Cestný investorský útvar Banská Bystrica,
- projektant: Dopravoprojekt, a. s. Bratislava,
- zhodnotiteľ: Doprastav, a. s. Bratislava, OZ Žilina.

LITERATÚRA

- [1] Búčiová, E.–Hošek, S.–Bekeč, J.–Lesák, K.–Turanský, R.: Rekonštrukcia cesty I/18 Košariská–Dubná skala. Inžinierske stavby, 43, 1995, č. 9–10, s. 326–330.



IBF
Mezinárodní stavební veletrh

Brno – výstaviště, Česká republika

URBIS

Mezinárodní veletrh technologií, výrobků
a služeb pro rozvoj obcí a měst

21. – 25. dubna 1998

Dva veletrhy a specialita navíc

Ve dnech 21. – 25. dubna tohoto roku se na brněnském výstavišti uskutečnili dvě veletržní akce, které dohromady obsahnou vše, co se dá shrnout pod pojmem „bydlení“ v celém širokém slova smyslu. **Mezinárodní stavební veletrh IBF**, který se konal již pořáti, zahrnuje vše, co souvisí se stavebnictvím. Operativně reaguje na současnou potřebu oživit v České republice bytovou výstavbu, zaostávající dosud za stavem v Evropské unii. Aktuálně je tedy zaměřen na stavební materiály a výrobky, které posouvají celé stavební odvětví vpřed a dávají mu naději na další budoucí rozvoj. Souběžně pořádaný **Mezinárodní veletrh technologií, výrobků a služeb pro rozvoj obcí a měst URBIS** je největším komunálním veletrhem v České republice a stal se již tradičním místem setkávání starostů, primátorů a dalších zástupců státní správy. Oba veletrhy se velmi úzce doplňují, protože právě obecní a státní zakázky tvoří podstatnou část z celkové produkce stavebnictví. Celá stavební problematika, a tedy i téma bydlení, je spojením těchto dvou veletrhů posunuta do mnohem širších dimenzí. Nejde už například jen o samotné byty a domy, ale o podmínky k bydlení, životní podmínky, přeměnu měst a obcí ve skutečná centra poskytující svým obyvatelům uspokojivou kvalitu a způsob života, využívání řady oblastí a aktivit zde probíhajících. Specialitou, která oba veletrhy na brněnském výstavišti doplnila, je stálá výstava rodinných domů **EDEN 3000**, jejíž první etapa byla právě v době konání těchto dvou veletrhů slavnostně otevřena.



Brněnské veletrhy
a výstavy a. s.

Výstaviště 1, 647 00 Brno, Tiskové středisko – Pavilon O
Tel.: 05/4115 2816, fax: 05/4115 3079
Internet: <http://www.bvv.cz>, e-mail: ihrazdi@bvv.cz

Most D 211-00 na diaľnici D1 Hybe-Važec cez Beliansky potok

Bridge D 211-00 on the motorway D1 Hybe-Važec across Beliansky potok

František VYLETELKA – Elena PRISTAČOVÁ – Miroslav MAŤAŠČÍK

Na výstavbe diaľnice D1 Hybe–Važec je v km 7,47100 navrhnutý predpáty most D 211-00, jednokomorového prierezu, prenosujúci údolie Belianskeho potoka.

Základné údaje mosta D 211-00:

- celková dĺžka mosta: 342 m,
- počet polí: 9 ($30,23 + 7 \times 40 + 30,23$ m),
- max. výška piliera: 16,5 m.

Parametre mosta zohľadňujú tvar prenosovanej prekážky a sú prispôsobené technológií použitej pri výstavbe nosnej konštrukcie (obr. 1).

Nosná konštrukcia bola budovaná z dodatočne predpáty betónu na výsuvnej skruži.

Tvar podpierajúcej nosnej konštrukcie bol prispôsobený tejto technológií.

Predpínacie káble sú tvorené 13 lanami. 60 % káblow je stykovaných spojkami v pracovnej škáre, 40 % káblow

On the motorway construction D1 Hybe–Važec is on the kilometer 7.47100 proposed the prestressed bridge D 211-00, with the one-chamber cross section bridging the valley of Beliansky potok.

Basic data of the bridge D 211-00:

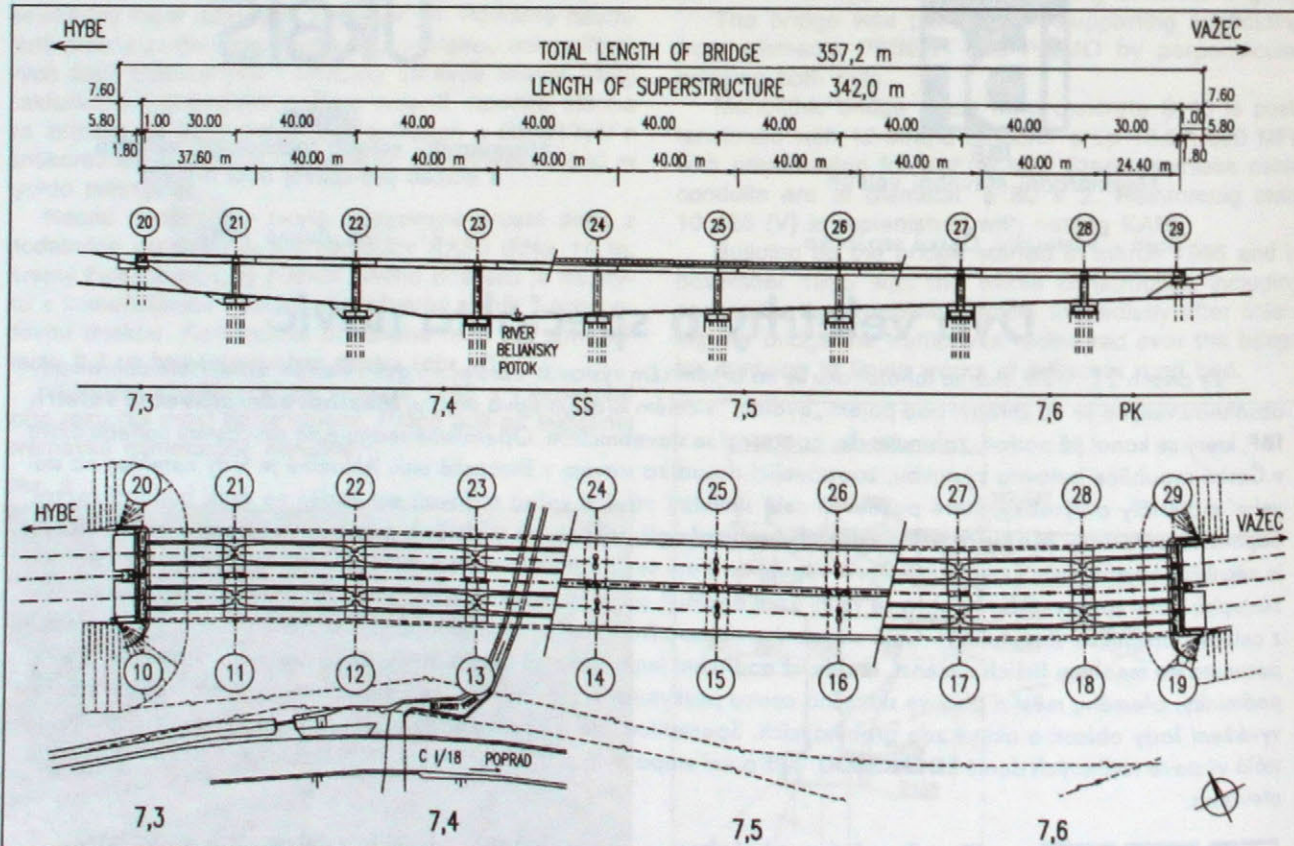
- total length of the bridge: 342 m,
- number of fields: 9 ($30.23 + 7 \times 40 + 30.23$ m),
- maximum height of the pillar: 16.5 m.

Parameters of the bridge take into account the shape of the bridged barrier and are adapted to the technology used at building up bearing construction (Fig. 1).

Bearing construction is made from posttensioned prestressed concrete using sliding centering.

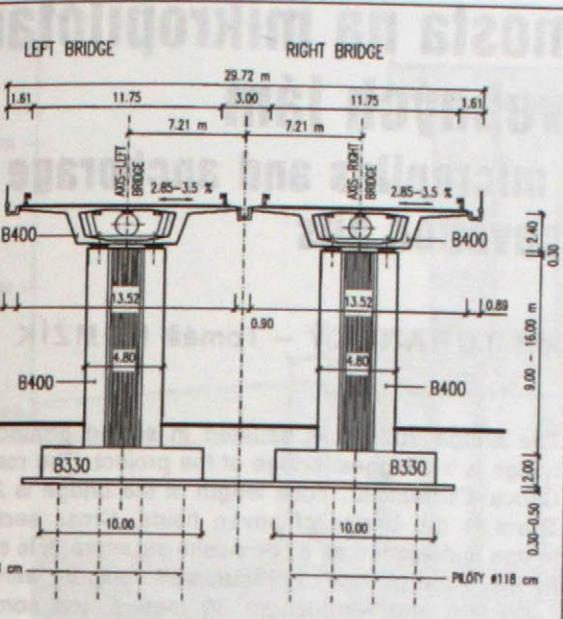
Shape of supports and bearing construction was adapted to this technology.

Prestressing tendons have 13 strands. 60 % of ten-



Obr. 1. Pozdĺžny rez a pôdorys mosta
Fig. 1. Longitudinal section and plan of the bridge

Ing. František Vyletelka; Ing. Elena Pristačová – Hydrostav, a. s. Bratislava, OZ Šafa; Ing. Miroslav Maťaščík – Dopravoprojekt, a. s. Bratislava.



Obr. 2. Priečny rez

Fig. 2. Cross section

prechádza cez pracovnú škáru bez spojkovania a sú ukotvené v priečnikoch.

Existujúce geologické pomery (podmáčané rašelinové podložie do hĺbky 3 m) určili spôsob založenia objektu – plošné základy na veľkopiemerových železobetónových pilôtach priemeru 1 240 mm a vylúčili možnosť realizácie vodorovnej nosnej konštrukcie mosta na pevnej skruži. V štádiu prípravy výstavby bola preto navrhnutá a vyrobenná podporná posuvná skruž U-40, ktorá okrem základných podpier, umiestnených na základných pätkách piliera, nevyžaduje ďalšie medzipodpery.

Posuvnú skruž tvoria dva priečradové priestorové nosníky (obr. 3) obdĺžnikového prierezu, rozmerov $2,5 \times 3,5$ m, dĺžky 77,7 m, ktoré sú od seba osovo vzdialenosť 8 m.

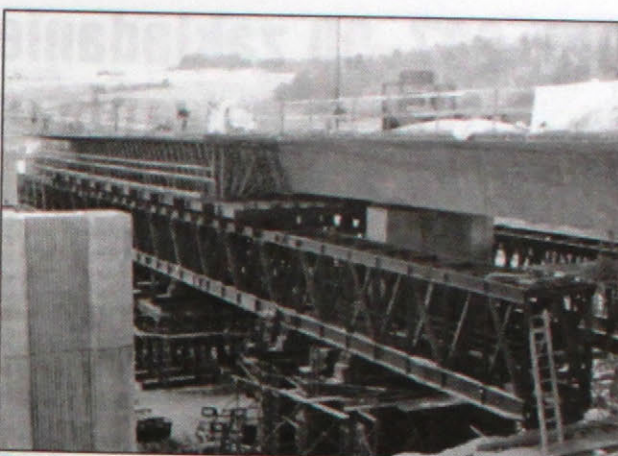
Na hlavných nosníkoch sú na nosných kladkách uložené posuvné plošiny pre uloženie samotného debnenia mosta. Spojenie hlavných nosníkov je vytvorené výsuvnými plošinami pri hornom páse a priečnymi stužidlami pri dolnom páse. Zvislú podpornú konštrukciu tvorí systém PIŽMO s upravenými atypickými stužidlami.

Betonáž mostného poľa sa realizovala v jednej etape, čo znamená, že celé pole mosta v dĺžke 40 m sa betónovalo v jednom zábere. Betonáž postupuje od vysunutej konzoly debnenia, smerom k už hotovému poľu mosta. Na zabezpečenie spracovateľnosti betónovej zmesi počas celej betonáže bola navrhnutá receptúra betónovej zmesi B 35, s prísadami na spomalenie tuhu na 5 hodín.

Technologický takt jedného 40 m poľa bol 21 až 24 dní. Ku koncu roka 1997 bolo hotových 8 polí mosta, k termínu apríl 1998 je nosná konštrukcia jedného mosta dokončená. Použitie výsuvnej skruža sa ukázalo ako veľmi efektívne, vzhľadom na dosiahnuté maximálne tempo výstavby niekoľkých polí 18 až 21 dní na pole.

Účastníci výstavby:

- obstarávateľ: Slovenská správa cest Bratislava,
- projektant: Dopravoprojekt, a. s. Bratislava,
- zhотовiteľ: Hydrostav, a. s. Bratislava, OZ Šafa.



Obr. 3. Pohľad na posuvnú skruž U-40 s debnením ISD NOE

Fig. 3. View on the movable centering U-40 with the form-work ISD NOE

dons are jointed by couplings in construction joints, 40 % of tendons go through construction joints without jointing and are anchored in cross beam.

Existing geological relations (dipped peat ballast into depth of 3 meters) assigned the way of the object foundation – area foundations on the big diameter reinforced concrete piles of the diameter 1,240 mm.

The improper geological terms eliminated the possibility of the realization of the horizontal load-carrying bridge construction on the fixed centering. On the construction preparation stage was therefore proposed and processed the supporting movable centering U-40, which besides the basic supports placed on the basic footings of the pillar, doesn't request any others intermediate supports.

Movable centering is created of lattice girder with rectangle cross section 2.5×3.5 m, of the length 77.7 m, which are axial distant one from another 8 m.

On the main beams are on the load-carrying pulleys placed movable platforms for the placing of the single bridge formwork. The connection of the main beams is created with the pushing out platforms by the upper band and with the lateral reamers by the lower band. The system PIŽMO create the vertical supporting construction, with the modified atypical reamers.

The pouring of concrete of the bridge field is realized on one stage, which means, that the whole bridge diameter of the length 40 m is concreted at once. The pouring of concrete goes forward from the pushed out formwork console, in the direction to the completed bridge field. For the workability arrangement of the concrete mixture during the whole casting were proposed the composition of the concrete mixture B 35, with ingredients for the set deceleration for 5 hours.

The technological tact of one field of the length 40 m was 21–24 days. Till the end of the year 1997 were completed 8 fields of the bridge and to the date 04/98 is the load-carrying construction of one bridge ready.

Using of sliding centering has shown to be very effective as to the maximal speed of building up the bridge – 18 to 21 days a field.

Participants:

- client: Slovenská správa cest Bratislava,
- designer/consultant: Dopravoprojekt, a. s. Bratislava,
- contractor: Hydrostav, a. s. Bratislava, OZ Šafa.

Obj. 207-00 zakladanie mosta na mikropilótach a kotvenie stavebných jám

207-00 Bridge foundation on micropiles and anchorage of slopes of excavation pits

Jozef SIKORA – Martin PANEK – Róbert TURANSKÝ – Tomáš KOMZÍK

Mostný objekt 207-00 na tejto stavbe je situovaný v zosuvnom území. Tento objekt je najväčším mostným objektom stavby „Cesta I/11 Čadca–Oščadnica“. Konštrukčne ide o prefabrikovaný 7-poľový most so spriahujúcou doskou. Celková dĺžka mosta je 210 m. Nosná konštrukcia mosta je z nosníkov I-90 výšky 1,4 m a dĺžky 30 m. Spriahujúca doska je premennej hrúbky od 19,4 cm do 27 cm z betónu C 25/30 (B 33). Šírka spriahujúcej dosky 12,83 m. Šírkové usporiadanie mosta výhľadovo vyhovuje diaľičným parametrom a v budúcnosti sa uvažuje, že bude slúžiť pre jeden smer diaľnice. Pri výstavbe cesty I/11 bolo potrebné, vzhladom na svahovité územie predisponované zosuvnými procesmi, zabezpečiť stabilizáciu výkopov stavebných jám na zakladanie mostných pilierov a zároveň vlastné piliere zaklaňať hlboko pod šmykovú plochu. Pôvodný návrh zakladania mostných pilierov sa riešil založením pilierov na širokoprofilové pilóty $\phi 1260$ mm. Vzhľadom na výskyt ťažko vŕtateľných polôh zdravých pieskovcov v zosuvnom delíu, pristúpilo sa na alternatívne riešenie zakladania na injektované mikropilóty, ktoré projektovo aj realizačne riešila firma GEOstatik, s. r. o. Žilina.

Foundation of the piers was originally designed by the large diameter piles $\phi 1260$ mm. Because of occurrence of hard bored sandstones in sliding deluvium the foundation was created by grouted micropiles. Design and realization of micropiles was done by GEOstatik Co.Ltd Žilina.

Trasa v tomto úseku prechádza zložitým geologickým prostredím v svahovitom teréne. Územie je budované flyšoidnými horninami paleogénu, a to ūlovami a pieskovcami. Pokryv svahu tvorí deluválny zosuvný komplex reprezentovaný hlinitokamenitými sulfami. Mocnosť zosuvných delíví dosahuje 6 až 7 m. Členitosť svahu je podmienená geologicko-tektonickou stavbou, geomorfologickým vývojom a rozvojom geodynamických javov – svahových deformácií. Práve v tejto časti územia vedie trasa cesty mostným objektom, ktorého zakladanie si vyžiadalo aj netradičný spôsob zabezpečovania svahu kotvením v zosuve.

Mostné piliere sú priamo situované v zosuvoch. Výkopom stavebných jám pre základy mostných pilierov by došlo k podrezaniu svahov, a tým k reaktivizácii potencionálnych zosuvov s nasunutím zeminy na stavenisko a existujúcu komunikáciu, ako aj k oslabeniu pokryvných materiálov vo vyšších častiach svahov.

Paženie stavebných jám kotvením a klincovaním

Svahy výkopov stavebných jám pre založenie mostných pilierov v zosuvnom území bolo treba navrhnuť tak, aby

Ing. Jozef Sikora; Ing. Martin Panek – GEOstatik, s. r. o. Žilina, Ing. Róbert Turanský, Ing. Tomáš Komzík – Doprastav, a. s. Bratislava, OZ Žilina.

The bridge 207-00 is situated in sliding ground. This bridge is the biggest bridge of the project „The road I/11 Čadca–Oščadnica“. Total length of the bridge is 210 m. There is the bridge of seven fields. Cross section of bridge is designed as a composite structure. It is created by 9 precast girders of prestressed concrete with depth 1400 mm and with length 30 meters and composite slab with a thickness from 19.4 cm to 27 cm of concrete C 25/30 (B 33). The width of composite slab is 12.83 cm. The cross section of the bridge suits to the parameters of the highway and it will be one side of the highway in the future. Because the area of the construction of the road I/11 is predisposed by sliding processes it was necessary to support excavation pits for foundation of the piers and at the same time the piers to found under sliding surface.

Foundation of the piers was originally designed by the large diameter piles $\phi 1260$ mm. Because of occurrence of hard bored sandstones in sliding deluvium the foundation was created by grouted micropiles. Design and realization of micropiles was done by GEOstatik Co.Ltd Žilina.

The route in this area is in difficult geological structure in the terrain of slopes. Slope dissection was created by geological–tectonic structure geomorphological surroundings and expansion of geodynamical phenomena-slopes deformation. The foundation in this area was solved by untraditional way of supporting of slope – by anchorage in drift.

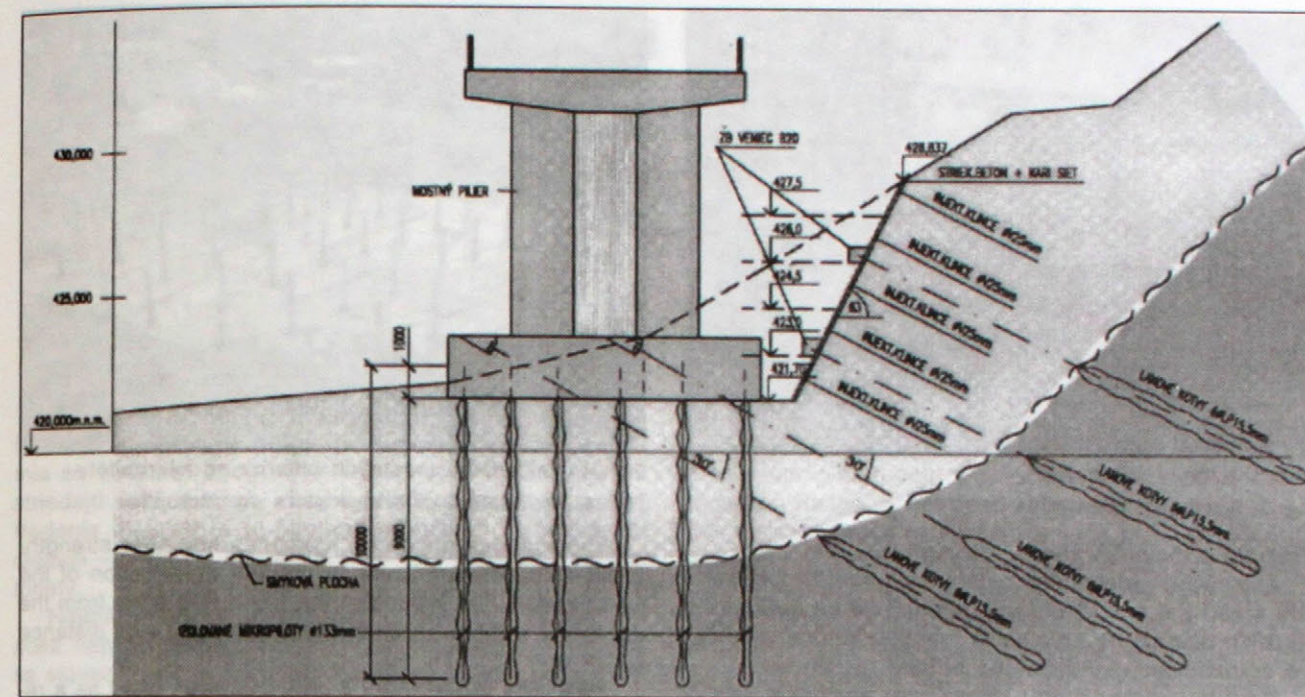
Area consists of flysch ground – sandstones and claystones. Cover of slope consists of deluvial sliding complex – loam stone debris. The depth of sliding slopes is 6–7 meters. The slopes would be cut by excavation of foundation of bridge piers and it would cause reactivation of potential drifts.

Bracing of foundation pit by anchoring and nailing

It was necessary to design slopes of foundation pits for piers and abutment to protect stability of sliding area as a whole as well as stability of slopes over the road.

Being possible to excavate the foundation of the pier to the level of the piling is necessary to support the slopes of the foundation pit against sliding (Fig. 1).

In order not to break the stability of the area and not to activate earth pressure on the pier No. 4 is designed everlasting stabilisation of the slopes of foundation pit. It was used the technology of the anchoring of the slope



Obr. 1. Založenie piliera na mikropilótach a kotvenie svahov

Fig. 1. Foundation of pier on micropiles and anchoring of slope

sa zabezpečila stabilita zosuvného územia ako celku, ako aj stabilita samotných svahov nad cestou.

Aby bolo možné vykopat základ piliera po úroveň pilótovania, je potrebné zaistiť svahy základovej jamy proti zosunutiu (obr. 1) tak, aby sa nenarušila stabilita územia ako celku a v budúcnosti sa neaktivizovali zemné tlaky na pilier č. 4. Preto je navrhnutá stabilizácia svahov stavebnej jamy v trvalej úprave. Použila sa technológia kotvenia svahu po jednotlivých etážach cez horizontálne kotevné trámy so zaistením výkopov svahu klincováním (obr. 2).

Na zabezpečenie stability svahu stavebnej jamy, ako aj zosuvu nad stavebnou jamou, bolo navrhnuté kotvenie svahu horninovými kotvami $6 \phi Lp 15,5$ mm v dvoch výškových úrovniach v trvalej antikoróznej úprave premennej dĺžky 16 m. Kotvy sú opreté o kotevné monolitické trámy. Cez vyniechané prestupy v kotevných trámoch sú kotvy napnuté na požadovanú silu $F_{dov} = 800$ kN. Korene kotiev dĺžky 8 m sú umiestnené pod šmykovou plochou zosuvu v paleogénom podloží.

Dočasné zabezpečenie stability svahu pred kotvením bolo navrhnuté a úspešne zrealizované spôsobom klincovanej zeminy s krycou striekanou betónovou vrstvou. Takto je zabezpečená stabilita svahu počas celej výstavby.

Jednotlivé klince sa po nastriekaní betónu vŕtajú na dĺžku 5 m. Do predvŕtaného otvoru $\phi 76$ mm, ktorý sa vyplnil cementovou injekčnou zmesou, sa zasunul kliniec $\phi V 25$ mm. Jednotlivé klince sú ukončené hlavou so závitom, na ktorú sa naskrutkuje roznášacia doska $200 \times 200 \times 10$ mm s maticou a podložkou. Aby bolo zabezpečené krytie klinca, boli na klince osadené centrátry na troch miestach po dĺžke klinca.

Po zatuhnutí injekčnej zmesi sa dotiahla matica momentovým kľúcom, aby sa zamedzilo deformáciám konštrukcie. Pri klincovaní svahu sa postupovalo od vrchu smerom nadol po jednotlivých pracovných úrovniach.

one floor by another using horizontal anchoring beam with supporting of slopes by nailing.

It was designed anchoring of the slope by earth anchors $6 \phi Lp 15.5$ mm in two high levels (to protect of stability of the slope and sliding over building pit). 16 meters long anticorrosive anchors are leaned on anchor cast in-situ concrete beam. The anchors are prestressed to required force $F = 800$ kN. The roots of anchors are 8 meters long and they are situated under sliding surface of subgrade.

Temporary protection of the stability of the slope before anchorage was designed and constructed by shotcrete, reinforcement nailed to the slope. The nails of the length of 5 meters were bored to the slope after shotcreting. The nail $\phi V 25$ mm was inserted to the hole $\phi 76$ mm which was filled by cement mortar. The nails are completed by the head with screw. It is screwed the deck $200 \times 200 \times 10$ mm with nut and base on this head.

Obr. 2. Prikotvenie svahu cez kotevné trámy

Fig. 2. Anchoring of slope through anchoring beams





Obr. 3. Vŕtanie mikropilótov

Fig. 3. Boring of micropiles

Výšková vzdialenosť medzi klinčami je 1,5 m.

Ako výstuž striekaného betónu bola použitá KARI sieť 150 x 150 x 6 mm. Striekaný betón B 20 sa aplikoval s použitím prímesi na urýchlenie tuhnutia betónu a zníženie zmrašťovania vytuhnutého betónu.

Použitou technológiou klincovanej zeminy a kotevných trámov bol zabezpečený výkop stavebnej jamy v zosuvnom území do hĺbky 10 m.

Zakladanie mostných pilierov na mikropilóty

Zakladanie pilierov mosta sa riešilo hĺbkovo pomocou injektovaných mikropilótov (obr. 3) v kombinácii s horninovými kotvami, ktoré slúžia na zachytenie vodorovných síl od aktívnych zosuvov, v ktorých sú mostné piliere založené.

Pri zakladaní piliera č. 4 boli použité mikropilóty s dvojitou protikoróznu ochranou a s dovoleným namáhaním $F_{dov} = 500$ kN. Mikropilóty sú dĺžky 10 m, s votknutím pod šmykovú plochu zosuvu. Injektáž mikropilótov sa realizovala cez manžety v osovej vzdialosti 0,5 m po celej dĺžke mikropilótov tak, aby sa zamedzilo účinkom vzperu a zaistilo sa zároveň spolupôsobenie mikropilótov s okolitou zeminou (obr. 4). Mikropilóty majú injekčnú rúru, aby bola možná prípadná opakované injektáž ich koreňovej časti na dosiahnutie požadovanej únosnosti. Na základe výsledkov preukaznej zatažovacej skúšky sa potvrdila požadovaná únosnosť.

Zachytenie horizontálnych síl zosuvu je zabezpečené horninovými lanovými kotvami cez základový blok mostného piliera dĺžky 20 m a s koreňovou časťou dĺžky 8 m. Kotvy sú 6 φ Lp 15,5 m s trvalou antikoróznu ochranou pri dovolenom namáhaní $F_{dov} = 800$ kN.



Obr. 4. Zakladanie mostných pilierov na mikropilóty

Fig. 4. Foundation of bridge piers on micropiles

The nut was driven by moment's key after strengthening of injection mixture to prevent deformation of the construction. The nailing of the slope was done from the top to the bottom on each working level. Level distance is 1.5 m.

KARI net 150 x 150 x 6 mm has been used as a reinforcement of shotcrete. Shotcrete B 20 has been used with addition for acceleration of the concrete hardening and lowering of the concrete creep.

By using the technology of the nailed earth and anchors beams was supported the excavation pit in sliding area to the 10 meters depth.

Foundation of bridge piers on micropiles

Foundation of bridge piers was designed by using grouped micropiles combined with earth anchors, which catch horizontal force from active slides, where are bridge piers founded (Fig. 3).

There were used double anticorrosive protection micropiles with allowed stress allowance of 500 kN for foundation of pier No.4. The length of micropiles is 10 meters with sticking under sliding surface. Injection of micropiles was done through collars in the distance of 0.5 m in whole length of micropiles to inhibit effect of buckle and to ensure co-operation of micropiles with the ground (Fig. 4). There are injection tube in micropiles to ensure repeating injection of micropile's root to reach required capacity.

Interception of horizontal forces of the slide was designed by earth rope anchors through the basements of the pier. The length of anchors is 20 meters and the root is 8 meters long. Anchors are 6 φ Lp 15.5 m, with anti-corrosive protection about allowed stress $F = 800$ kN.

Konštrukcie cestných tunelov na diaľničnej sieti na Slovensku

Construction of road tunnels on the motorway network in Slovakia

Štefan CHOMA – Koloman V. RATKOVSKÝ

Navrhované koridory trasy diaľnice sú situované do územia so zložitou topografiou Západných Karpát, kde sa striedajú údolné nivy, hlboké údolia a horské masívy. Vedenie diaľnice je tu spojené s veľkými inžinierskymi dielami – umelými objektami, ako sú mosty, estakády a tunely.

Najmä tunely sú zo všetkých druhov inžinierskej činnosti najviac späté s horninovým prostredím, v ktorom sa stavebné dielo realizuje. Tunelová stavba veľmi citovo reaguje na všetky zmeny horninového prostredia, na prítomnosť rôznych porúch a anomalií, vyskytujúcich sa v trase realizovaného podzemného diela. Túto skutočnosť treba rešpektovať najmä v zložitých geologických podmienkach.

Tunelové stavby na cestných fahoch veľmi zhospodárujú dopravné podmienky tým, že skracujú dĺžku trasy, znížujú spotrebú pohonných látok, sú navrhované vo veľmi priaživných výškových a smerových pomeroch, minimalizujú emisie škodlivín z výfukových plynov, záber pôdy a lesného fondu je zanedbateľný atď. Mnohé z týchto vymenovaných faktorov majú vplyv aj na podmienky zlepšenia životného prostredia.

Diaľničná sieť s tunelovými objektami

Diaľničná sieť, na ktorej sú navrhnuté tunelové objekty, sa dotýka najmä diaľničných fahov D1, D2 a D18. Tunely majú premennú dĺžku od 300 do 7 400 m. Prehľad navrhnutých tunelových objektov je na obr. 1.

V súčasnosti je rozpracovaných 100 km diaľnic, vo viacerých úsekcích. V roku 1998 bude dobudovaný diaľničný fah D61 a časť diaľnice D1 po Ladce a do prevádzky bude uvedený úsek diaľnice D2 Bratislava–štátna hranica Rakúska a Maďarska.

Výhľadové časové horizonty sú:

- ukončenie súvislého úseku diaľnice a s daním do prevádzky sa uvažuje od hraníc s Maďarskom a Rakúskom po hranice s Poľskom do r. 2000,
- súvislý úsek diaľnice až po hranicu s Ukrajinou v r. 2005, čím by projekt výstavby diaľnic na Slovensku bol v prvej fáze ukončený a Slovensko bude tak pripravené na napojenie sa na európsky tranzitný systém.

Toho času sa razí tunel Branisko v dĺžke 4 800 m v plnom profile, ďalej prieskumná štolňa tunela Ovčiarisko a robia sa geologické vŕtacie prieskumné práce pre tunel Višňové–Martin a tunel Sitina. Ostatné tunely sú v rôznom stupni rozpracovanosti.

Ing. Štefan Choma; Doc. Ing. Koloman V. Ratkovský, CSc. – Slovenská správa cest Bratislava.

The proposed motorway routes are situated in areas with a very complex topography of the Western Carpathian Mountain Range, where deep valleys alternate with mountain ranges. These motorways include many engineering structures – artificial objects such as bridge and tunnels.

Tunnels are tightly connected with the rock environment in which construction takes place. Tunnels are very sensitive to all changes in the rock environment, the presence of various faults and anomalies exist along the route of construction. This fact has to be respected, especially in complex geological conditions.

Tunnel structures make transport conditions on road very efficient as they shorten the route, decrease fuel consumption, minimise emission of harmful exhausts, enable the designer to select a very efficient vertical and horizontal alignment, and minimise the need for land and forest acquisition. Many of the above mentioned issues are of great influence on the improvement of the environment.

Tunnel structures on the motorway network

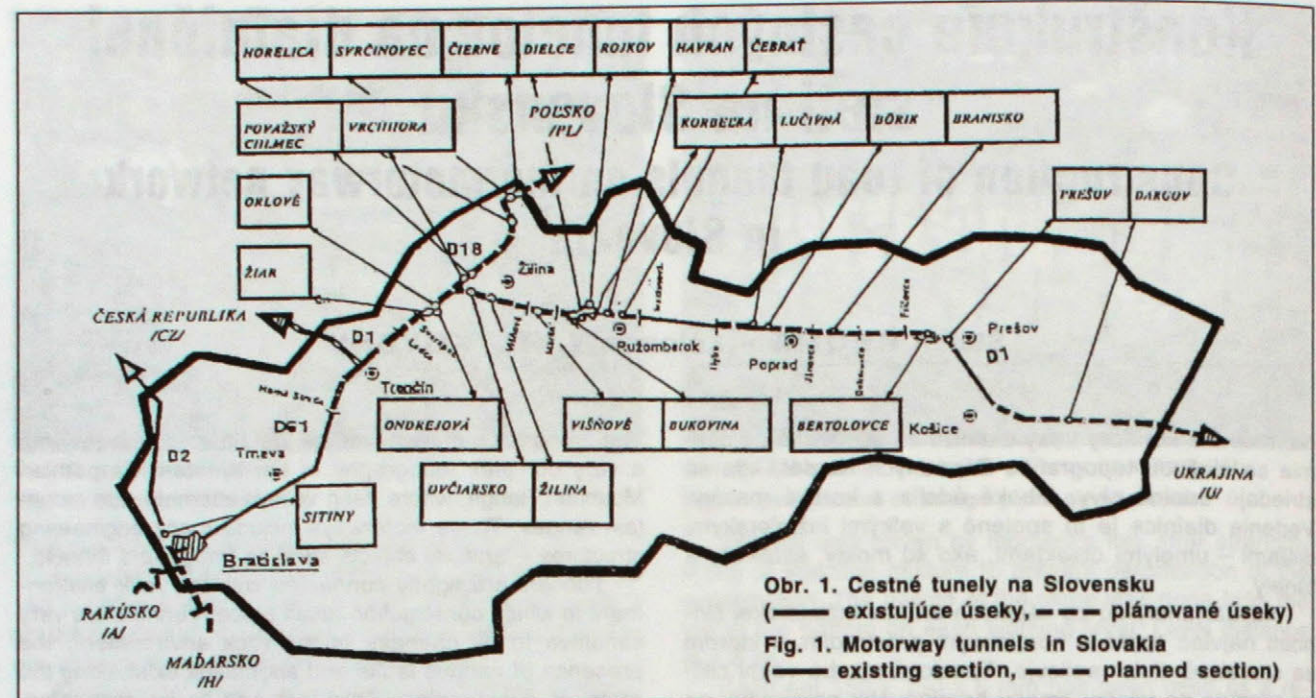
Most of the tunnel structures are located on the D1, D2 and D18 motorway routes. The length of the tunnels varies from 300 m to 7,500 m. All proposed tunnels on the motorway network including their length are shown on the map of the Slovak Republic (Fig. 1).

At present approx. 100 km of motorways are under construction. By the end of 1998 the D61 route and part of the D1 route up to Ladce will be completed as well as the D2 motorway section in Bratislava, Viedenská road – the state border of SR/H and SR/A.

The following time schedule has been set:

- to complete and put into operation the continuous motorway section from the borders with Austria and Hungary to the border with Poland by the year 2000;
- to complete and put into operation the continuous motorway section up to the border with the Ukraine by the year 2005, which would accomplish the first phase of the motorway construction programme in Slovakia, and thus connect Slovakia to the European motorway network.

At present the Branisko Tunnel (in the length of 4,800 m) as well as the pilot adit of the Ovčiarisko Tunnel are under construction and various geological survey work for the Višňové–Martin and the Sitina Tunnels is being performed. Other tunnels are in various stages of preparation.



Návrh technológie razenia

Na rozdiel od väčšiny stavebno-technických povrchových objektov, projektanti tunelov sa musia zaoberať aj úvahami o výbore raziacich metód a ich kompatibilnosti s podzemným prostredím razenia a v mestských oblastiach ešte i s prihladnutím na špecifické otázky vplyvu šírenia vibračných účinkov a hluku počas výstavby tunela a následnej dopravnej prevádzky.

Výbora technológie razenia tunela musí preto zodpovedať daným požiadavkám prostredia a závisí predovšetkým od geologických podmienok. Slovensko je súčasťou veľmi zložitého alpsko-karpatského horotvorného pásma s premenlivou geologickou stavbou. Tunelové stavby, ktoré budú prechádzať týmto prostredím, veľmi citlivovo reagujú na všetky zmeny horninového prostredia, na prítomnosť porúch a anomálií, vyskytujúcich sa v trase realizovaného podzemného diela.

Pri výstavbe tunelov v geologických podmienkach Slovenska predpokladáme použitie dvoch progresívnych technológií razenia, a to:

- Novou rakúskou tunelovacou metódou (NRTM),
- pomocou tunelovacieho stroja, označeného ako metóda TBM.

Obidve technológie vychádzajú z aplikácie najnovších poznatkov mechaniky skalných hornín a zemín a správania sa horninového prostredia pri vytváraní tunelového diela.

Základné myšlienky NRTM sú všeobecne známe. Hlavná výhoda a prednosť tejto metódy je v jej univerzalnosti, prispôsobiteľnosti daným horninovým podmienkam a tvarovému usporiadaniu tunelového priezoru. Najčastejším a najbežnejším spôsobom rozpojovania skalných hornín je vŕtacia a trhacia technika, prípadne použitie raziacich strojov s výložníkovou frézou.

Pre jednoduchosť a fahkú prístupnosť tejto technológie sa táto metóda zatiaľ používa pri stavbe tunelov a štôlní najčastejšie.

Na tunely dlhšie ako 2 km a pri vhodných geologic-

Driving techniques

Beside other important tasks the designers of tunnels have to decide upon an appropriate driving method. This task is crucial especially in cities, where vibration and noise during construction have to be minimised.

Therefore, the proposed driving method has to respond to the demands of the environment and is mainly dependent upon the geological conditions. As the Slovak territory belongs to the complex Alpine-Carpathian mountain range of a variable geological composition, choosing the most appropriate driving technology is very important.

The following two progressive driving techniques have been proposed to be applied for the construction of tunnels in the geological conditions of Slovakia:

- the New Austrian Tunnelling Method (NATM)
- TBM driving method – using a tunnelling machine.

Both techniques apply the latest knowledge from rock and soil mechanics and behaviour of rock environment influenced by construction of tunnels.

The basic ideas of the NATM are well known. The main advantage of this method lies in its versatility and its ability to adjust to both rock conditions and the layout of the tunnel cross-section. Widely recognised ways of rock disintegration in this method are the Drill and Blast method and the application of Tunnel Sequential Machines (TSM) – machines with a beam cutter. Due to its simplicity and availability, this method is mostly used for tunnel and adit driving.

For tunnels longer than 2 km and in suitable geological conditions, the use of the tunnel boring machine (TBM) is highly recommended. The TBM is a tunnelling machine which is able to cut the whole tunnel cross-section simultaneously and all work behind the cutting head is completely mechanised. The TBM creates a circular tunnel cross-section. The use of a TBM of a diameter of approx. 12 m is planned for the construction of the Višňové tunnel.

The output of driving using the tunnelling machine is

kých podmienkach sa uvažuje razenie s použitím tunelovacieho stroja TBM. Pod týmto pojmom rozumieme tunelovací stroj, ktorý jedným pracovným úkonom opracúva celý tunelový profil naraz a všetky práce za rozpojovacou hlavou sú komplexne mechanizované.

Tunelovací stroj s frézovou hlavou, rotujúcou okolo pevnej osi, vytvára kruhový priezor tunelového otvoru v hornine. Jeho použitie sa uvažuje pri stavbe tunela Višňové s priemerom tunelového stroja asi 12 m.

Výkony razenia tunelovacím strojom sú 3 až 4-krát vyššie ako pri použití konvenčnej metódy razenia. Nadobúdacie náklady sú však vysoké, pri použití určitej dĺžky tunela sa však eliminujú, resp. sú nižšie ako pri metóde NRTM.

Tunelové stavebné konštrukcie

Ostenia štôlní a tunelov sa odlišujú konštrukčne podľa metódy použitej pri razení. V našich podmienkach sa stretávame s dvoma odlišnými spôsobmi, a to:

- ostenia štôlní a tunelov používané pri razení metódou NRTM
- ostenia štôlní a tunelov používané pri razení tunelovacím strojom (TBM).

Ako najdôležitejší faktor, ktorý má vplyv na konštrukčné usporiadanie ostenia, je použitá technológia výstavby a inžiniersko-geologické podmienky v trase tunelového diela. Uvažujeme s razením len v skalných horninách.

Pri razení s nasadením vŕtacej a trhacej techniky, resp. raziacich strojov s výložníkovou frézou metódou NRTM sa používa obvykle dvojvrstvové ostening pre tunelové profily. Prvotné (primárne) ostening je zo striekaného betónu s dočasným zabezpečením lica skalného výruba zodpovedajúceho porušenosťi a stlačiteľnosti horniny (kotvy, oceľové skruže v kombinácii s oceľovou sieťovinou umiestnenou v striekanom betóne). Druhotné (sekundárne) ostening je z monolitického betónu ukladané do pojazdného oceľového debnenia. Vlastná ochranná izolačná vrstva z fólií sa ukladá pred betonážou na vrstvu zo striekaného betónu.

Charakteristický príklad tunelového ostenia tunela Branisko a jeho detailné konštrukčné usporiadanie je na obr. 1 v príspevku na s. 57.

Tunelové rúry nad 2 000 m sa navrhujú s prieskumou štôlkou, umiestnenou v druhej tunelovej rúre, ktorej plný profil sa bude razíť až po vybudovaní celého diaľničného fahu. Konštrukcia ostenia je v danom prípade jednoduchá, je bežne jednovrstvová s provizórnym zabezpečením výruba z kotiev (najvhodnejšia z plastických kotiev), oceľových skruží, sieťoviny a striekaného betónu hrúbky 50 až 150 mm pri razení konvenčným spôsobom. Pri použití raziacich tunelovacieho stroja – mechanizo-

Obr. 2. Návrhy priečnych rezov cestných tunelov razených s TBM (dvojvrstvové ostening)

- a - tunel s pozdižným vetraním: 1 - gabarit, 2 - vozovka a jej konštrukcia, 3 - kolektor, 4 - prúdový ventilátor, 5 - skladba ostenia (výplň medzery medzi osteningom a licom výruba, tubingy, medzisolácia, monolitický betón); b - tunel s priečnym vetraním: 1 - primárne tubingové ostening, 2 - sekundárne monolitické ostening, 3 - medzisolácia, 4a - podpera, 4b - betónový medzistrop, 5 - odvodňovací kanál vozovky, 6 - stredný odvodňovací kanál, 7 - pozdižna drenáž, 8 - betón. dno, 9 - priečna drenáž, 10 - chodník, 11 - kanál pre odvod znečisteného vzduchu, 12 - kanál pre prívod čerstvého vzduchu

3–4 times greater than by using other conventional driving methods. The financial costs of the TBM are high but they diminish beyond a certain tunnel length and are comparatively lower than when using the NATM.

Structural parts of tunnels

Construction of lining in drifts and tunnels varies according to the chosen driving technique. Generally we use two basic types:

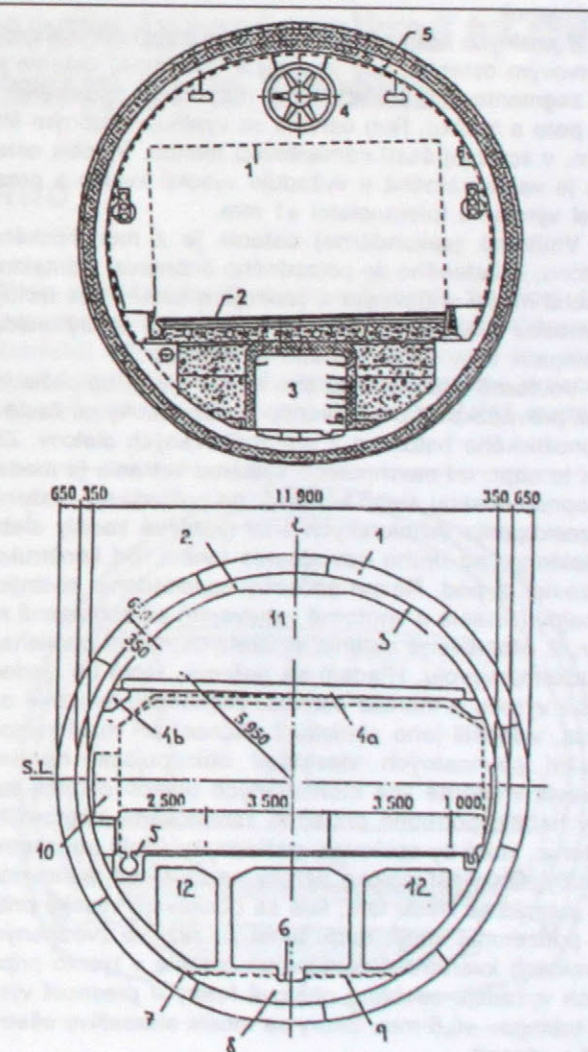
- lining used for the NATM
- lining used for the TBM.

The layout of the tunnel lining basically depends on the building technique used and the geological conditions found in the line of a tunnel.

The two-layer lining is usually used when driving by the Drill and Blast method, the NATM, and TBM. The

Fig. 2. Cross-sections of road tunnels driven by TBM (two-layer lining)

- a - tunnel with longitudinal ventilation: 1 - clearance, 2 - pavement, 3 - collector, 4 - booster van, 5 - lining composition (gap filling between lining and rock, tubing, sealing, cast-in-situ concrete); b - tunnel with transverse ventilation: 1 - primary pre-cast lining, 2 - secondary cast-in-situ lining, 3 - sealing, 4a - concrete inter-ceiling, 4b - cantilever, 5 - pavement drainage conduit, 6 - central drainage conduit, 7 - longitudinal drainage, 8 - concrete bottom, 9 - transverse drainage, 10 - sidewalk, 11 - channel - polluted air, 12 - channel - fresh air



vaného štítu sa ostenie skladá prevažne z prefabrikovaných dielcov – tubingov, kde priestor medzi lícom horniny a rubom ostenia sa vyplňuje maltou alebo drobným štrkrom.

Pri razení s nasadením mechanizovaných tunelovacích strojov sa používa jednovrstvové a dvojvrstvové ostenie, závislé od použiteľného druhu tunelovacieho stroja a od hydrogeologických podmienok. Ide o tunelovacie stroje:

- s rozpernými doskami, TBM – gripper,
- s ochranným pláštom, TBM – štít.

V prvom prípade tunelovací stroj nemá ochranný plášť a pohybuje sa dopredu cyklickým spôsobom. V danom prípade líc výrubu je nechránené a podľa potreby sa zabezpečuje kotvami, oblikovými skružami a siefotinou, na ktorú sa nanáša striekaný betón hrúbky 50 až 300 mm a často tvorí definitívne ostenie.

Pre kvalitatívne lepšie pohyb strojového prívesu za tunelovacím strojom a celého dopravného systému dnu a von z tunelovej rúry ukladá sa na dno za telesom stroja do cementovej malty prefabrikovaný dielec (tubing).

V druhom prípade tunelovací stroj má ochranný plášť, tvorí akýsi druh posuvného paženia, posúva sa dopredu kontinuálne pomocou horizontálnych hydraulických výsuvných lisov (hydromotorov) umiestnených po vnútornom obvode plášta štítu. Ostenie môže byť jednovrstvové alebo dvojvrstvové podľa hydrogeologických podmienok.

V skalných horninách sa častejšie stretávame s dvojvrstvovým ostením, kde vonkajšie (primárne) ostenie je zo segmentových prefabrikátov (tubingov), spojovaných ná pero a drážku. Rub ostenia sa vyplňuje drobným štrkrom, v spodnej časti cementovou maltou. Výroba ostenia je veľmi náročná a vyžaduje vysokú kvalitu a presnosť výroby, s toleranciami ± 1 mm.

Vnútorné (sekundárne) ostenie je z monolitického betónu, ukladaného do pojazdného debenia. Kontaktná plocha medzi vnútorným a vonkajším ostením sa izoluje pomocou plášťových fólií. Medzivrstvové škáry medzi tubingami sa v tomto prípade neutesňujú.

Vnútorné ostenie cestného tunela závisí od požiadaviek prevádzkového vybavenia, ktorého prvky sú často z monolitického betónu a z prefabrikovaných dielcov. Závisí to napr. od navrhnutého systému vetrania (s medzistropnou doskou alebo bez nej), od požiadavky uloženia a zoskupenia inžinierskych sietí (káblové kanály alebo kolektory), od druhu odvodnenia tunela, od konštrukcií vozoviek a pod. Rôzne spôsoby usporiadania cestných tunelov (ostenia a vnútorné vybavenie) sú zobrazené na obr. 2. Montované ostenia vnútorných ostení podliehajú prudkému vývoju. Hľadajú sa riešenia, ktoré by zjednodušili výrobu a montáž ostenia, zdokonalili tesnenie ostenia, vylepšili jeho statickú funkčnosť pri maximálnom využití pevnostných vlastností obklopujúcej horniny, upravili vnútorné líce montovaných prvkov ostenia tak, aby nebolo potrebné prípadné zabudovanie vnútorného ostenia, ktoré by splňovalo požiadavky účelu podzemnej stavby. Obzvlášť vysoké nároky na tunelové jednovrstvové ostenie sa kladú tam, kde sa očakávajú vysoké prítoky podzemnej vody, resp. tunel sa razí vo zvodnených zeminách kvartéru. Segmentové ostenie v týchto prípadoch vyžaduje osobitné oceľové formy a presnosť výroby tubingov $\pm 0,5$ mm. Škáry sa musia starostlivo ošetrovať a utesniť.

primary lining is made of shotcrete together with anchors, steel arches combined with a steel mesh. The secondary lining is made of cast-in-situ concrete laid in form. The protective insulation foil layer is laid on the shotcrete primary lining before concreting. The typical example of this tunnel lining Branisko is shown in Fig. 1 (pp. 57).

Tunnels over 2,000 m are designed with the pilot drift located in the line of the second tunnel tube, whose full cross-section will be driven after the construction of the whole motorway route is completed. In this case, lining construction is very simple. When driving by the conventional method is usually a one-layer lining provisionally strengthened with anchors (preferably plastic anchors), steel arches, mesh and shotcrete 50–150 mm thick. When using the TBM-shield the lining structure is formed by tubing – pre-cast segments, where gaps between the rock and lining are filled with mortar or fine gravel.

When driving by the TBM, one or two-layer lining is used subject to hydro-geological conditions and tunneling machine type, which can be:

- TBM – gripper
- TBM – shield.

In the first case the tunnelling machine has no protective skin plate and moves forward in a cyclic motion. In this case the right side of the excavated rock is unprotected and where needed, is secured by anchors, steel arches and mesh fixed with shotcrete 50–300 mm thick often forming a permanent lining.

For better quality of trailer movement behind the tunnelling machine and whole transport system, the tubing is laid in cement mortar on the bottom behind the machine.

In the second case a skin plate protects the tunnelling machine and moves forward continuously with the help of hydraulic jacks placed in the inner circuit of the shield. The lining is of one or two-layer depending on hydro-geological conditions.

In rocks, a two-layer lining is preferable where the primary lining is made up of tubing connected by tongue and groove. The external circumference of the lining is filled with fine gravel and the bottom part, with cement mortar. Lining production must be of high quality and accuracy, with a tolerance ± 1 mm.

The secondary lining is made of cast-in-situ concrete laid in portable form. Shield foils insulate the contact plane between the inner and outer lining. Inter-layer gaps between the tubing are not sealed in this case. The secondary lining of road tunnels depends on the demands made on service equipment whose parts are made of cast-in-situ concrete and/or precast concrete units. It depends for example on the designed ventilation system (with or without inter-ceiling slab), on the required positioning of public utilities – collectors, tunnel drainage, road pavement construction, etc. Various cross-sections of road tunnels are shown in Fig. 2.

Pre-cast concrete lining is subject to enormous development. New solutions are under research which would simplify the production and assembly of lining, improve its sealing and bearing capacity, and adjust the right side of the pre-cast tubing so the secondary lining would not be necessary, etc. Where a high inflow of underground water is expected, particularly high demands are made on the one-layer tunnel lining. In this case the segmented lining requires special steel forms and very accurate production with a tolerance of $\pm 0,5$ mm. All gaps have to be sealed carefully.

Záver

Výstavba diaľnickej siete s mnohými tunelovými objektmi v SR je veľkým krokom vpred, čo prispeje k zvýšeniu sociálneho, spoločenského a kultúrneho života v našej krajine. Cez Slovensko budú prechádzat dôležité európske koridory, a preto má ich výstavba mimoriadne dôležitý význam.

Skúsenosti s výstavbou tak náročného diela s požadovaným strojovým vybavením, ako i použitím nových progresívnych betónových konštrukcií v našich dodávateľských firmách sú zatiaľ skromné. Bude preto potrebné využiť všetky vlastné skryté rezervy, rozšírať si svoje odborné vedomosti, zapojiť do činnosti popredné naše a využiť i zahraničné kapacity, získať špičkovú zahraničnú technológiu a potrebné finančné prostriedky, aby sa toto veľkolepé dielo podarilo.

Conclusion

Motorway network construction including many tunnels in the Slovak Republic is a significant step forward which results in an increase in the quality of social and cultural life in our country. Many important European corridors will run through Slovakia which makes this construction programme even more important.

Among our contractors there exists a lack of experience with such a demanding construction programme and in the application of required technological equipment and new progressive concrete structures. It will be therefore necessary to increase our professional skills and knowledge, to involve our experts, together with their foreign counterparts and to obtain the high-quality foreign technology and necessary financial means to fulfil all of these tasks successfully.

Tunel Branisko – prvý diaľničný tunel realizovaný na stavbe diaľnice D1 na Slovensku

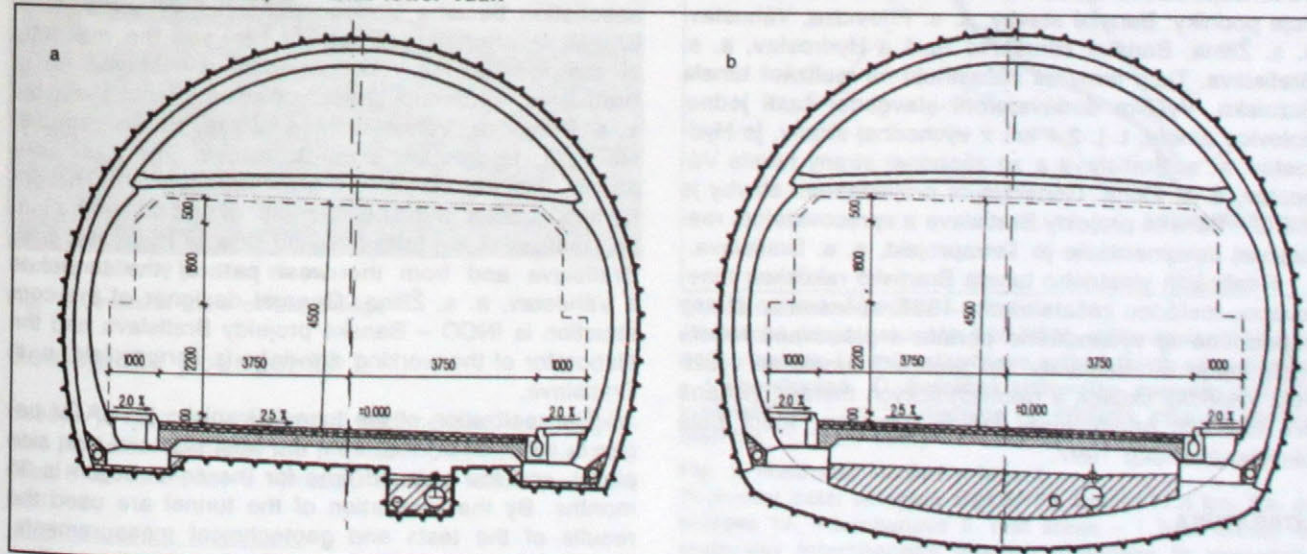
Tunnel Branisko – the first motorway tunnel realized by the construction of the motorway D1 in Slovakia

Peter HRMO

Pohorie Branisko predstavuje najobtiažnejší úsek diaľnice D1 v úseku Behárovce–Branisko, kde v relatívne krátkej

Obr. 1. Priečny rez tunelovej rúry
a – bez spodnej klenby, b – so spodnou klenbou

Fig. 1. Cross section of tunnel pipe
a – without lower vault, b – with lower vault



Ing. Peter Hrmo – Hydrostav, a. s. Bratislava.

Chain of mountains Branisko represents the most difficult sector of the motorway D1 in the sector Behárovce–Branisko, where in relative short sector with the direct ground plan length of not whole one kilometer, is necessary to overcome the height difference of 246 metres.



Obr. 2. Tunel Branisko – vstup z východnej strany

Fig. 2. Tunnel Branisko – entry from eastern side

kom úseku v priamej pôdorysnej dĺžke ani nie celého jedného kilometra treba prekonat výškový rozdiel 246 m.

Tunel Branisko je projektovaný pre diaľničnú dopravu a skladá sa z dvoch tunelových rúr, z ktorých v prvej etape sa buduje len jedna, južná tunelová rúra. Do vybudovania severnej tunelovej rúry bude južná tunelová rúra slúžiť pre obojsmernú premávku.

Základné technické parametre tunela:

- dĺžka razenej časti tunela je 4 823,55 m,
- svetlá šírka tunela 9,5 m,
- šírka vozovky medzi obrubníkmi je 7,5 m,
- šírka chodníkov 2 x 1 m,
- výška prejazdného profilu tunela je 4,5 + 0,1 m,
- svetlá šírka nad obrubníkmi je 2,2 m.

V tuneli budú vybudované štyri jednostranné a dve dvojstranné zálivy šírky 3 m a dĺžky 40 m. Zálivy budú slúžiť na odstavenie vozidiel s poruchou, prípadne na otáčanie osobných vozidiel v prípade neprejazdnosti tunela. Vzdialenosť zálivov je 700 až 750 m.

Investor, Slovenská správa cest, objednal realizáciu tunela priamym zadaním u Združenia Branisko, ktoré združuje firmy realizujúce výlomové aj stavebné práce. Lídrom združenia sa po dohode členov združenia stala Vodohospodárska výstavba, š. p. Bratislava, ktorá zastupuje podniky: Banské stavby, a. s. Prievidza, Váhostav, a. s. Žilina, Banské združenie Spiš a Hydrostav, a. s. Bratislava. Tieto firmy sa zúčastňujú na realizácii tunela Branisko. Vyšším dodávateľom stavebnej časti jednej polovice tunela, t. j. 2,4 km z východnej strany, je Hydrostav, a. s. Bratislava a zo západnej strany tunela Váhostav, a. s. Žilina. Generálnym projektantom stavby je INCO – Banské projekty Bratislava a spracovateľom reálizácej dokumentácie je Terraprojekt, a. s. Bratislava.

Realizácia vlastného tunela Branisko rakúskou tunelovacou metódou začala v roku 1997, súčasne zo strany západného aj východného portálu a plánovaná lehota výstavby je 36 mesiacov. Pri realizácii tunela sa využívajú výsledky skúšok a geotechnických meraní, získané pri realizácii prieskumnej štôlnej Branisko, ktorá bola ukončená v roku 1997.

LITERATÚRA

- [1] Frankovský, M.: Tunel Branisko – prvý rok výstavby. Inžinierske stavby, 45, 1997, č. 6, s. 229–231.

Most 207–00 nad diaľnicou D2/D61 Bratislava–štátna hranica SR/MR a SR/Rakúsko

Bridge 207–00 over D2/D61 motorway Bratisava–Slovak/Hungarian and Slovak/Austrian border

Vladimír PUKANČÍK – Vladimír BUDINSKÝ

Úsek diaľnice D2/D61 predstavuje severojužné dopravné spojenie v priestore južne od Bratislavu. Ide o diaľničnú stavbu od mosta Lafranconi po hraničný priechod s Maďarskom s diaľničnou križovatkou pri Jarovciach s odbočením na hranicu s Rakúskom.

Súčasťou diaľničnej križovatky pri moste Lafranconi bolo aj dobudovanie mosta nad diaľnicou – objekt 207–00.

Všeobecné údaje

Mostný objekt na vetve mimoúrovňovej križovatky diaľnic D2 a D61 premozuje 2. a 3. poľom existujúcu diaľnicu D2. Most je smerovo v oblúku $R = 249,2$ m a výškove v zakružovacom oblúku $R = 1\ 500$ m. Uhol križenia je $34,6^\circ$. Dĺžka mosta je 186,6 m. Tvorí ho 5 polí, ktoré sú vybudované ako monolitická spojité konštrukcia z dodatačne predpätého betónu. Šírkové usporiadanie na moste zodpovedá polovičnému profilu diaľnice s voľnou šírkou medzi zvodidlami 11,75 m. Priečny sklon vozovky je jednostranný 4,5 %.



Obr. 1. Celkový pohľad na most

Fig. 1. General view of the bridge

Geologické podmienky

Územie je tvorené kvartérnymi sedimentami na neogénom podloží. Kvartér tvoria prevažne piesčité štrky mocnosti 8 až 13 m, ktoré vykazujú značné rozdiely v ulahlosti.

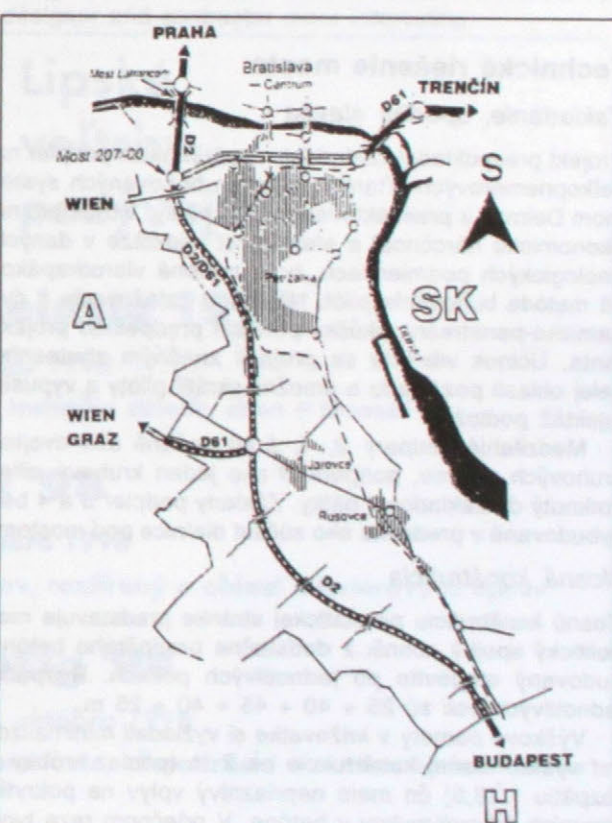
Ing. Vladimír Pukančík – Dopravoprojekt, a. s. Bratislava; Ing. Vladimír Budinský – Cesty Nitra, a. s.

The D2/D61 motorway section is the north/south link located south of the capital Bratislava. The section represents the motorway projects starting from Lafranconi Bridge up to the border crossing with Hungary as well as Austria.

The bridge 207–00 represents an inevitable part of the Project to complete the interchange at Lafranconi Bridge.

General Data

The bridge 207–00 situated at an interchange branch is

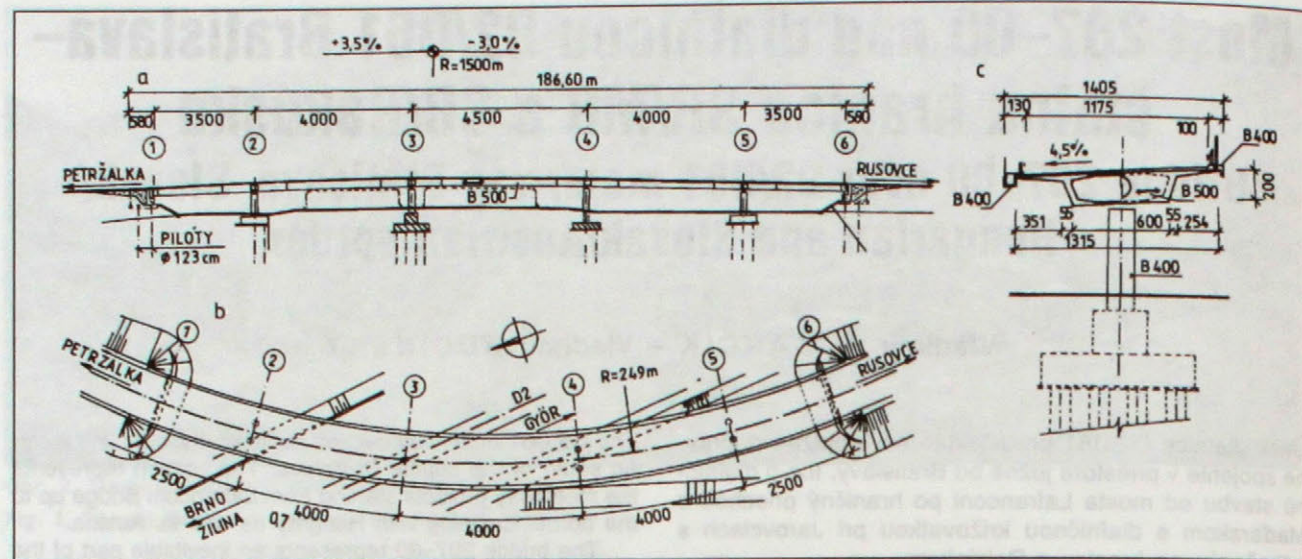


Obr. 2. Diaľnica D2/D61 – situácia

Technické údaje: kategória D26,5/100, dĺžka stavby 17,8 km, počet mostov 13, mimoúrovňové križovatky 2, odpočívadlo – 1 obojsmerné; O diaľničná križovatka, — diaľnica — motorway under construction, —— motorway construction addressed, - - - roads

Fig. 2. Motorway D2/D61 – layout

Technical data: category D26.5/100, length 17.8 km, No. of bridges 13, interchanges 2, rest areas – 1 both sided; O motorway interchange, — motorway in operation, —— motorway under construction, —— motorway construction addressed, - - - roads



Obr. 3. Most 207-00 na diaľnici D2/D61

a - pozdižny rez, b - pôdorys, c - priečny rez

Fig. 3. Bridge 207-00 on the motorway D2/D61
a - longitudinal section, b - ground plan, c - cross section

Technické riešenie mosta

Zakladanie, spodná stavba

Projekt predpokladal zakladanie medziľahlých podpier na veľkopriemernových vŕtaných pilótoch budovaných systémom Delmag s preinjektovaním päty pilóty. Vzhľadom na ekonomickú náročnosť a efektívnosť injektáže v daných geologických podmienkach, bola zvolená vibrodrapáková metóda budovania pilót. Následne zatažovacie a dynamicko-penetráčne skúšky potvrdili predpoklad projektanta. Účinok vibrácie sa prejavil značným zhubnením celej oblasti pozákladu a umožnil skrátiť pilóty a vypustiť injektáž podložia.

Medziľahlé podpery 2, 4, 5 sú riešené ako dvojice kruhových pilierov, podpora 3 ako jeden kruhový pilier vrotknutý do základovej pätky. Základy podpier 3 a 4 boli vybudované v predstihu ako súčasť diaľnice pod mostom.

Nosná konštrukcia

Nosnú konštrukciu po statickej stránke predstavuje monolitický spojity nosník z dodatočne predpätého betónu budovaný etapovite po jednotlivých poliach. Rozpäťia jednotlivých polí sú $25 + 40 + 45 + 40 + 25$ m.

Výškové pomery v križovatke si vyžiadali minimalizovať výšku nosnej konštrukcie na 2 m (pomer hrúbky k rozpätiu 1/18,5) čo malo nepriaznivý vplyv na pokrytie hlavných fahov/šmykov v betóne. V priečnom reze tvorí nosnú konštrukciu komôrka výšky 2 m s asymetrickými konzolami 2,5 a 3,5 m.

Návrh asymetrických konzol bol vyvolaný úpravou šírkového usporiadania na moste, pričom základy podpier 2 a 3 boli vybudované už v predstihu. Táto asymetria sa prejavila posunom fažiska nosnej konštrukcie o 76 cm smerom von z pôdorysného oblúka, čo sa, pri pomerne malom smerovom oblúku, javilo vhodné z hľadiska redukcie krútiacich účinkov. Podrobny statický výpočet s priestorovým modelom však ukázal, že vplyv vyloženia vnútornej konzoly bol významnejší ako vplyv pôdorysné-

passing over the existing motorway D2. The bridge is curved in both planes. The crossing angle is 34.6°.

The bridge length is 186.3 m. The bridge consists of 5 spans of in-situ cast prestressed concrete. The roadway width conforms to a half motorway sectional profile with 11.75 m clearance between safety barriers.

The subsoil consists of quaternary sediments, mostly sand gravel of thickness 8 to 13 m, on a neogen bed. The in-situ tests reported considerably high variations in sediments compactness.

Foundation and substructure

It was supposed to set the piers on large diameter cast-in-place bored piles (system Delmag) with additional cement grout injection of the pile toe. Taking into consideration economy and effectiveness of injection in given geological strata a vibro-grap method of pile construction was chosen. Following dynamic-penetration site tests have confirmed the designers assumptions. The vibration effect has resulted in significant compaction of surrounding subsoil enabling thus to shorten the pile length and to exclude injection. Conforming the restrictions under the bridge the piers consist of double or single circular pier embedded into foundation slab.

Superstructure

Structurally, the deck is designed as a continuous beam of in-situ cast prestressed concrete constructed by span-by-span method on fixed falsework with four spans of $25 + 40 + 45 + 25$ m. Restricted by vertical clearances in the interchange, the depth has to be minimised to 2 m (depth/span ratio 1/22,5). On its cross-section the deck is made of a single box beam with asymmetric cantilevers of 2,5 and 3,5 m. This solution induced due to additional arrangement of cross-sectional profile characteristics on the bridge was made at times when foundation of piers 2 and 4 had already been built. The asymmetry resulted in a shift of the centre of gravity out of the horizontal curve ($R = 249$ m) by 76 cm. It seems to be rather convenient from the view of torsion reduction.

A detail structural analysis of 3D beam finite element model, however, has revealed reduction of torsion due to asymmetry but increased magnitude of vertical forces on internal piers. This is the reason why internal bearings at piers 2, 4, and 5 are „illogically“ larger (11, or

respectively 13 MN) than the external bearings (7, or respectively 7,5 MN).

Pozdĺžne predpätie nosnej konštrukcie zabezpečujú káble vytvorené z 12 lán ϕ Ls 15,5/1,800 MPa. Navrhnuté sú ako priame káble pri hornom a dolnom okraji a zdvihané káble vedené v trámoch. Časť kábov je spojkovaná v pracovnej škáre na konci príslušnej etapy, min. 40 % kábov cez škáru prebieha. Limitovanie hrúbky trámov kvôli zníženiu vlastnej tiaže a nové požiadavky na zvýšené krytie výstuže betónom neumožnili spojovať v tráme vedľa seba viac ako jeden kábel. To si späťe vyžiadalo riešiť pomerne zložité pôdorysné vedenie kábov v oblasti pri podperách. Aj z tohto dôvodu bola časť kábov kotvená v samostatných blokoch na spodnej doske, resp. pri tránoch.

Záver

Napriek tom, že mostný objekt predstavuje klasický typ konštrukcie, bolo potrebné počas projektových a realizačných prác riešiť niekoľko zaujímavých technických a teoretických problémov, čo prispelo k zaujímavosti a prospešnosti diela z pohľadu projektanta a aj zhodnotiteľa.

respectively 13 MN) than the external bearings (7, or respectively 7,5 MN).

The longitudinal prestressing consists of tendons of 12 strands ϕ Ls 15,5/1,800 MPa. The tendons are designed as straight tendons at a top and bottom flange and draped tendons in webs. A part of the tendons has been coupled in construction joints at the end of the respective construction section. Minimum 40 % of continuity tendons pass through the construction joints without coupling.

Limiting of the web thickness due to dead-weight reduction and new requirements to increase the concrete cover has not allowed to couple horizontally more than one tendon in the web. Consequently it was necessary to solve relatively complicated tendons layout in the area of piers. For this reason some tendons were anchored in concrete blocks situated in the fillet between the web and the flange or on bottom flange.

Conclusion

The bridge is an example of a typical bridge structure. Despite of this, due to implementation of the Project in stages with consequent changes, several technological and theoretical issues had to be addressed during its design and construction. This has made the work of both designer and contractor more interesting.



**Lipské
veľtrhy
pozývajú:**

DACH+WAND Leipzig 1998

20. až 23. mája 1998

Medzinárodný veľtrh a kongres pre techniku striech, stien a tesnení

HolzTec '98

3. až 6. septembra 1998

Odborný veľtrh pre spracovanie dreva a plastov, rozšírený o oblasť interiérových úprav

SHKG Leipzig '98

30. septembra až 3. októbra 1998

Nový odborný veľtrh pre sanitárnu techniku, vykurovanie, klimatizáciu a automatizáciu budov

denkmal '98

28. až 31. októbra 1998

Európsky veľtrh pamiatkovej starostlivosti a obnovy miest

Leipziger Messe GmbH, PF 10 07 20, D-04007 Leipzig
Presse- und Öffentlichkeitsarbeit
E-mail: pr@leipziger-messe.de, internet: http://www.leipziger-messe.de
Tel.: (03 41) 6 78-0, fax: (03 41) 6 78-81 82

Zastúpenie Lipských veľtrhov pre SR
LS CONSULTA, s. r. o., Karpatská 2, SK-811 05 Bratislava
Tel.: ++421/7/35 22 76, 35 22 78
Fax: ++421/7/35 22 91

Most D 202-00 na diaľnici D1 Hybe–Važec

Bridge D 202-00 on the motorway D1 Hybe–Važec

Karol BOHUNICKÝ – Margita GAŠPARÍKOVÁ

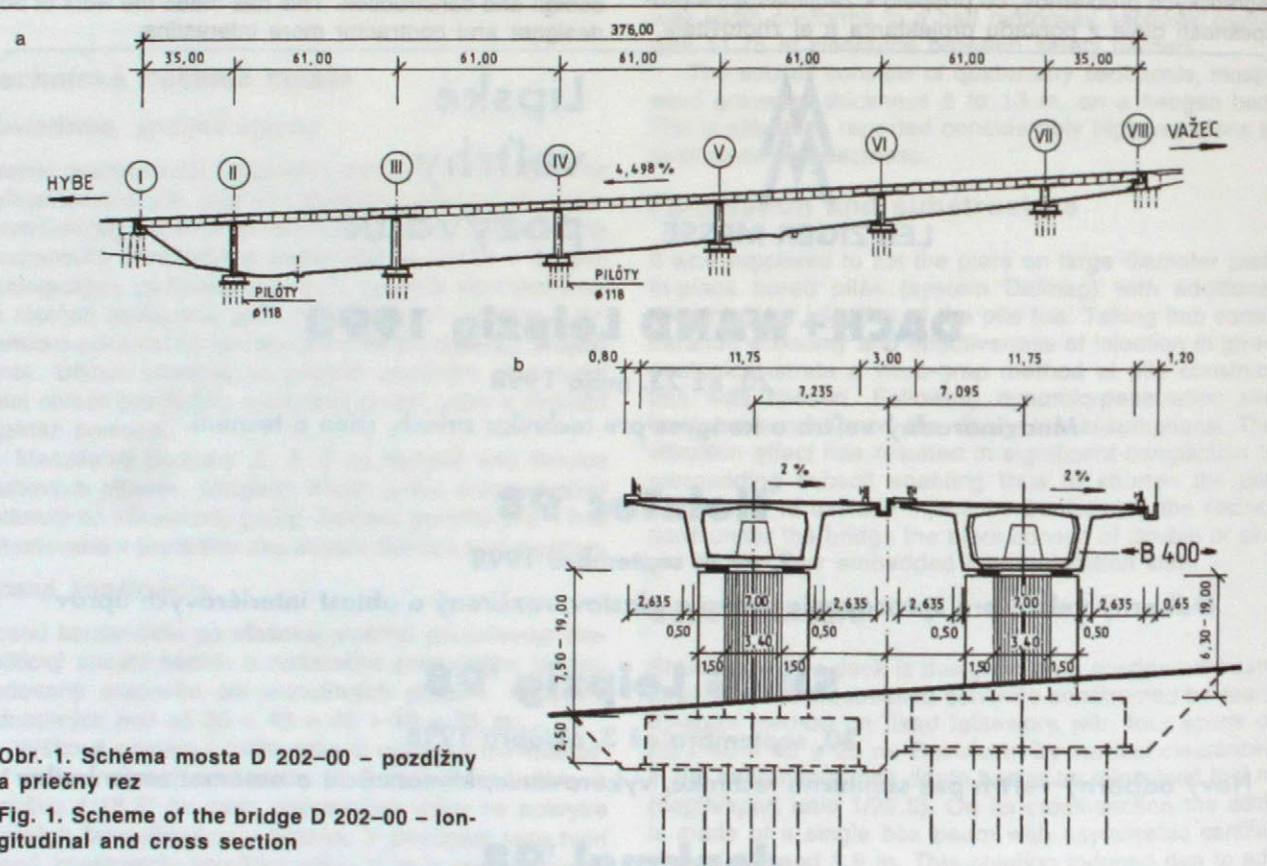
Na stavbe diaľnice D1 Hybe–Važec v km 3,24750 je situovaný most D 202-00 Východná. Je to most na diaľnici, ktorý sa skladá z dvoch mostných navzájom rovnoobežných objektov. Mostný objekt preklenuje údolie s bezmenným potokom a poľnou cestou. Uhol križenia s poľnou cestou je 70° . Voľná výška pod mostom je maximálne 20 m.

Most je navrhnutý na zafaľovaciu triedu A podľa STN 73 6203. Nosná konštrukcia mosta je monolitická spojité, z dodatočne predpätého betónu, budovaná technológiou letnej betonáže z medziťahľových podpier.

Dĺžka mosta 375 m je rozdelená na 7 polí s rozpätím

On the motorway construction D1 Hybe–Važec on the kilometer 3.24750 is situated the bridge D 202-00 Východná. That is the bridge on the motorway, which consists of two bridge objects, together parallel. The bridge object arches the valley with the stream without name and the field road. The angle of the crossing with the field road is 70° . The free height under the bridge is maximal 20 m.

The bridge is proposed for the loading class A in accordance with STN 73 6203. The bearing structure of the bridge is monolith connected, from the additionally prestressed concrete, built in the technology of free cantilever construction of the between lying piers.



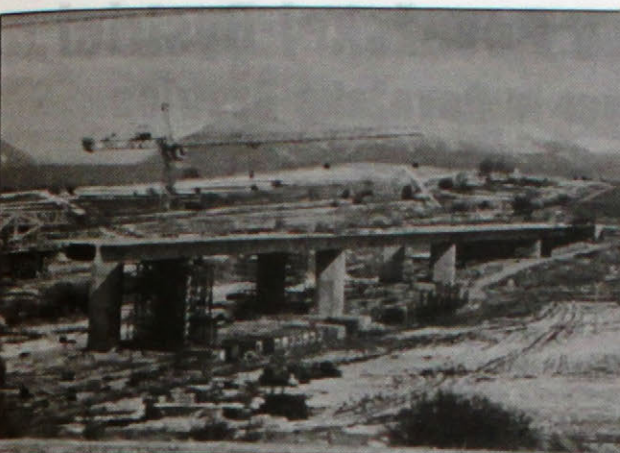
Obr. 1. Schéma mosta D 202-00 – pozdĺžny a priečny rez

Fig. 1. Scheme of the bridge D 202-00 – longitudinal and cross section

$35 + 5 \times 61 + 35$ m. Šírka mosta je 28,5 m. Stavebná výška mosta je 3,4 m. Most je priamopásový. Horná doska má v priečnom smere nábeh hrúbky 250 až 500 mm. Dolná doska má v pozdĺžnom smere premennú hrúbku 250 až 550 mm. Trámy majú v pozdĺžnom smere takisto premennú hrúbku 450 až 600 mm. Nosná kon-

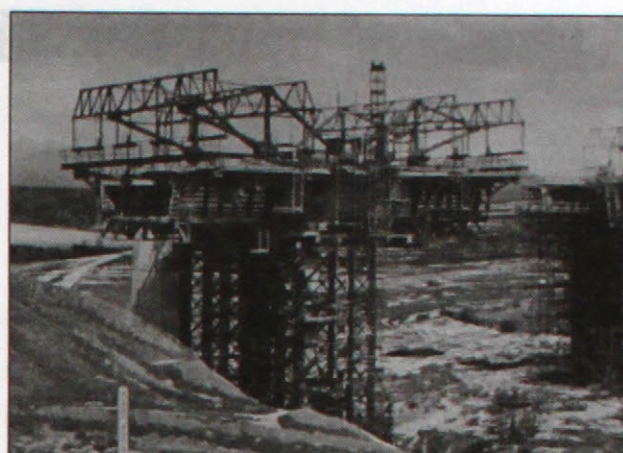
The bridge length of 375 m is divided into 7 fields with the span $35 + 5 \times 61 + 35$ m. The width of the bridge between the railings is 27.5 m. The construction height is 3.4 m. The bridge is straight. The upper slab is in the constant width of 250 mm. The lower slab has in the lengthwise direction the various width of 250–550 mm. The beams have in the lengthwise direction also the various width 450–600 mm. For the bearing structure of the bridge is used the concrete B 40. The reinforcement

Ing. Karol Bohunický – Hydrostav, a. s. Bratislava; Ing. Margita Gašparíková – Dopravoprojekt, a. s. Bratislava.



Obr. 2. Pohľad na most pred dokončením

Fig. 2. View at the bridge before completing



Obr. 3. Betonáž posledného poľa

Fig. 3. Concreting of the last field

is proposed from the grade 10 425–V and the post-tensioning reinforcement is with the ropes $\phi 12$ Lp 15.5/1,800 MPa. The tension by the post-tensioning is 1,430 MPa. The anchors, which are used, are of the type Projstar.

Most je založený na veľkopriemerových pilótoch $\phi 1180$ mm. Na pilóty sú nabetónované železobetónové monolitické pätky, do ktorých sú kotvené piliere. Piliere sa betónovali postupne po výške 3 m. Nosná konštrukcia mosta nad podperami má priečinky hrúbky 1 000 mm. V priečinku sú vynechané otvory pre prechod celou komôrkou. Most je leitmo betónovaný ako vahadlo, ktoré je osadené na pilieri so zárodkom 10,5 m a piatimi lamellami dĺžky 4,85 m. Vahadlo sa robí betónovacími vozíkmi. Po dobetónovaní vahadla sa zmonolitňuje stredná časť v dĺžke 2 m debnením zaveseným na koncoch vahadla. Zárodky boli betónované na podpernej konštrukcii Hünebeck a stabilizačná veža pod vahadlo je z konštrukcie PIŽMO.

Účastníci výstavby:

- investor: Slovenská správa ciest Bratislava,
- projektant: Dopravoprojekt, a. s. Bratislava,
- realizátor: Hydrostav, a. s. Bratislava, OZ Mochovce.

The bridge is based on the big diameter piles $\phi 1,180$ mm. On the piles are placed the reinforced concrete monolith footings, in which are tied pillars. The pillars were concreted gradually by the height of 3 m. The bearing structure of the bridge above the supports is braced with the cross beam of the thickness 1,000 mm. In the cross beam are omitted the openings for the passage during the whole chamber. The bridge is concreted like a cantilever, which is settled on the pillar with the germ of 10.5 m and with five lamellas of the length 4.85 m. The saddle is made with the concreting barrows. After the saddle concreting is the middle part monolithed on the length of 2 m with the casinghang on the ends of the saddle. The germs were concreted on the supporting construction Hünebeck and the stabilisation tower under the saddle is from the construction PIŽMO.

Participants:

- client: Slovenská správa ciest Bratislava,
- designer/consultant: Dopravoprojekt, a. s. Bratislava,
- contractor: Hydrostav, a. s. Bratislava, OZ Mochovce.

Oblúkový most cez Váh v Považskej Bystrici

Arch bridge over the Váh river in Považská Bystrica

Vladimír PIONTEK

Vedľa existujúceho päťpolového oblúkového mosta bolo treba postaviť z kapacitných dôvodov nový most. Návrh nového oblúkového mosta sa ukázal z architektonického hľadiska vzhľadom na starý most ideálnym riešením, pretože sa musel nivelaťou, tvarom a rozpätiami polí prispôsobiť starému mostu. Most prechádza cez inundačné územie, ktoré rieky Váh a energetický kanál, na ktorom sa v budúcnosti uvažuje s plavebnou prevádzkou. Podpery nového mosta musia byť v zákryte s podperami existujúceho mosta aj z hydrotechnického hľadiska.

Rozpäcia polí nového mosta sú $45 + 2 \times 50 + 45 + 50$ m. Rozpäcia prvých štyroch polí nového mosta sú totož-

Next to the existing five-span arch bridge over the Váh river (built during 1946–48) another bridge was required. With regard to the existing one and from the designers view, the best solution was to design another arch bridge.

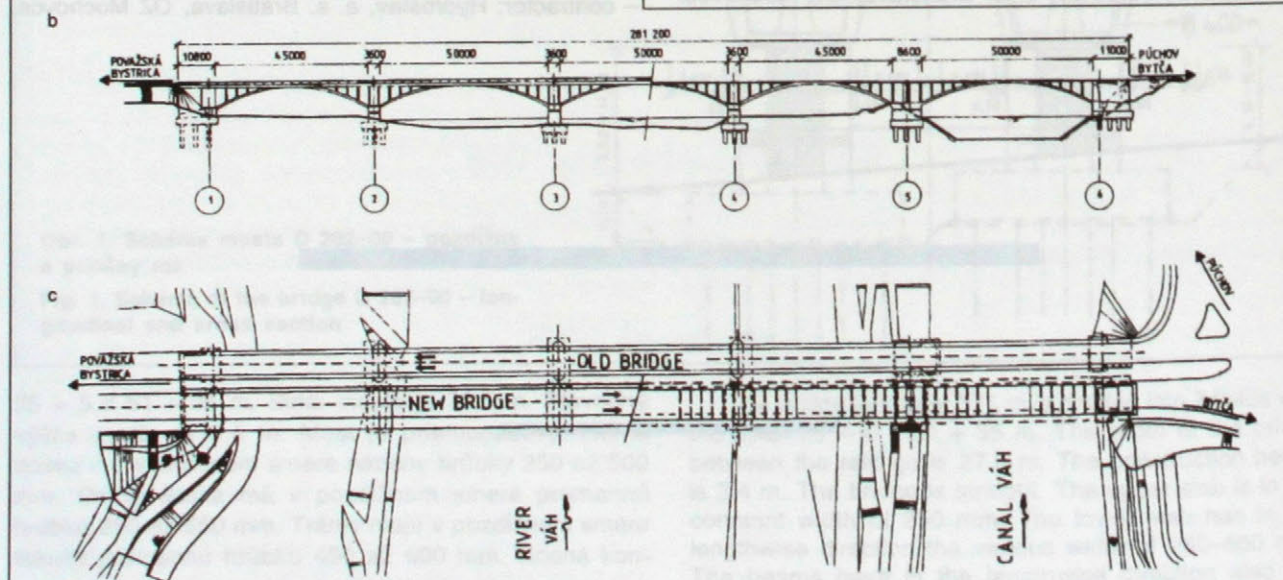
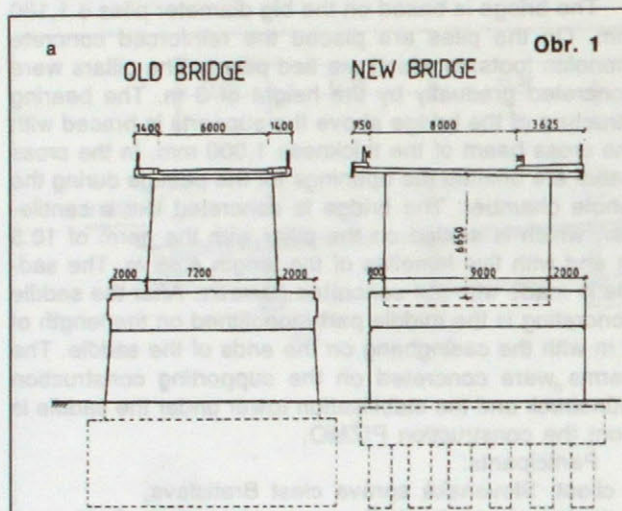
The new bridge had to be adapted to the old one by its vertical alignment, shape and spans. The bridge goes over a flood area and the river bed plus power plant channel where in future navigation is expected. The new bridge piers must be in their plan in line with those of the old bridge due to hydro-technical reasons. The new bridge spans are $45 + 2 \times 50 + 45 + 50$ m. The first four spans of the new bridge are identical with those of the existing one. The 5th span follows navigation requirements (Fig. 1).

The arches are in their bases fixed in massive piers. The rise of arches is 6.65 m in the middle. The cross-section height is 0.6 m at the top and 0.77 m at the base. The whole bridge is of reinforced-concrete. The arch and the walls are of concrete C-28 (B 30), the deck of C-35 (B 40). The static effects of arches in individual segments are individual. There is a dilatation joint dividing the deck over each pier.

The subsoil is made of a layer of coarse alluvial gravel, with a layer of sandstone and marlite underneath.

The old bridge has got spread footings. Due to the vicinity of the old bridge foundations and lack of information concerning their real position, deep founding has been preferred.

All the bridge piers have been based on large diameters piles ($\phi 1,230$ mm) excavated by a vibratory grab.



Ing. Vladimír Piontek – Dopravoprojekt, a. s. Bratislava.

né s rozpäťami existujúceho mosta. Rozpätie piatého pola nad kanálom zohľadňuje požiadavku pre plavebný gabarit (obr. 1).

Oblúky sú v pätkách votknuté do masívnych podpier mosta. Vzopätie oblúkov v strednici je 6,65 m. Hrubka oblúkov vo vrchole včítane mostovky je 60 cm, v pätkach 77 cm. Celá nosná konštrukcia je zo železobetónu. Oblúk a steny sú z betónu C-28 (B 33), mostovka z C-35 (B 40). Staticky pôsobia oblúky v každom poli samostatne. Nad každou podperou je mostovka predelená dilatačnou škárou.

Podložie pre založenie mosta tvorí aluviálna vrstva hrubého štrku, pod ktorou sa nachádza vrstva pieskovcov a slieňovcov.

Starý most je založený plošne. Vzhľadom na blízkosť základov starého mosta a zároveň ich nepotvrdenú skutočnú realizáciu, bolo navrhnuté hlbinné zakladanie.

Všetky podpery mosta sú založené na veľkopriemyselových pilótaх $\phi 123$ cm hlbencích vibrodrapákovou metódou. Pilóty sú votknuté do armovaných základových pätek a do vrstvy poloskalných hornín.

V tomto ojedinelom prípade, keď vedla tradičnej oblúkovej konštrukcie bolo treba postaviť nový most, bolo hlavnou prioritou zachovať ráz daný pôvodnou mostovou konštrukciou. Najpriateľnejším riešením bolo zopakovať tvar oblúkov už existujúceho mosta (obr. 2).

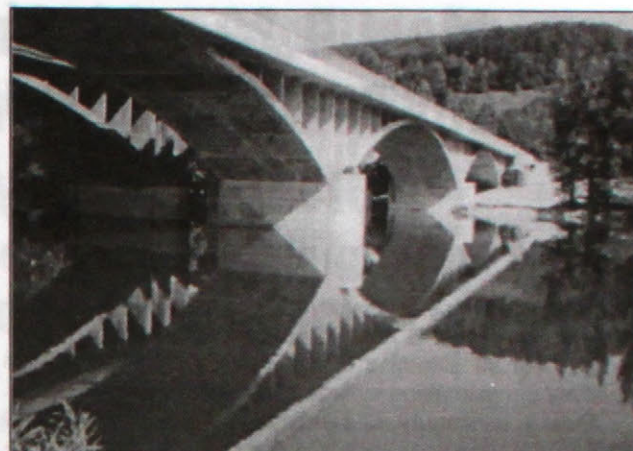
Technológia výstavby na pevnej skruži bola použitá vzhľadom na nerovnakú dĺžku polí a ojedinenosť výstavby takejto oblúkovej konštrukcie.

Zúčastnené organizácie:

- investor: Slovenská správa ciest – investorský útvor Banská Bystrica-Žilina,
- projektant: Dopravoprojekt, a. s. Bratislava,
- realizácia: Cestné stavby, s. r. o. Žilina.

LITERATÚRA

- [1] Piontek, V.: Oblúkový most cez Váh v Považskej Bystrici. Inžinierske stavby, 45, 1997, č. 3, s. 123–124.



Obr. 2

The piles have been fixed in reinforced base toes and into a semi-rock layer.

Conclusions

In this unique case, where a new bridge was built right next to a traditional arch structure, priority No. 1 was to preserve the original nature derived from the original bridge. The best acceptable solution was to repeat the shape of arches of the existing bridge (Fig. 2).

The superstructure was cast-in-place on a fix false-work. The technology was applied due to unequal length of individual segments and the unusual repetition of the arch structure.

The bridge was put into operation in 1997.

Construction participants:

- investor: Slovenská správa ciest – investičný útvor Banská Bystrica-Žilina,
- design: Dopravoprojekt, a. s. Bratislava,
- producer: Cestné stavby, s. r. o. Žilina.

Most D 207-00 Jánošíkova studnička

Bridge D 207-00 Jánošíkova studnička

Milan ŠTADLER

Na stavbe diaľnice D1 Hybe-Važec je v km 5,74450 vyprojektovaný most D 207-00 Jánošíkova studnička. Diaľničný most sa skladá z dvoch rovnobežných mostných objektov s maximálnou výškou pod mostom viac ako 20 m.

Most je navrhnutý na zafažovaci triedu A podľa STN 73 6203. Nosná konštrukcia je monolitická, spojité, z dodatočne predpäťného betónu, budovaná technológiou letnej betonáže z medzifahlíkých podpier.



Obr. 1. Prvé nasadenie betónových vozíkov

Fig. 1. First using of concrete barrows

Dĺžka mosta 375 m je rozdelená na 7 polí, s rozpätím $35 \times 5 \times 61 + 35$ m. Priečny rez mosta je jednokomôrková konštrukcia s obojstrannými konzolami vyloženými 3,13 m. Celková šírka komôrkovej konštrukcie s konzolami je 13,27 m. Výška komôrky je v pozdĺžnom smere konštantná 3,3 m. Horná doska má konštantnú hrúbku 250 mm. Dolná doska a trámy majú premenlivú hrúbku. Priečny sklon mosta je vytvorený natočením komôrky. Na nosnú konštrukciu je použitý betón B 40. Predpínacie výstuž tvoria laná $12 \phi Lp 15,5/1800$ MPa, ktoré se predpnú na 1 470 MPa. Kotvy sú typu MONOS 2400.

Spodná stavba sa skladá z dvoch opôr I. a VIII. a zo šiestich medzifahlíkých podpier – pilierov II. až VII. Podperry sú založené na monolitických pätkách uložených na vŕtaných pilótoch.

Investorom stavby diaľnice D1 je Slovenská správa cest, a. s. Bratislava. Projektantom mosta D 207-00 je Dopravoprojekt, a. s. Bratislava. Realizátorom stavby mosta D 207-00 je Hydrostav, a. s. Bratislava, OZ Podunajské Biskupice.

Ing. Milan Štadler – Hydrostav, a. s. Bratislava.

On the motorway construction D1 Hybe–Važec is on the kilometer 5.74450 designed the bridge D 207-00 Jánošíkova studnička. The motorway bridge consists of two parallel bridges of the maximal height under the bridge more than 20 meters.

The bridge is designed for the loading class A according STN 73 6203. The bearing structure is monolithic, continuous made from post-tensioned prestressed concrete built with free cantilever method.

The bridge length of 375 m is divided into 7 fields with spans $35 + 5 \times 61 + 35$ m. The cross section of the bridge is one chamber construction with double sided cantilevers with reach 3.13 m. Total width of the chamber construction with cantilevers is 13.27 m. The height of the chamber is in longitudinal direction constant 3.3 m. Upper slab has constant thickness 250 mm. Lower slab and beams are of variable thicknesses. Cross inclination of the bridge is created by chamber rotation. For bearing structure is used concrete B 40. Prestressing steel are strands $12 \phi Lp 15,5/1,800$ MPa which are presressed to 1,470 MPa. The anchors are of the type MONOS 2400.



Obr. 2. Nosná konštrukcia pred dokončením

Fig. 2. Bridge superstructure before completion

Subgrade (lower construction) consist of two abutments I. and VIII. and of six intermediate piers II.–VII. Monolithic base of piers are placed on bored piles.

The building owner of the motorway D1 is Slovenská správa cest Bratislava. The designer of the bridge D 207-00 is Dopravoprojekt, a. s. Bratislava. The construction of the bridge 207-00 realized Hydrostav, a. s. Bratislava, OZ Podunajské Biskupice.

Diagnostikovanie a oprava nedostatočne zainjektovaných kálových kanálkov predpäťých betónových mostov

Diagnostics and rehabilitation of incompletely grouted cable ducts in prestressed concrete bridges

Ján KUCHARIK – Miroslav ČERVEŇAN

Každoročne sa na Slovensku realizujú opravy a rekonštrukcie diaľničných a cestných mostov a medzi nimi sa vyskytujú i mosty z dodatočne predpäťného betónu. Opravy a rekonštrukcie sa vykonávajú na základe projektov, ktoré vychádzajú z výsledkov prehliadok a diagnostických prieskumov týchto objektov. Ak má stavebný zásah priniesť požadovaný efekt, je nutné, aby sa diagnostikovali existujúce poruchy konštrukcie a stanovil sa ich rozsah a intenzita. V prípade mostov z dodatočne predpäťného betónu je pre vypracovanie kvalitného projektu dôležité poznať:

- stav injektáže kálových kanálkov,
- stav korózie predpínacej výstuže,
- veľkosť predpínacej sily.

Zistenie týchto údajov vyžaduje vykonáť diagnostický prieskum, ktorý je náročný na prístrojové vybavenie a vyžaduje skúsený personál. Nemenej náročné je zhodnotenie výsledkov prieskumu a definovanie záverov, ktoré budú slúžiť ako vstupy pre projektové riešenie.

V prípade, že ochrana predpínacej výstuže nie je dostatočná, treba navrhnúť a vykonať opravu – reinjektáž kálových kanálkov. To vyžaduje použiť špeciálne technológie a vhodné materiály.

Diagnostický prieskum stavu a ochrany dodatočne predpäťej výstuže

Najefektívnejšou metódou identifikácie nedostatočnej injektáže kálových kanálkov je vizuálna kontrola pomocou endoskopu. Kontroluje sa stav injektáže predovšetkým v miestach, kde je najväčší predpoklad, že nastalo sadnutie injektážnej malty vplyvom odlúčenia a odparenia vody, ako sú kotevné oblasti a najvyššie miesta kálovej dráhy. Pre kontrolu endoskopom sa najprv vyvŕta otvor priemeru 10 až 12 mm (v závislosti od hrúbky endoskopu), prechádzajúci cez kryciu vrstvu a oceľovú trubku. Ak injektáž nie je dostatočná, skontroluje sa zároveň i výskyt vlhkosti a korózie predpínacej výstuže. Endoskop umožňuje i vytvorenie fotosnímku kontrolova-

Obr. 1. Endoskopická kontrola nezainjektovanej predpínacej výstuže so šupinkovou korózou

Fig. 1. Inspection by endoscope in incompletely grouted prestressed cable with corrosion

Ing. Ján Kucharík, CSc.; Ing. Miroslav Červeňan – VUIS-Mosty, s. r. o. Bratislava.

In Slovakia every year highway and road bridges are being repaired and reconstructed, among them the bridges made of post-tensioned concrete. Repairs and rehabilitations are based on the design elaborated as a result of observations, diagnostics and inspection on these structures. To increase the efficiency of rehabilitation it is necessary to inspect the existing damages in the structure and to determine their range and intensity. To elaborate a highly qualified design for rehabilitation of post tensioned concrete bridges the following items must be observed:

- the quality of concrete in cable ducts,
- the state of corrosion in pre-stressing tendons,
- magnitude of pre-stressing force.

To obtain these data it is necessary to make inspection, which requires high level equipment, and experienced staff. And it is also difficult to evaluate the inspection results and to define the conclusions, which will serve as an input for the repair design.

In case of insufficient protection prestressing tendons, it is indispensable to design and realize the re-grouting of cable ducts. This requires the use of special technologies and convenient materials.

Inspection of the corrosion protection in post-tensioned tendons

The most efficient method of identifying insufficient grouting of cable duct is visual control by means of endoscope. The state of grouting is being checked in places with the highest probability of appearing cavities. As a



Tabuľka 2. Charakteristiky predpínacej výstuže v závislosti od stupňa korózie
Table 2. Characteristics of prestressing wires depending on different degree of corrosion

Stupeň korózie Degree of corrosion	Úbytok ϕ Reduction (mm)	Pevnosť R_m Strength (%)	Maximálna sila F_m Max. force	
			$\phi 4,5\% (\phi)$	$\phi 7\% (\phi)$
1 bez korózie without corrosion	0	100	100	100
2 jemná povrchová slight surface corrosion	0	98	98	98
3 jamková pit corrosion	0	90	90	90
4 stredne silná medium sized surface c.	0,1	95	91	92
5 silná intensive surface corrosion	0,3	85	74	78
6 šupinková pell off corrosion	podľa skut. measured	70	$\phi \text{ skut} \times 0,7 R_m$ real diameter	

Najčastejší spôsob využitia tejto metódy je zisťovanie tlakovéj rezervy v priereze, t. j. stanovenie účinnosti predpätia. Zistené napätie zahŕňa účinky, ktoré sú viac-menej stabilizované (vlastná tiaž, predpätie, objemové zmeny betónu pod.) a účinky, ktoré sa výrazne menia počas krátkeho času (dopravné zataženie, teplota). Na krátkych mostoch preto nie je možné merať počas pre-mávky, pri väčších mostoch je nutné zabrániť vytvoreniu zhľuku vozidiel na moste počas meraní. Zároveň je potrebné zistieť priebeh teplôt v jednotlivých prierezoch, vý-počtom určiť napätie od teploty a jeho vektor od ziste-nej hodnoty napäcia odpočítat.

Výsledky diagnostického prieskumu stavu injektáže na vybraných mostných objektoch

V rámci technológie opráv nedostatočne zainjektovaných káblových kanálikov pracovníci VUIS-Mosty vykonali rozsiahly prieskum a diagnostiku stavu injektáže. Známe sú informácie z 11 mostov v Slovenskej republike a v Českej republike.

Pri diagnostike sa zisťoval stav zainjektovania, tesnosť a objem zistenej dutiny. Tento objem bol kontrolný údaj, ktorý sa porovnával s objemom injektážnej malty, spotrebovanej pri injektáži. Na základe objemu káblového kanálika a objemu výstuže na dĺžke 1 m sa určila tzv. teoretická doinjektovaná dĺžka. Skutočná dĺžka mohla byť samozrejme iná, lebo pôvodný nedoinjektovaný priestor sa môže nachádzať nad sadnutou maltou, vypĺňajúcou dno kanálika.

V tab. 3 sú uvedené vybrané údaje z reinjektáže 11 mostných objektov. Celkovo sa kontrolovalo 10 242 otvorov, resp. miest, pri ktorých bol predpoklad výskytu poruchy zainjektovania dutiny. V 3 731 prípadoch sa zistila porucha, t. j. nedostatočná alebo úplne neusku-tocnená injektáž, ktorá sa musela opraviť zväčša metó-dou vákuovej reinjektáže. Údaje v tab. 3 ukazujú, že poruchy injektáže na prefabrikovaných nosníkoch a monolitických mostných konštrukciách majú často rozdielny charakter a príčinu.

Pri prefabrikovaných nosníkoch, ktoré sa injektujú na stavenisku pred definitívnym uložením do konštrukcie

sile test. Tensile strength σ_m was determined by the rupture causing force F_m and the real cross-section area of wires. The tests results are published in Tab. 1, Tab. 2. shows the characteristics of the corroded wires, obtained by test results which are recommended for structure analysis.

The magnitude of prestressing force in the exploited structure is determined by application of technology rules during the process of prestressing, real volumes of prestressing loss and change of mechanical properties of prestressing reinforcement. Therefore it is difficult to predict the magnitude of prestressing on the base of inspection of the corrosion state in cables.

One of the best solutions is to verify the magnitude of the prestressing force by measuring stress in concrete, or by measuring directly the prestressing force in wires or strands by prestressing force measuring instrument.

To measure the stresses in concrete we prefer the hollow core drill method. It is based on the action applied on structure which causes zero stress in sample area. This change is reflected by deformation on the concrete surface. By measuring this distortion by gages we can determine original stresses. The advantage of this method consists in the possibility to determine the absolute value of stresses.

This method is most frequently used for detecting pressure allowance in concrete cross-section, i. e. quantifying prestressing efficiency. Stresses in concrete are caused by constant effect (structure load, prestressing, rheological changes in concrete, etc.) and highly chan-gable effects such as traffic load and temperature influences. In short bridges is not possible to perform measurement during the traffic, in case of long-span bridges it is necessary to eliminate the traffic jam on the bridge during measurement. We must also find temperature gradients in different cross-section, calculate stresses from temperature effects and subtract its size from the estimate value of stresses.

Result of inspection of grouting state in selected bridges

In the research of rehabilitation technologies for incompletely grouted cable ducts, VUIS-Mosty Ltd. performed

prevažne najmä porucha nedoinjektovaných úsekov v kotevných oblastiach v dĺžke 0,5 až 2 m, čo predstavuje asi 5 % dĺžky kálového kanálika. Táto porucha je spôsobená nadmerným sadnutím malty, ktoré veľmi ľahko môže nastaviť, ak sa pri technologickom postupe výroby malty nedodrží požadovaný vodný súčinnej injektážnej malty. Pri týchto prefabrikovaných nosníkoch sa vyskytli i ďalšie typy porúch, napr. úplne nezainjektovaný kábel, vytiečená malta z dutiny atď. Tieto poruchy sa ale štatisticky významne neprejavili v danom súbore porúch.

Pri monolitických mostných konštrukciách sa vo väčšej miere prejavujú práve poruchy nezainjektovania celých, resp. výrazne dlhých častí kálových dutín, ktoré sú sice počtom nie časté, ale ide o poruchy väčšieho rozsahu.

Je niekoľko príčin, že druhy a rozsah porúch pri obidvoch typoch mostných predpäťových konštrukcií sú rozdielne. Prefabrikované nosníky sa sice injektujú na stavenisku, ale prakticky na medziskládku s relatívne dobrým prístupom k injektážnym, odvzdušňovacím a výtoko-

extension survey and inspection of grouting, thus gathering data from 11 bridges in Slovak and Czech Republic respectively.

During the inspection quality of grouting tightness and volume of indicated cavity was detected. The volume of cavity was compared to the volume of grouting mortar used at repair to secure the required quality of repair. The volume of cable duct and volume of reinforcement within 1 m length determined the theoretical length of the re-grouting cable.

The real length can differ from the theoretical one, as the original non-grouted space can be situated above settled mortar, which fills the bottom of the duct.

Tab. 3 shows the selected data from the repair (re-grouting) of 11 bridges. The total number of inspected cavities or spots with high probability of deteriorations is 10 242.

In 3 731 cases incompletely grouted or ungrouted ducts were found which had to be injected by vacuum re-grouting method.

Tabuľka 3. Vybrané údaje z reinjektáže mostných objektov v SR a ČR

Table 3. Some data from the repair of bridges in Slovak and Czech republic

Číslo No.	Opis konštrukcie, rok inejktáže Type of structure, year of repair	Počet kontrolovaných otvorov Number of inspected holes	Počet (%) nezainjektovaných otvorov Number (%) of incompletely grouted cavities	Celková reinjektovaná dĺžka (m), resp. objem dutín (l) Total repaired length (m) and volume of cavities (l)	Priemerná, reinjektovaná dĺžka (m), resp. objem dutín (l) Average length of repaired cavity (m) and their volume (l)
1	15-poľový cestný most, prefabrikované nosníky, ČR 1994 15-span road bridge, precast beams	4 860	1 035 (21,3 %)	1 554 m 3 575 l	1,5 m 3,45 l
2	5-poľový diaľničný most, prefabrikované nosníky I-67/30 m, ČR 1994 5-span highway bridge, precast beams I-67	1 487	978 (65,8 %)	1 233 m 1 480 l	1,26 m 1,51 l
3	2-poľový diaľničný most, prefabrikované nosníky KA 73/18 m, ČR 1995 2-span highway bridge, precast beams KA	896	248 (27,6 %)	470 m 288 l	1,9 m 1,16 l
4	3-poľový cestný komôrkový most, ČR 1995 3-span road box girder bridge	neznámy unknown	326	603 m 700 l	1,85 m 2,14 l
5	2-poľový trámový predpäť monolitický cestný most, ČR 1995 2-span girder monolithic bridge	600	129 (21,5 %)	770 l	5,97 l
6	5-poľový cestný most, prefabrikované nosníky I-73, SR 1996 5-span road bridge, precast beams I-73	256	96 (37,5 %)	127 l	1,33 l
7	2 jednopofové diaľničné mosty prefabrikované nosníky I-74/30 m, ČR 1996 2 single highway bridges, I-74 beams	160	75 (46,9 %)	87 m 94 l	1,16 m 1,25 l
8	2 diaľničné mosty po 4 poliach prefabrikované nosníky I-67/27 m, ČR 1997 2 highway 4-span bridges I-67 beams	462	284 (61,5 %)	250 m	0,9 m
9	3-poľový cestný most, prefabrikované nosníky, ČR 1997 3-span road bridge, precast beams	1 138	686 (60,3 %)	2 470 l	3,6 l
10	2 dvojpofové diaľničné mosty, monolitická predpäť komôrková konštrukcia, ČR 1997 two 2-span highway bridges, monolithic concrete box girder	96	6 (6,3 %)	95 l	15,8 l
11	5-poľový spojité monolitický komôrkový predpäť most nad diaľnicou, SR 1997 5-span monolithic concrete box girder	287	194 (67,6 %)	1 086 m	5,6 m

vým otvorom. Dĺžka nosníkov nepresahuje 30 m, čo umožňuje kontrolu injektáže i v miestach stykov prvkov nosníkov. Označenie, poloha a vzájomná prepojenosť injektážnych a výtokových otvorov sa pri nosníkoch opakujú a umožňujú rutinnú a zabezpečenú prácu.

Monolitické alebo segmentové predpäté spojité mostné konštrukcie majú naproti tomu pomerne dlhšie dráhy kálových kanálkov, ktoré sú často vedené a označené komplikované. Takisto často nie je možný stály prístup k celej konštrukcii počas injektáže, a tým aj jej kontrola. Injektážna súprava sa na takýchto konštrukciách musí presúvať, prístup a pracovný priestor pri niektorých injektážach môže byť fažko prístupný. Tieto technologické podmienky sa ako príčiny nekvalitného injektovania priečnej výstuže prejavujú i na mostoch z prefabrikovaných nosníkov. Priečna predpätá výstuž sa takisto injektuje až po uložení nosníkov na opory a technologické podmienky injektáže tejto výstuže sú podobné ako pri monolitických mostoch. Pri segmentových konštrukciách sa vyskytuje i problém kvalitného napojenia injektážnych kanálkov v miestach stykov segmentov a možnosť výskytu vzájomného neželaného prepojenia kálových dutín, resp. nezistiteľného a neopravitelného výtoku injektážnej malty počas injektáže, pretože miesta výtoku malty nemusia byť operatívne prístupné.

Pre podrobnejší rozbor príčin porúch injektáže sa dajú aplikovať i ďalšie informácie získané počas reinjektážnych prác, napr. podrobnejšie štatistické rozdelenie jednotlivých kategórií veľkostí nezainjektovaných dĺžok. Tie-to poznatky môžu pomôcť pri odhadе množstva potrebných reinjektážnych prác pri plánovaní rekonštrukcií mostov, ako aj pri tvorbe podmienok spoľahlivosti ochrany predpätej výstuže v závislosti od technologických postupov a podmienok v metodikách návrhu alebo hodnotenia spoľahlivosti mostnej konštrukcie.

Záver

Nedostatočne zainjektované kálové dutiny patria medzi typické poruchy moderných predpätných mostných konštrukcií. Uvedenej problematike diagnostikovania, klasifikovania a opráv porúch kálových dutín sa venuje zvýšená pozornosť a sú súčasťou výskumného programu. V rámci neho bolo vyvinuté zariadenie pre vákuovú reinjektáž a nové druhy modifikovaných injektážnych mál s vyššími kvalitatívnymi parametrami (nízke sadanie, minimálne zmrašťovanie a vyššia pevnosť). Výsledky sa úspešne aplikovali pri opravách mostov.

LITERATÚRA

- [1] Technicko-kvalitatívne podmienky pre opravy a rekonštrukcie mostov; časť 19.1 Reinjektáž kálových kanálkov, SSC Bratislava, 1997.
- [2] Injektáž kálových dutín modifikovanou maltou, výstup RV 3/1 vedecko-technického projektu 95-5180-712, VUIS-Mosty 1997.
- [3] Technologické pravidlá pre injektáž kálobetónu, výstup RV 3/2 VTP 95-5180-712, VUIS-Mosty 1997.
- [4] Červeňan, M.: Reinjektáž kálových kanálkov pri rekonštrukcií mostov. In: Zborník kolokvia Rekonštrukcie a zosilňovanie betónových mostov, Praha 1993.
- [5] Metódy a zariadenia na zisťovanie vlastností a sledovanie správania sa mostov a na diagnostikovanie porúch, výstup PV 4/2.1 VTP 95-5180, VUIS-Mosty 1997.

The data in Tab. 3 show that incomplete grouting in prestressed beam bridges and cast in situ concrete bridges have often different character and cause.

In precast post-tensioned concrete beams, which are injected in situ before assembling the most frequent deterioration are the ungrouted parts of cable ducts in anchorage zone throughout the length 0.5–2 m, which represents 5 % of cable duct length. This effect is caused by bleeding of mortar, which can occur during the mixing process when w/c – ratio has not been observed. In the precast beams also other types of damages occurred, i. e. completely ungrouted tendon, leaking mortar from duct, etc. These damages are not statistically considerable in the observed group of damages.

In monolithic concrete bridge structures occur also ungrouted cavities of great lengths. They are less frequent, but more dangerous.

There are several reasons why the two kinds of prestressed concrete bridge structures show damages of different kind and size. The precast beams are grouted in situ but there is a good access to grouting holes, vents and outlet holes. The beams are usually not longer than 30 m, which enables grouting inspection to be performed even in the joints of beams elements. Location of grouting and outlet holes is constant and therefore easy to work with.

Monolithic or segmental multispan bridges have longer cable ducts with complicated route of cables. This type does not enable free access to the structure and therefore the thorough inspection is not possible. Grouting equipment must be replaced and in some grouting position the access is difficult. These technological conditions cause problems during grouting in transverse prestressed tendons in bridges assembled from precast beams. Transverse prestressed tendons are grouted after assembling. Technological conditions are similar to those in monolithic structures.

In case of segmental structures the problem is high quality connection of cable duct in segment joints or slight leakage of grout mortar.

The analysis of causes of incomplete grouting cable ducts can contribute to define the volume of repair works when organizing bridge rehabilitation programme. This analysis can be applied in stating the rules and regulations of protection of prestressed reinforcement arising from technologies and conditions of application. The output of this analysis can be applied in reliability analysis of bridge structures.

Conclusion

Incompletely grouted cable ducts are a typical damage in prestressed concrete bridge structures. The above mentioned problems of diagnostics, inspection and classification of damages in grouted ducts are paid special attention in the research programme in Slovakia. In this programme we have developed special equipment for vacuum grouting and new types of modified grouting mortars with higher parameters (low bleeding, minimal shrinkage and higher strength). These results are applied in the repair of incompletely grouted cable ducts.

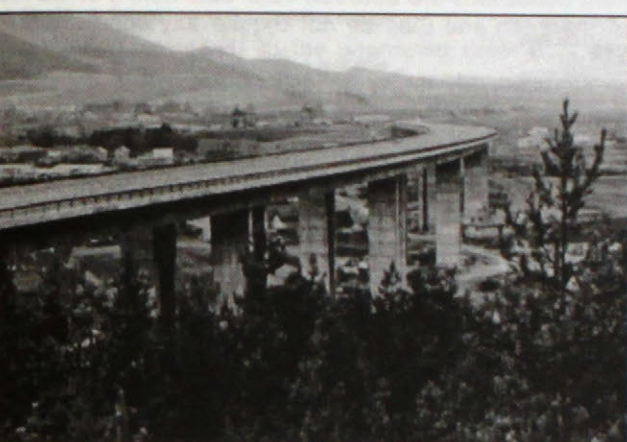
The actual situations in materials and technologies resulting from research enables higher level of bridge rehabilitation.

Obnova a zosilnenie predpäťia viaduktu Podtureň

Rehabilitation and strengthening of the Podtureň viaduct prestress

Ladislav BÚCI

Viadukt Podtureň prevádzka diaľnicu D1 pri Liptovskom Mikuláši na dĺžke 1 038 m cez široké údolie rieky Váh a vo výške do 35 m nad terénom. Postavený bol v rokoch 1979 až 1983 technológiou letmej montáže (obr. 1).



Obr. 1. Celkový pohľad na viadukt

Fig. 1. General view of the viaduct

Počas 15-ročnej prevádzky mosta boli pozorované na ňom niektoré nedostatky rôzneho pôvodu. Hlavné z nich súvisia so zatekaním z vozovky do nosnej konštrukcie a cez kontaktné škáry medzi segmentami ku káblom predpínacej výstuže. Ich životnosť môže byť veľmi ohrozená koróziou najmä v miestach, kde nie sú dostatočne chránené injektážou. Aj z týchto dôvodov, na základe rozsiahleho overenia kvality pôvodnej injektáže a stavu káblov, analýzy pozorovaných trhliniek a pretvorení, sa rozhodlo o sanácii predpäťia.

Situačný opis premostenia

Viadukt tvoria dva súbežné samostatné objekty, navrhnuté ako spojité nosníky, s rozpätiami polí 58 až 70 m. Nosná konštrukcia každého z nich je delená na 3 dilatačné celky, vzájomne spojené kľbami uprostred skrátených polí. V priečnom smere má nosná konštrukcia komôrkový prierez stálej výšky 3,8 m (obr. 2).

Spôsob predpäťia nosnej konštrukcie zodpovedá technológií výstavby (obr. 3). Použité sú káble z lán 10 φ Lp 15,5/1 600 s veľkosťou predpínacej sily 1 160 kN.

Ing. Ladislav Búci, CSc. – Dopravoprojekt, a. s. Bratislava.

The D1 motorway near Liptovský Mikuláš crosses a wide valley of the river Váh by the 1,038 m long viaduct Podtureň some 35 m above the ground level. The bridge was built during 1979–1984 free cantilever method (Fig. 1).

During 15 years of its operation, some defects of different origin have been observed. The major ones are related to leaking from the bridge carriageway into the cells of the superstructure and to prestressing cables through joints between precast segments. The cables durability may thus be seriously jeopardised by corrosion, in particular at places insufficiently protected by grouting. For this and some other reasons, and based on an extensive quality inspection of the original grouting and condition of cables, and an analysis of cracks and deflection, it was decided to carry out remedial works.

A brief description of the bridge

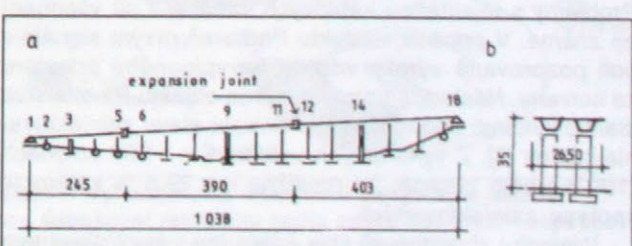
The viaduct consists of 2 parallel independent structures designed as continuous beams with spans of 58–70 m. The segmental superstructure of each of them has been divided into 3 dilatation units, interconnected by expansion joints in the middle of the shortened spans. In its cross-section, the superstructure is of box girders of constant height of 3.8 m (see Fig. 2).

The prestressing cables layout is in compliance with the applied method of construction (Fig. 3). The cables used consist of 10 strands φ Lp 15.5 mm/1,600 with prestressing force of 1,160 kN/cable.

Defects observed and their reasons

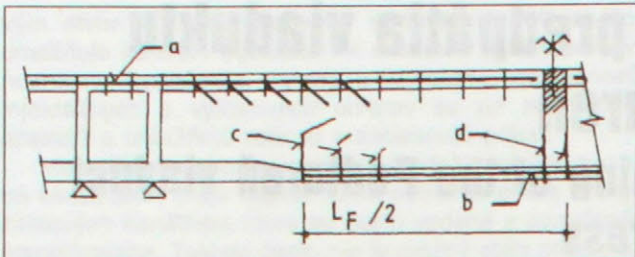
All defects observed and diagnosed (except for leaking, which will be remedied by water-proofing membranes replacement) are related to the deck prestressing and are the following:

– cracks in superstructure webs,



Obr. 2. Pozdĺžny a priečny rez mosta

Fig. 2. Longitudinal and cross section of the bridge (scheme)



Obr. 3. Pozdĺžny rez usporiadania kálov

a - horné káble, rady A, B-E, b - dolné káble, rad F, c - pozorované roztvorenia škár a šikmé trhlinky, d - zmrašťovacie škáry

Fig. 3. Cables layout – longitudinal section

a - cables at the level of the upper flange (A, B-E), b - cables at the level of the bottom flange (F), c - observed opening up of joints and inclined cracks, d - shrinkage cracks on both sides of the cast in situ segment

Pozorované nedostatky a ich príčiny

Všetky pozorované a diagnostikované nedostatky okrem zatekania, ktoré bude odstránené výmenou izolácie na viadukte, súvisia s predpäťom nosnej konštrukcie. Ide o:

- trhlinky v stenách nosnej konštrukcie,
- lineárny nárasť trvalého pretvorenia v poliach s kľom,
- nedostatočné zainjektovanie kálových kanálikov,
- korózia predpäťej výstuže a neúplnosť kálov.

Trhlinky v stenách nosnej konštrukcie

Trhlinky sa vyskytujú obyčajne v polohe, kde sú ukotvené káble radu F v spodnej doske komôrky. Ich šírka sa pohybuje v rozmedzí 0 až 1,1 mm. Spôsobené sú skrátením dolného vlákna konštrukcie od predpäťia týmto káblami na dĺžku L_F z dôvodu spojitosťi nosnej konštrukcie a dotlačením škár od zmrašenia monolitického segmentu po jeho stranach uprostred rozpätia (obr. 3).

Lineárny nárasť trvalého pretvorenia v poliach s kľmi a stav v poliach bez kľov

Maximálne trvalé priehyby aj pri max. $l = 70$ m dosahujú 15 až 32,9 mm, čo je 1/2100 rozpäťia a netreba im venovať pozornosť.

Podstatne väčšie priehyby sú uprostred skrátených polí s kľom pri rozpäti 58 m, kde dosahujú hodnoty 44 až 63 mm a narastali približne lineárne. Tieto priehyby nie sú dôsledkom straty predpäťia, pretože nad piliermi v kľových poliach neboli pozorované žiadne trhlinky. Súvisia so spojitosťou štíhlej nosnej konštrukcie a pomerom dĺžok príhláškých polí k polu s kľom (obr. 4).

Nedostatočné zainjektovanie kálových kanálikov

Problémy s injektážou kálových kanálikov sú všeobecne známe. V prípade viaduktu Podtureň prvým signálom boli pozorované výtoky vody z nevyplneného priestoru za kotvami. Následne potom správca objektu Riadielstvo diaľnic vykonal endoskopickú kontrolu stavu zainjektovania kálov [3]. Z vykonaných vyšetrovani v 1 060 polohách (100 %) bolo zistené, že približne len 29,5 % kálov je správne zainjektovaných.

Výsledky zhodnocujú stav kábla len v kontrolovanom otvore, podľa toho či bol, alebo nebol zainjektovaný. Vyjadrujú presne číselný stav, ale len orientačne skutočný stav jeho zainjektovania.

- linear increase of permanent deformation in spans with expansion joints,
- insufficient grouting of cable ducts,
- corrosion of prestressing cables and cables incompleteness.

Cracks in superstructure webs

Cracks usually appear at places where the F type cables are anchored in the bottom flange of the box. They are 0.1–1.1 mm wide. They have been caused by shortening of the box bottom fibre from prestressing by these cables at a length of L_F due to the continuity of the superstructure and by pressing the shrinkage cracks in the middle of the span (Fig. 3).

Linear increase of permanent deformation in spans with expansion joint and situation in other spans

Even in the longest span with $l = 70$ m, maximum permanent deflections are between 15.0–32.9 mm, i. e. 1/2100 of the span and thus do not require any special attention.

Considerably larger deflections are in the middle of the shortened 58 m long spans with expansion joints. They are within a range of 44–63 mm and increase approximately linearly. The mentioned deflections have not resulted from prestress losses, as no cracks have been observed over the piers of the shortened spans. They result from the continuity of a slender superstructure and the ratio of the lengths of adjacent spans to the shortened one (Fig. 4).

Insufficient grouting of cable ducts

Problems related to grouting of cable ducts are generally known. In the case of the Podtureň viaduct, the first indication of grouting failures was water outlet from the unfilled space behind the cable anchors. Following these observations, the bridge owner (Slovak Road Administration) carried out endoscopic verifications of the cables grouting [3]. If the number of spots tested (1,060) is 100 %, approximately 29.5 % of them were grouted adequately.

The results represent an assessment of the cables situation in the tested spots only with a view whether or not the cable has been grouted. They express exactly the numerical situation, but only roughly the real situation of grouting.

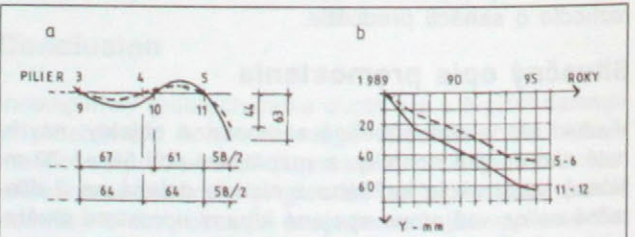
Obr. 4. Trvalé priehyby uprostred kľových polí
a - vplyv spojitosťi a pomery polí na pokles, b - približne lineárna tendencia narastania priehybu v poliach 5-6 a 11-12

Fig. 4. Permanent deflection in the middle of span with expansion joint
a - effect of continuity and spans ratio on the deflection,
b - approximately linear trend of the deflection increase in span 5-6 and 11-12



Obr. 5. Pohľad na kotvu v rúrke nezainjektovaného kábla a chýbajúce lano

Fig. 5. View of anchor in the ungrouted cable duct and strand missing

S cieľom predĺžiť životnosť pôvodného predpäťia bola vykonaná reinjektáž kálov. Práca je vysoko odborne náročná, ale s malou spoľahlivosťou (obr. 6). Reinjektovaný bol preto len horný rad horných kálov a dolné káble radu F, ktoré treba zachrániť vzhľadom na ich účinnosť. Ostatné horné káble možno nahradí voľnými.

Korózia predpäťej výstuže

Rozsah korózie sa odhadoval podľa:

- a) overenia stavu skorodovania in situ. Korózivný prieskum predpínajacej výstuže vykonal VÚIS-Mosty [4]. Overený bol stav na 10 káblach v 7 polohách s výsledkami:
- úbytok hmotnosti vplyvom povrchovej korózie 0,21 až 0,65 %,
- úbytok pevnosti vplyvom aj interkryštalickej korózie 0 až 4,8 %.

Pri prieskume boli zistené aj ďalšie skutočnosti:

- nedôsledné predpätie – prekrženie lán v kábli,
- neúplný počet lán v káblach – v 2 odkrytých káblach počet lán bol 6 a 8 namiesto 10 (obr. 5).

Kedže pochody šetrení boli volené v miestach s viditeľnými poruchami, nemožno získať výsledky zovšeobecnit pre celý viadukt;

b) normových údajov potvrdených skutočnosťou. Rýchlosť korózie závisí od makro- a mikroklimatických podmienok, v ktorých sa predpäťa výstuž nachádza, vyjadrených korózivnou agresivitou prostredia podľa ČSN 03 8203/79. Pre jej 3.–4. stupeň je zodpovedajúca ustálená rýchlosť korózie 25 µm/rok resp. 40 µm/rok, ak treba počítať aj s účinkom chloridov. Tieto podmienky zodpovedajú stavu mosta cez Hron v Tlmačoch, ktorý mal podľa nich kolapsovať po 20 rokoch. Stalo sa tak po 22 rokoch, t. j. prakticky v zhode. Ak uvážime, že viadukt Podtureň je v rovnako agresívnom prostredí, normová životnosť jeho nedostatočne chránenej predpäťej výstuže by sa dostala do kritického stavu po približne 18 rokoch (Fig. 7). Výsledky korózívnej diagnostiky VÚIS-Mosty takýto stav naďaste nie nepredpokladajú, ale spoľahlivosť predpäťia treba zabezpečiť.

To increase the durability of the original prestressing, re-grouting of cables was carried out. This is a very exacting work, however, with a low reliability (Fig. 6). Due to this fact, only the cables at the level of the upper flange A and of the bottom flange F were re-grouted, as these need to be saved for their effectiveness. The remaining cables may be replaced by external ones.

Corrosion of the prestressed steel

The extent of corrosion was assessed according to:

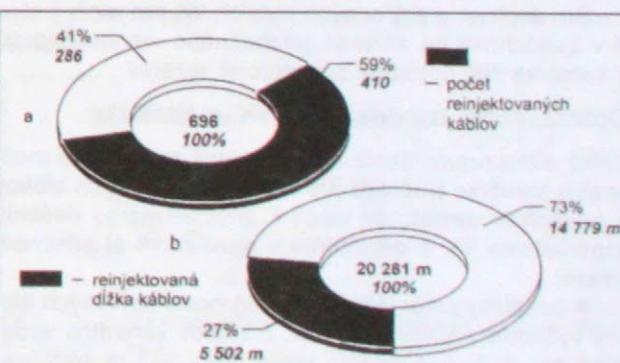
- a) the verification of corrosion situation in situ. The corrosion survey of the prestressing cables was carried out by VÚIS-Mosty [4]. 10 cables in 7 positions were verified with the following results:
- decrease of weight as a result of surface corrosion 0.21–0.65 %
- decrease of strength as a result of inter-crystalline corrosion 0–4.8 %.

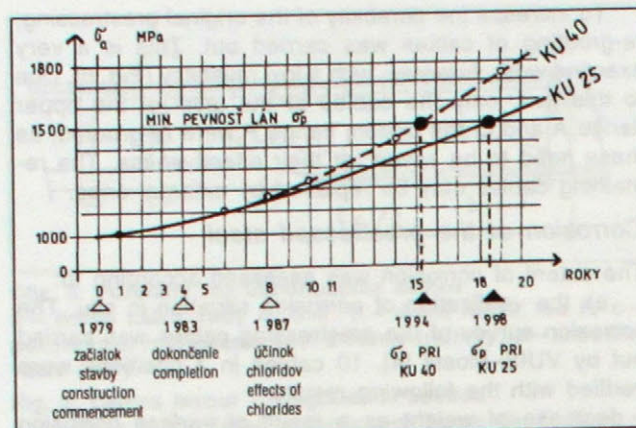
In the survey, some other facts have been discovered:

- inconsequent prestressing – crossing of strands in a cable
- incomplete number of strands in the cables – in case of 2 cables uncovered, the number of strands was 6 and 8 instead of 10 (Fig. 5).

As the survey spots were selected at places with visible defects, the results obtained cannot be generalised for the whole viaduct.

b) standard data confirmed by reality. The pace of corrosion depends on macro- and micro-climate conditions of the prestressed steel, which is represented by the ambient corrosion aggressiveness in technical standard ČSN 03 8203/79. Its grade 3–4 represents a stabilised pace of corrosion of 25 µm/year, respectively 40 µm/year, if the effects of chlorides are to be considered. These conditions correspond to the ones of the Tlmače bridge over the Hron river, which – according to them – should have collapsed in 20 years. This happened after 22 years, i. e. in fact the forecast was true. Considering the fact that the Podtureň bridge has the same aggressive environment, the standardised durability of its insufficiently protected prestressed reinforcement would get into critical situation after 18 years approximately (Fig. 7). The results of the corrosion diagnostics performed by VÚIS-Mosty have not luckily indicated the situation, however, the prestressing reliability has to be assured.

Obr. 6. Vyhodnotenie výsledkov reinjektáže kálov
a - úspešnosť realizácie podľa počtu kálov, b - úspešnosť realizácie podľa zainjektovanej dĺžkyFig. 6. Re-grouting of cable ducts – assessment of results
a - succes rate of re-grouting by number of cables, b - succes rate of re-grouting by length grouted



Obr. 7. Prírastok napäť v predpínacej výstuži od korózie
Fig. 7. Stress increments in prestressed steel from corrosion

Koncepcia opravy predpätia

Zatekanie z vozovky do kontaktných škár s hornou nedostatočne chránenou predpätou výstužou môže vplyvom korózie spôsobiť také jej oslabenie, že táto v budúcnosti neprenesie veľké záporné momenty od vlastnej tiaže nosnej konštrukcie, zodpovedajúce technológií letmej montáže. Dôjde potom k redistribúcii momentov od pilierov do stredu rozpätia, s výsledným stavom ako na konštrukciu budovanej na skruži (obr. 8). Tieto prerozdelené momenty je možné jednoducho a účinne zachytí novými voľnými káblami uprostred rozpätia i nad piliermi, ako to je riešené v dokumentácii.

Veľkosť a rozsah predpätia voľnými káblami

V záujme využiť akýkoľvek kritický stav v budúcnosti, boli zhodnotené pri návrhu zosilnení voľnými káblami (VK) 2 extrémne prípady:

A. Pôvodné káble (K) majú účinnosť 100 %, zmenšenú o 4,8 % z dôvodu ich korodovania. Voľné káble sa doplnia len na pokrytie zvýšeného účinku zafaženia podľa novelizovanej STN 73 6203/86.

B. Pôvodné káble sú 100% neúčinné. Redistribuované momenty vyžadujú predpnutie 68 nových VK.

C. Konečný návrh – rešpektované kritériá podľa A a rezervné VK na pokrytie účinkov od očakávanej korózie nezainjektovaných káblom (obr. 9).

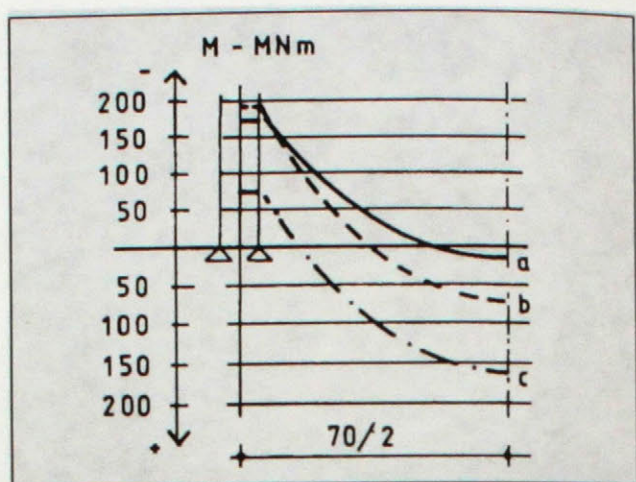
Pre doplnenie prípadných ďalších VK pre možný stav B v budúcnosti na základe priebežného monitoringu sú v komôrke NK potrebné priestorové rezervy.

Optimalizácia usporiadania VK v komôrke

Veľká dĺžka premostenia a obmedzené priestorové možnosti v komôrke prierezu pre zriadenie kotevných blokov a priečnikov deviátorov viedli k alternatívemu riešeniu usporiadania VK a deviátorov v pozdižnom aj priečnom smere:

• pozdižny smer. Minimalizácia počtu kotevných blokov vyžaduje väčšie dĺžky VK. Z kálov variantne vedených cez 2, 3, 4, 5 polí sa volila dĺžka 245 m zodpovedajúca pre 4 polia. Výhoda oproti káblom cez 2 polia je zrejmá z obr. 10;

• priečny smer. Stláčanie šikmých trhliniek vyžaduje, aby vertikálne zložky predpínacej sily VK pôsobili zdola. Použité riešenie so železobetónovým priečnikom kotveným do steny komôrky trhlinu stláča (obr. 11);



Obr. 8. Priebeh momentov v poli $s = l = 70$ m
a - konzolová montáž-vlastná tiaž, b - konzolová montáž-hlavné zafaženie, c - redistribuované účinky-hlavné zafaženie

Fig. 8. Course of moments in a span of $l = 70$ m
a - cantilever method-dead weight, b - cantilever method-principal load, c - redistributed effects-principal load

Concept of the prestressing repair

Leaking from the bridge carriageway into contact joints with insufficiently protected cables arranged at the level of the upper flange, may – due to corrosion – lead to such cables weakening, that they would not be able to carry large negative moments from the superstructures dead weight, related to the cantilever method of erection, in the future. This would lead to a re-distribution of moments from piers to the middle of the span, with a result as if the structure was casted in situ on a falsework (Fig. 8). These redistributed moments may, however, easily and effectively be caught by external prestressing in the middle of spans and over the piers, just as shown in the documentation.

Size and scope of external prestressing

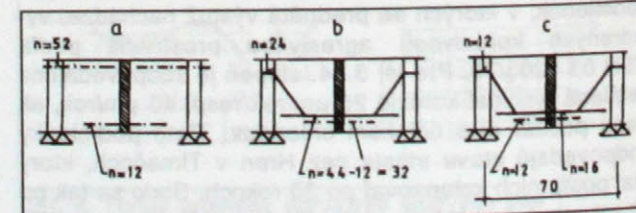
In order to prevent any critical situation in the future, two extreme cases have been considered in the design of external prestressing.

A. The effectiveness of the original cables is 100 %, decreased by 4.8 % due to their corrosion. External cables would be added only to cope with the increased bearing capacity in compliance with the amended technical standard STN 73 6203/86.

B. The original cables are 100% ineffective. The redistributed moments would require prestressing of another 68 new external cables.

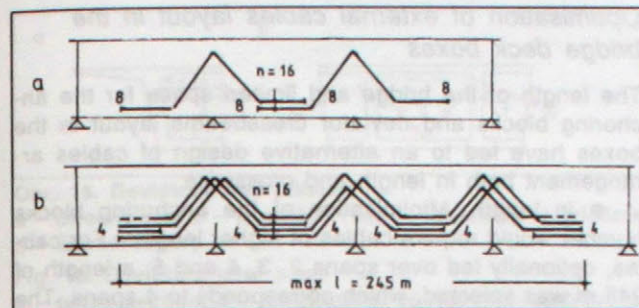
C. Final design – respected criteria under A plus reserve external cables added to cope with the effects from the expected corrosion of cables not grouted (Fig. 9).

To potentially add some extreme external cables in case B in the future (resulting from a continuous monitoring), the superstructure boxes have sufficient extra space.



Obr. 9. Rozsah dodatočného predpätia voľnými káblami
a - pôvodné predpätie $\Sigma V = 52 + 12 = 64$, b - riešenie pre stav B $\Sigma VK = 24 + 44 = 68 > 64$, c - konečný stav $\Sigma VK = 12 + 16 = 28 < 68$

Fig. 9. Scope of additional external prestressing
a - original prestressing, b - design for situation B, c - final design



Obr. 10. Optimalizácia usporiadania káblov v pozdižnom smere
a - min. dĺžka VK 105 mm a 8 blokov, b - max. dĺžka VK 245 m a 4 bloky

Fig. 10. Optimisation of cables layout in length
a - min. length of cables 105 m and 8 blocks, b - max. length of cables 245 m and 4 blocks

• úprava VK v poliach s kľbmi. Z priebehu trvalých pretvorení nosnej konštrukcie ako celku je zrejmé, že pomerne veľké hodnoty priehybov v poliach s kľbmi sú dôsledkom pretvorení vedejších polí. Zmenšíť tento negatívny dopad je možné len vedením voľných káblov v príhlášených poliach pri hornom povrchu prierezu (obr. 12). Manipulácia s výškovým usporiadaním káblov v konzole klobivého poľa má na veľkosť priehybu na konci konzoly malý vplyv (obr. 13).

Zvláštnosti riešenia pri oprave

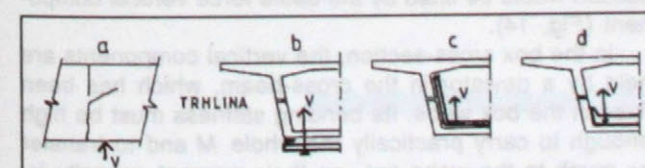
Dodatočné zabudovanie voľných káblov do nosnej konštrukcie znamená zavedenie takých nových silových a momentových impulzov do nej, na ktoré nebola navrhnutá. Kotevne bloky voľných káblov a kotvenie deviátorov treba preto rozmiestniť veľmi uvážene.

Kotevné bloky káblov

Navrhované sú pre dvojice VK. Umiestnené sú vždy v oblasti pilierov, kde je dolná doska komôrky zosilnená a je v nej dostatočná tlaková rezerva od vlastnej tiaže nosnej konštrukcie (obr. 14). Tahové, tzv. unášacie napäťia, ktoré vznikajú za kotvami blokov, si z rezervy odčerpajú len časť, takže nemôže nastaviť porušenie dolnej dosky.

Priečníky (deviátori) pre deviáciu VK v poliach

Voľné káble sú deviované vždy „pred“ trhlinkami v 3 polohách tak, aby nastalo dvihanie dolnej časti prierezu od vertikálnej zložky VK (obr. 13).



Obr. 11. Polohy priečnika pre deviáciu kálov
a - pozdižny rez NK a stláčanie šikmej trhlinky, b - priečnik stláča trhlinku zvonka, c - priečnik roztvára trhlinku zvnútra, d - použité riešenie

Fig. 11. Location of cables deviating beam
a - superstructure longitudinal section and pressing the inclined crack together, b - the beam pressing the crack together from outside, c - the beam opening the crack from inside, d - design applied

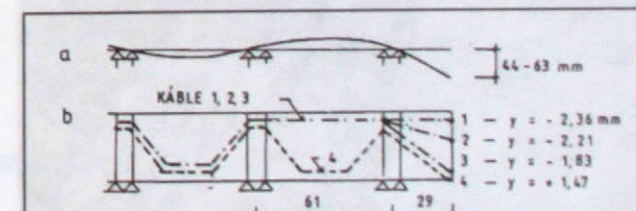


Obr. 12. Poloha kálov v poliach príhlášených poľu s klobom
Fig. 12. External cables layout in a span adjacent to that with expansion joint

B. The original cables are 100 % ineffective. The redistributed moments would require prestressing of another 68 new external cables.

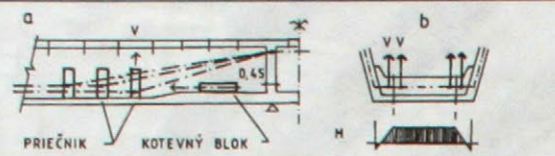
C. Final design – respected criteria under A plus reserve external cables added to cope with the effects from the expected corrosion of cables not grouted (Fig. 9).

To potentially add some extreme external cables in case B in the future (resulting from a continuous monitoring), the superstructure boxes have sufficient extra space.



Obr. 13. Vplyv spojitosťi NK a usporiadania VK na priebyv v klobovom poli
a - ohybová čiara od g, b - tvary kábla a zodpovedajúce priebyvy na konci konzoly od $N = 1,97$ MN na kábel

Fig. 13. Effect of superstructure continuity and of external cables layout on deflection
a - deflection line due to g, b - cable layout and the respective deflections at the cantilever end due to $N = 1.97$ MN/cable



Obr. 14. Usporiadanie kábelov

a – pozdĺžny rez a polohy priečnikov (deviátorov) a kotevných blokov, b – priečny rez a tuhý priečnik s priehybom M od síl V

Fig. 14. Layout of external cables

a – longitudinal section and location of cross-beams (deviators) and anchoring blocks, b – cross-section and a stiff cross-beam, with course M from forces V

V priečnom smere komôrky sú vertikálne zložky zachozené deviátorom v priečniku, ktorý je uchytený do stien komôrky. Jeho ohybová tuhosť musí byť tak veľká, aby prenesol prakticky celý M a do stien prešlo len teflon, koľko je ich momentová kapacita, daná strmeňmi (obr. 14).

Deviácia VK nad piliermi

V tejto polohe pre deviáciu sú využité pôvodné priečinky. Kvôli ich minimálnym rozmerom a narušeniu pôvodnej výstuže otvormi pre deviátory sa museli zosilniť ďalším železobetónovým priečnikom.

Horizontálne zložky od voľných kábelov v deviátoroch sú zachozené šikmými oceľovými vzperami (obr. 16).



Obr. 15. Čelný pohľad na priečnik (deviátor)

Fig. 15. Front view of a cross-beam (deviator)

Optimisation of external cables layout in the bridge deck boxes

The length of the bridge and limited space for the anchoring blocks and deviator crossbeams layout in the boxes have led to an alternative design of cables arrangement both in length and crosswise:

- in length. Minimisation of the anchoring blocks number would require cables of higher lengths. For cables, optionally led over spans 2, 3, 4 and 5, a length of 245 m was selected, which corresponds to 4 spans. The advantage compared to cables over 2 segments is obvious from Fig. 10;

- crosswise. Pressing the inclined cracks requires the vertical components of the cable forces to act from the bottom. The applied a reinforced concrete beam anchored in the box webs results in compressing the crack (Fig. 11);

- external cables layout in spans with expansion joints. From the course of the structure deformations as a whole it is obvious, that high values of deflections in spans with expansion joints result from deflections of the adjacent spans. This negative effect may only be reduced by running the external cable in the adjacent spans at the cross-section upper flange. Intervention to the height arrangement of cables in the joint spans with expansion joint has only small effect on the deflection magnitude at the cantilever end (Fig. 13).

Strengthening design specialities

Additional incorporation of new cables into the superstructure also means introducing such new forces and moment impulses, for which its has not been designed. As a result, the layout of cables anchoring blocks and deviators anchoring must be performed very carefully.

Anchoring blocks of external cables

These have been designed for couples of cables. They are placed near the piers, where the lower box flange is thicker reinforced and has a sufficient pressure reserve from the dead weight of the superstructure (Fig. 14). The „carrying tensions“ developed behind the block anchors would only take a part of the reserve, so that the bottom flange may not be disturbed.

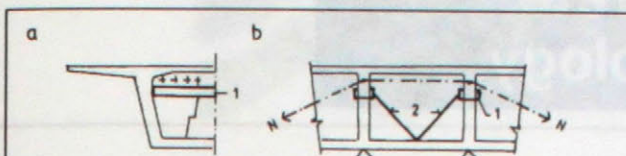
Cables deviation in the spans

The external cables are always deviated „in front of“ the cracks in three positions, so that the bottom part of cross-section would be lifted by the cable force vertical component (Fig. 14).

In the box cross-section, the vertical components are held by a deviator in the cross-beam, which has been fixed in the box webs. Its bending stiffness must be high enough to carry practically the whole M and to transfer as much to the webs only as their moment capacity is, given by the stirrups (Fig. 14).

Cables deviation over piers

In this location, original cross-beams have been used. Due to their minimal size and disruption of their original reinforcement by deviator openings, they needed additional reinforcement with another reinforced concrete cross-beam.



Obr. 16. Deviátory nad piliermi

a – priečny rez, b – pozdĺžny rez: 1 – zosilňujúci priečnik, 2 – šikmé vzpery

Fig. 16. Deviators over piers

a – cross section, b – longitudinal section: 1 – reinforcing cross-beam, 2 – skew struts

Účinnosť voľných kálov

Účinnosť voľných kálov bola overená sledovaním trvalých pretvorení nosnej konštrukcie s odstránenou vozovkou a porovnaním stavu pred a po predpáti voľných kálov (obr. 17).

Záver

Zaznamenaný stav pretvorenia podľa obr. 17 potvrzuje, že NK po predpáti VK sa správa podľa očakávania a plní hlavné sledované ciele:

- zastaví ďalšie roztváranie škár medzi segmentami a zväčšovanie pozorovaných trhliniek,
- zvýšíf zatažovacie účinky na viadukte podľa novelizovanej STN,
- vytvorí rezervy v predpáti pre prípad vyradenia časti pôvodnej predpátej výstuže kvôli korózii. V kritickom priereze uprostred max. rozpätia zo súčasne doplnutých 16 nových VK rezerva tvorí 50 %.

Zúčastnené organizácie:

- obstarávateľ: Slovenská správa ciest Bratislava,
- projektant: Dopravoprojekt, a. s. Bratislava,
- zhotoviteľ: Inžinierske stavby, a. s. Košice.

LITERATÚRA

- [1] Zborník prednášok z konferencie FIP 1998.
- [2] Bulánek, P.–Sotáková, D.: Oprava mosta D1–220, viadukt Podtureň, [1].
- [3] Bulánek, P.: Kontrola zainjektovania predpátej výstuže endoskopom. Firemný materiál SSC.
- [4] Kucharík, J.: Korozívny prieskum na viadukte Podtureň.
- [5] Dziak, M.–Vavrek, P.: Realizačné skúsenosti z rekonštrukcie viaduktu Podtureň, [1].
- [6] Pukančík, V.–Gašparíková, M.–Havrančík, J.: Sanácia viaduktu Podtureň, Dopravoprojekt 1997.

Obr. 17. Priebeh pretvorenia NK po napnutí voľných kálov

a – priehyby NK očistené od sadnutia pilierov, b – zamera-

né sadnutie pilierov (mm)

Fig. 17. Deflection curve of superstructure after spanning the external cables
a – deflection of superstructure abstracted from pier settlement, b – measured settlements of piers (mm)

The horizontal components of forces from external cables in the deviators have been caught by skew steel struts (Fig. 16).

Efficiency of external prestressing

The efficiency of external cables has been verified by monitoring the permanent deflections of the superstructure with a removed carriageway and by comparing its condition before and after having prestressed the external cables (Fig. 17).

Conclusions

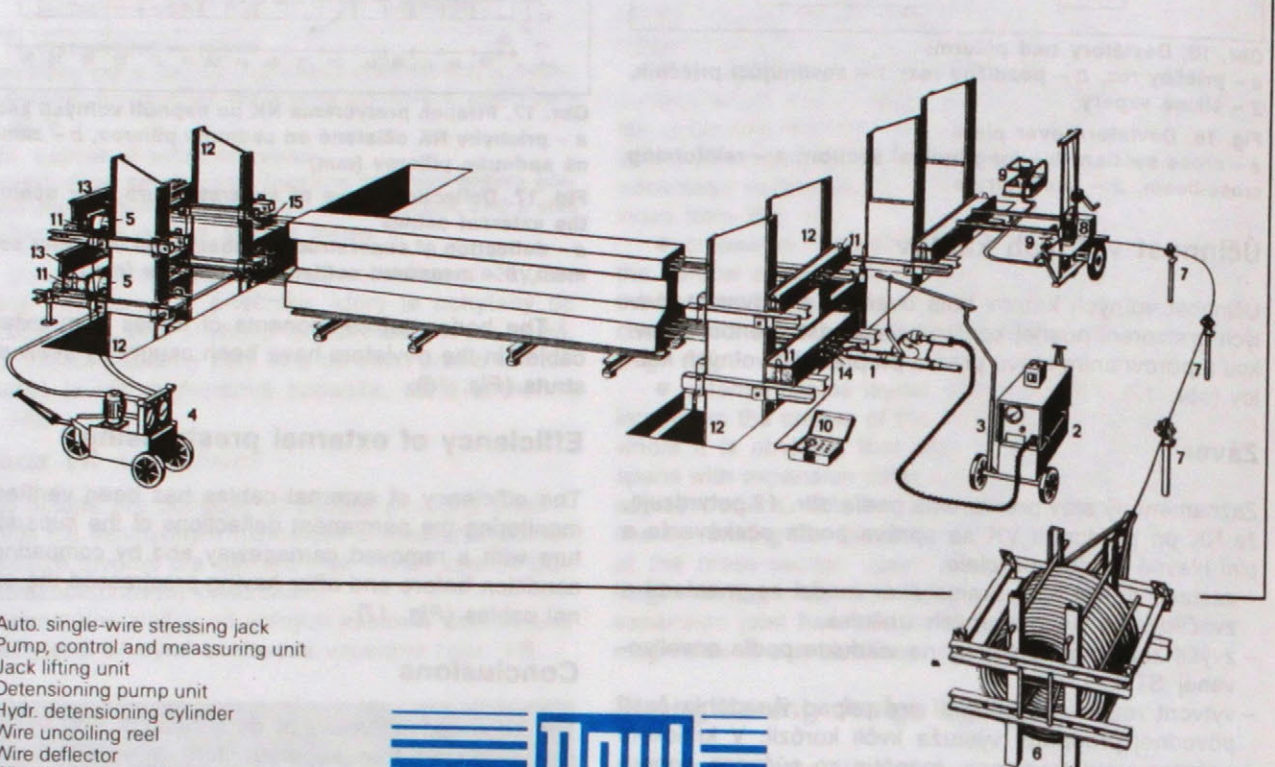
The recorded situation of deformations (Fig. 17) has acknowledged that superstructure after external prestressing will function as expected and be in compliance with the major objectives:

- to stop any further opening of joints between segments and increasing of existing cracks
- to increase the bearing capacity of the viaduct in compliance with the amended technical standard STN
- to establish prestressing reserves for situation in future when a part of the original prestressed cables would be eliminated due to corrosion. In the critical cross-section in the middle of the longest span, there is a reserve od 50 % due to additionally stressed 16 external cables.

Participation:

- client: Slovenská správa ciest Bratislava,
- designer: Dopravoprojekt, a. s. Bratislava,
- contractor: Inžinierske stavby, a. s. Košice.

Prestressed Concrete Technology



PAUL

**The little difference
that counts**

- 1 Auto. single-wire stressing jack
- 2 Pump, control and measuring unit
- 3 Jack lifting unit
- 4 Detensioning pump unit
- 5 Hydr. detensioning cylinder
- 6 Wire uncoiling reel
- 7 Wire deflector
- 8 Wire pushing machine
- 9 Hydr. cutter with pump
- 10 Hydr. measuring unit
- 11 Transverse anchor plate
- 12 Abutment anchor post
- 13 Protection device
- 14 Anchor grips
- 15 Wirestrand couplers

Since the early fifties, we are counting among the worldwide leading manufacturers of machinery and equipment used for the production of prestressed concrete.

Our delivery program ranging from wire pushing and cutting equipment to anchorage abutments, stressing jacks, multi-strand stressing jacks, pump units, anchor grips extends up to testing and measuring units.



Our job, however, starts in most cases before even turning the first sod: We give advice, plan and project the foundations as well as the design of the steel stressing beds.

PAUL Maschinenfabrik GmbH & Co
D-88525 Dürmentingen
Tel +49 7371 500-0
Fax +49 7371 6146

PAUL Büro Dresden
Glashütter Str. 55
D-01283 Dresden
Tel/Fax +49 351 34 000 48

For more details please write or fax.
Indicate code word:
„Prestressed Concrete Technology“

HYDROSTAV

a. s. Bratislava



**predstavuje úspešné technológie
v mostnom stavitel'stve**

Diaľnica D1 má v podtatranskom úseku Hybe–Važec vyprojektovaných 14 mostných objektov. Pri ich realizácii firma Hydrostav úspešne uplatňuje viaceré moderné technologické postupy

Hydrostav, a. s.
generálne riaditeľstvo

Miletičova 21
820 06 Bratislava

Tel.: 07/542 10 47
07/547 11 11
Fax: 07/547 17 09



VÁHOSTAV, a. s. ŽILINA

úspešná stavebná firma

s dlhoročnou tradíciou a skúsenosťami

VO SVOJOM VÝROBNOM PROGRAME MÁ

- * dopravné a inžinierske stavby
- * stavby pozemného staveľstva
- * vodohospodárske a ekologické stavby
- * špeciálne zakladanie

KONTAKT:

Váhostav, a. s.
Hlinská 40, 011 18 Žilina
Slovenská republika

Tel.: +421-89/764 20 81 – 7
Fax: +421-89/333 60, 763 28 41
<http://www.vahostav.sk>
E-mail: info@vahostav.et.sk

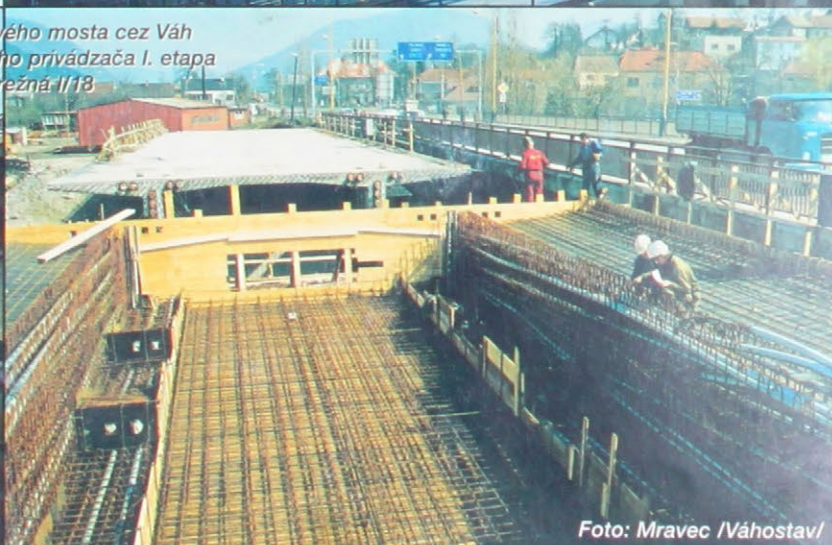
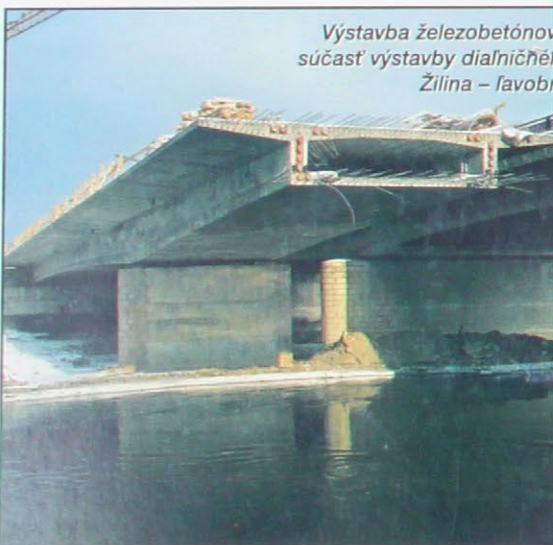
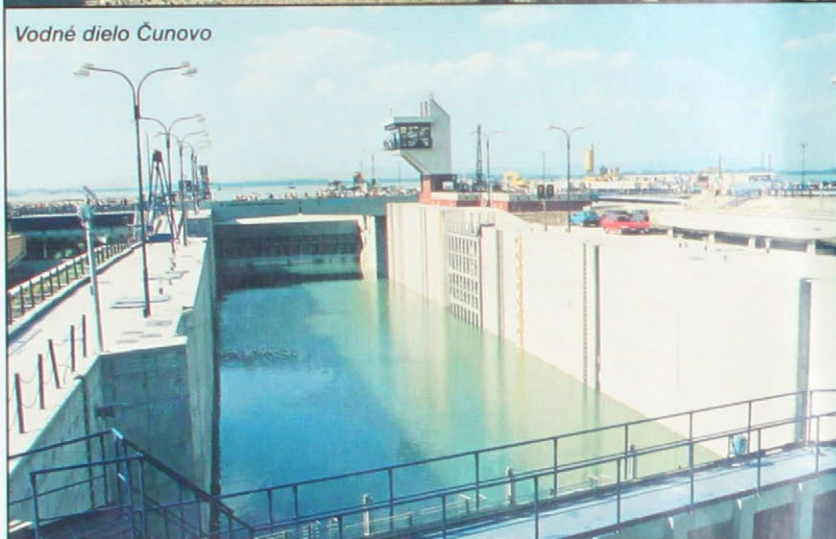
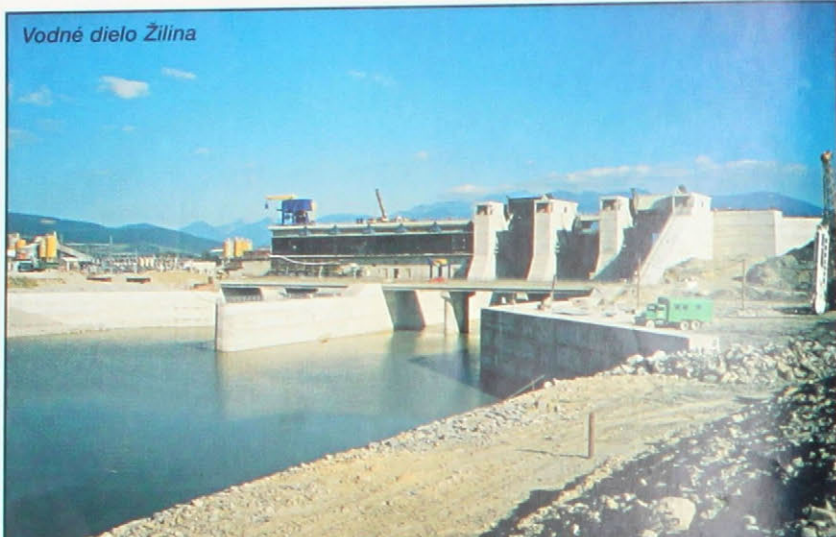


Foto: Mravec /Váhostav/

VÁHOSTAV NEVÁHA. STAVIA.